

บทที่ 4

ผลการวิจัยและการอภิปรายผล

1. คุณสมบัติของสารประกอบเชิงช้อนนิโกรดิน-แมกนีเซียมอะลูมิเนียมซิลิเกต

1.1 ขนาดอนุภาค

ขนาดอนุภาคของสารประกอบเชิงช้อนนิโกรดิน-แมกนีเซียมอะลูมิเนียมซิลิเกต ที่เตรียมที่พีเอช 4.7 และ 9 ที่กระจายในน้ำ เท่ากับ 109.24 ± 2.26 101.83 ± 2.61 และ 94.03 ± 1.28 ไมครอน ตามลำดับ ซึ่งมีขนาดใหญ่กว่าอนุภาคของแมกนีเซียมอะลูมิเนียมซิลิเกตที่กระจายในน้ำ (5.27 ± 0.41 ไมครอน) แสดงว่า สารประกอบเชิงช้อนนิโกรดิน-แมกนีเซียมอะลูมิเนียมซิลิเกตที่ทุกสภาวะการเตรียม ไม่สามารถกระจายตัวในน้ำได้ เป็นผลจากการเกิดอันตราริยาระหว่างนิโกรดินกับแมกนีเซียมอะลูมิเนียมซิลิเกต โดยการเกิดการแลกเปลี่ยนประจุบวก (cation exchange) พันธะไฮdroเจน (hydrogen bonding) และการจับกันโดยมีน้ำเป็นตัวเชื่อม (water bridging) ขึ้นอยู่กับพีเอชที่ทำการเตรียมสารประกอบเชิงช้อน จากการที่สารประกอบเชิงช้อนไม่สามารถกระจายตัวในน้ำได้ ทำให้อนุภาคสารประกอบเชิงช้อนนี้สามารถควบคุมการปลดปล่อยนิโกรดิน และทำหน้าที่เป็นแหล่งกักเก็บยาได้ (Pongjanyakul et al., 2009)

1.2 ปริมาณนิโกรดินที่ถูกคุดซับโดยแมกนีเซียมอะลูมิเนียมซิลิเกต

หาปริมาณนิโกรดินที่ถูกคุดซับ โดยการนำสารประกอบเชิงช้อนนิโกรดิน-แมกนีเซียมอะลูมิเนียมซิลิเกต ที่เตรียมที่พีเอช 4.7 และ 9 มาสักด้วยกรดไฮdroคลอริก วัดค่าการคุดกลืนแสงของสารละลายตัวอย่าง คำนวณหาปริมาณนิโกรดินจากกราฟมาตรฐาน แสดงคังตารางที่ 7 พบว่า ปริมาณนิโกรดินที่ถูกคุดซับบนแมกนีเซียมอะลูมิเนียมซิลิเกตเพิ่มขึ้น เมื่อพีเอชของสภาวะการเตรียมเพิ่มขึ้น ที่พีเอช 9 แมกนีเซียมอะลูมิเนียมซิลิเกตคุดซับนิโกรดินได้ปริมาณมากที่สุด ส่วนที่พีเอชต่ำนิโกรดินอยู่ในรูปโปรตอนเนทปริมาณมาก แมกนีเซียมอะลูมิเนียมซิลิเกตเกิดการคุดซับไฮdroเจน ไอออนที่เกิดขึ้นไว้ที่ผิว ส่งผลให้ค่าซีตาไฟเทนเชียลบริเวณผิวดองแมกนีเซียมอะลูมิเนียมซิลิเกตลดลงมาก และอนุภาคของแมกนีเซียมอะลูมิเนียมซิลิเกตเกิดการรวมกลุ่มกันหนาแน่น ส่งผลให้มีตำแหน่งที่สามารถคุดซับนิโกรดินได้น้อยลง (Pongjanyakul et al., 2009; Benna et al., 1999)

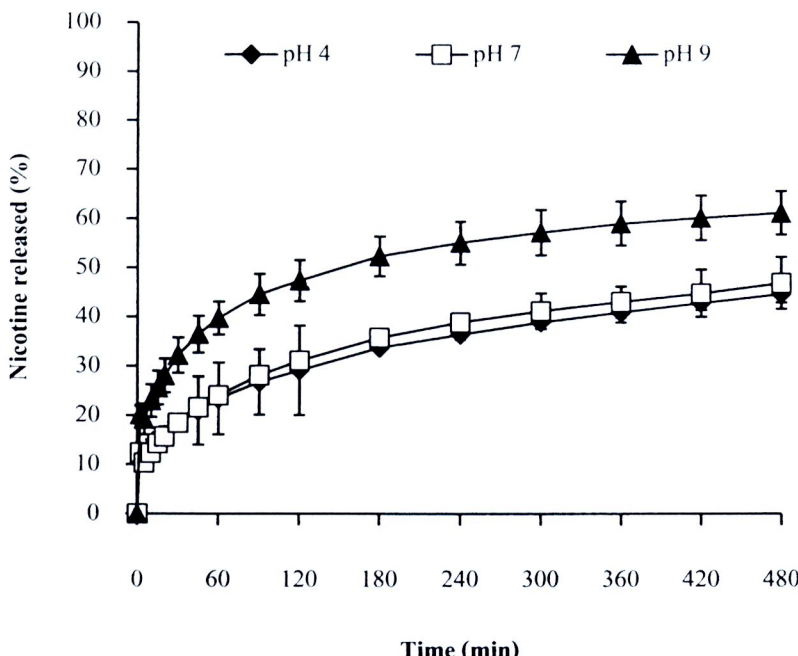
ตารางที่ 7 ปริมาณนิโกรดินในสารประกอบเชิงช้อนนิโกรดิน-แมกนีเซียมอะลูมิเนียมซิลิเกต ที่เตรียมที่พีเอชต่างๆ

พีเอช	ปริมาณนิโกรดินที่ถูกคุดซับ (%w/w)
4	9.50 ± 0.03
7	12.21 ± 0.02
9	13.17 ± 0.04

แต่ละค่าแสดงในรูปของค่าเฉลี่ย \pm ส่วนเบี่ยงเบนมาตรฐาน จาก 3 ตัวอย่าง

1.3 การปลดปล่อยนิโโคตินจากสารประกอบเชิงช้อนนิโโคติน-แมกนีเซียมอะลูมิเนียมซิลิเกต

ผลการศึกษาการปลดปล่อยนิโโคตินจากสารประกอบเชิงช้อนนิโโคติน-แมกนีเซียมอะลูมิเนียมซิลิเกตที่เตรียมที่พีเอชต่างกัน ในตัวกล่างการละลายฟอสเฟตบัฟเฟอร์พีเอช 6.0 แสดงคังภาพที่ 7 พบว่า การปลดปล่อยนิโโคตินจากอนุภาคสารประกอบเชิงช้อนนิโโคติน-แมกนีเซียมอะลูมิเนียมซิลิเกตที่ทุกสภาวะการเตรียม มีรูปแบบการปลดปล่อยยาค้างกัน สารประกอบเชิงช้อนปลดปล่อยยาออกมาเท่ากับร้อยละ 12-20 หลังสัมผัสตัวกล่างการละลายเพียง 2 นาที ปริมาณยาที่ปลดปล่อยจากสารประกอบเชิงช้อนที่เตรียมที่พีเอช 9 มากกว่าปริมาณที่ปลดปล่อยจากสารประกอบเชิงช้อนที่เตรียมที่พีเอช 4 และ 7 ที่เวลา 480 นาที สารประกอบเชิงช้อนนิโโคติน-แมกนีเซียมอะลูมิเนียมซิลิเกตที่เตรียมที่พีเอช 9 ปลดปล่อยยาออกมาเท่ากับร้อยละ 62 รองลงมาคือที่พีเอช 7 และพีเอช 4 ปลดปล่อยยาออกมาเท่ากับร้อยละ 47 และ 45 ตามลำดับ เมื่อหาอัตราการปลดปล่อยยาจากสารประกอบเชิงช้อนจากสมการ Higuchi พบว่า ความสัมพันธ์ระหว่างร้อยละการปลดปล่อยนิโโคตินกับรากที่สองของเวลาเป็นเส้นตรง ด้วยค่า R^2 มากกว่า 0.99 การปลดปล่อยยาในช่วงแรกเกิดได้เร็ว จากกระบวนการแลกเปลี่ยนไอออนนวาระระหว่างนิโโคตินที่ถูกดูดซับบริเวณผิว และโซเดียมไอออนที่เป็นส่วนประกอบในตัวกล่างการละลาย จากนั้นอัตราการปลดปล่อยยาช้าลง จากการแลกเปลี่ยนไอออนกันนิโโคตินที่ถูกดูดซับภายในชั้นของแมกนีเซียมอะลูมิเนียมซิลิเกต (intraparticle diffusion process) (Pongjanyakul et al., 2009) อัตราการปลดปล่อยนิโโคตินจากสารประกอบเชิงช้อนเพิ่มขึ้น เมื่อพีเอชของสภาวะการเตรียมเพิ่มขึ้น อัตราการปลดปล่อยยาจากสารประกอบเชิงช้อนที่เตรียมที่พีเอช 9 มีค่ามากที่สุด เท่ากับ $3.54 \pm 0.08 \% \text{ min}^{-0.5}$ (ตารางที่ 8) เป็นผลจากสารประกอบเชิงช้อนที่เตรียมที่พีเอช 9 มีปริมาณนิโโคตินที่ถูกดูดซับบนแมกนีเซียมอะลูมิเนียมซิลิเกตมากที่สุด ที่สภาวะนี้นิโโคตินส่วนมากอยู่ในรูปไม่แตกตัว เกิดการจับกันแมกนีเซียมอะลูมิเนียมซิลิเกตด้วยพันธะไฮโดรเจน และอนุภาคมีการจับกันหลวงๆ จึงปลดปล่อยนิโโคตินได้ดีกว่าสารประกอบเชิงช้อนที่เตรียมที่พีเอช 4 และ 7 ที่นิโโคตินและแมกนีเซียมอะลูมิเนียมซิลิเกตจับกันด้วยพันธะที่แข็งแรงกว่า อนุภาคของสารประกอบเชิงช้อนมีขนาดใหญ่ ส่งผลต่อการแพร่ของสารระหว่างอนุภาคกับตัวกล่างการละลายเพื่อปลดปล่อยยา เนื่องจากการปลดปล่อยยาจากสารประกอบเชิงช้อน เกิดขึ้นโดยกลไกแบบควบคุมโดยการแพร่ของอนุภาค (particle diffusion-controlled mechanism) (Aguzzi et al., 2007; Pongjanyakul et al., 2009; Suksri and Pongjanyakul, 2008)



ภาพที่ 7 การปลดปล่อยยาจากสารประกอนเชิงช้อนนิโคติน-แมกนีเซียมอะลูมิնัมชิลิเกตที่เตรียมที่พีอีชต่างๆ แต่ละค่าแสดงในรูปของค่าเฉลี่ย ± ส่วนเบี่ยงเบนมาตรฐาน จาก 3 ตัวอย่าง

ตารางที่ 8 อัตราการปลดปล่อยนิโคตินจากอนุภาคของสารประกอนเชิงช้อนนิโคติน-แมกนีเซียมอะลูมิնัมชิลิเกตที่เตรียมที่พีอีชต่างๆ คำนวณโดยใช้สมการ Higuchi

พีอีช	K_h (% min ^{-0.5})	R ²
4	1.84 ± 0.10	0.993
7	2.22 ± 0.06	0.993
9	3.54 ± 0.08	0.991

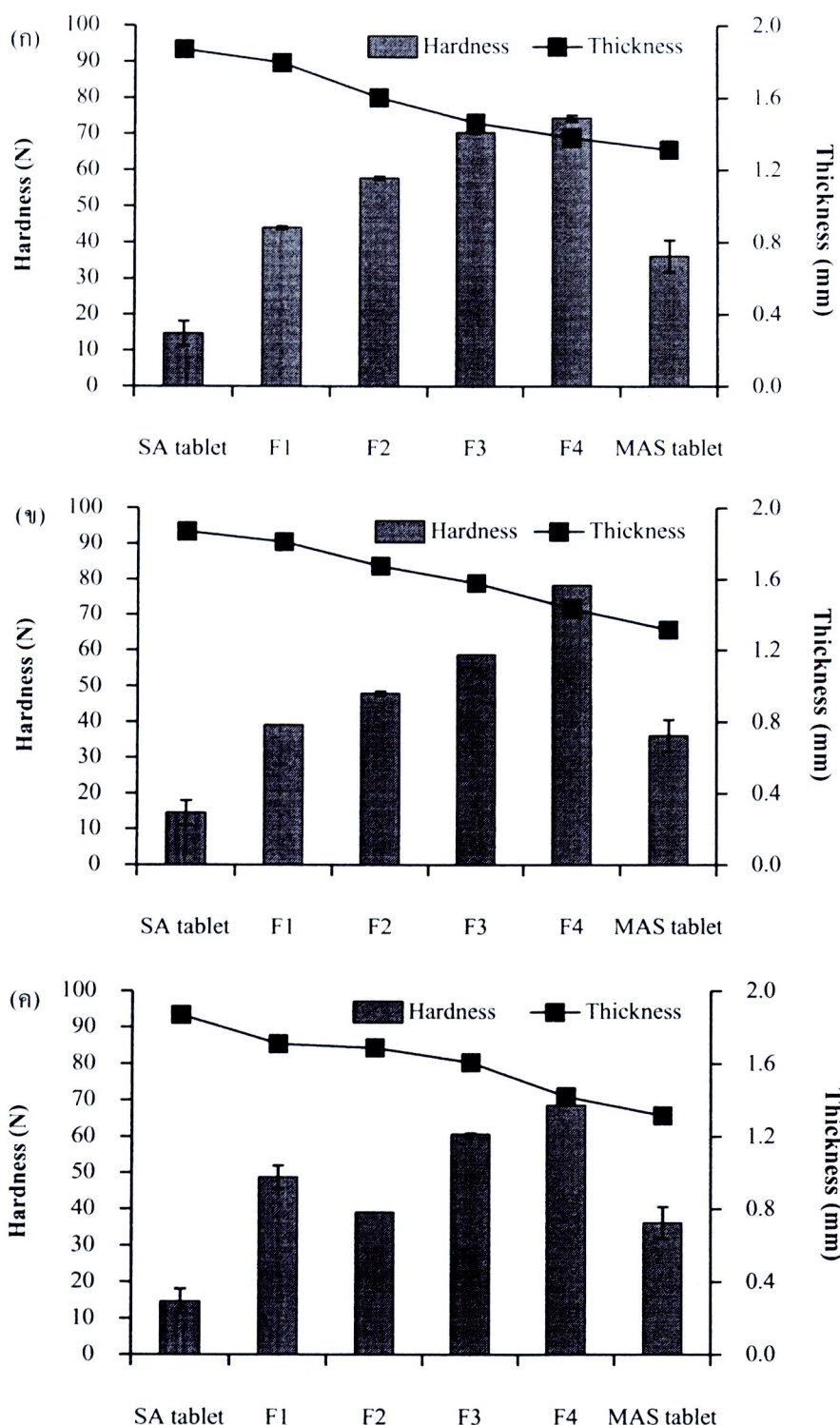
แต่ละค่าแสดงในรูปของค่าเฉลี่ย ± ส่วนเบี่ยงเบนมาตรฐาน จาก 3 ตัวอย่าง

2. ยาเม็ดเมมทริกซ์โซเดียมอัลจิเนตบรรจุสารประกอบเชิงช้อนนิโโคติน-แมกนีเซียมอะลูมิնัมชิลิเกต

2.1 ความหนาและความแข็งของยาเม็ดเมมทริกซ์

ยาเม็ดเมมทริกซ์โซเดียมอัลจิเนตแต่ละคำรับ มีปริมาณสารประกอบเชิงช้อนนิโโคติน-แมกนีเซียมอะลูมิնัมชิลิเกต และโซเดียมอัลจิเนตแตกต่างกัน ขึ้นอยู่กับปริมาณนิโโคติน ยาเม็ดเมมทริกซ์ที่ทำการศึกษาแบ่งเป็น 3 กลุ่ม ตามพีเอชที่เตรียมสารประกอบเชิงช้อน คือ พีเอช 4.7 และ 9 แต่ละกลุ่มแบ่งออกเป็นกลุ่มละ 4 คำรับที่มีปริมาณนิโโคตินแตกต่างกัน เปรียบเทียบความหนาและความแข็งของยาเม็ดเมมทริกซ์กับยาเม็ดที่เตรียมจากโซเดียมอัลจิเนตเพียงอย่างเดียว และยาเม็ดที่เตรียมจากแมกนีเซียมอะลูมินัมชิลิเกตเพียงอย่างเดียว

ผลการศึกษาความแข็งและความหนาของยาเม็ดเมมทริกซ์โซเดียมอัลจิเนตบรรจุสารประกอบเชิงช้อนนิโโคติน-แมกนีเซียมอะลูมินัมชิลิเกตที่เตรียมที่พีเอช 4 แสดงดังภาพที่ 8 ก พบว่า ความแข็งของยาเม็ดเมมทริกซ์เพิ่มขึ้น และความหนาของยาเม็ดเมมทริกซ์ลดลง เมื่อปริมาณสารประกอบเชิงช้อนในคำรับเพิ่มขึ้น ยาเม็ดเมมทริกซ์คำรับ F4 ที่เตรียมจากสารประกอบเชิงช้อนนิโโคติน-แมกนีเซียมอะลูมินัมชิลิเกตเพียงอย่างเดียว มีความแข็งมากที่สุด เท่ากับ 74.48 ± 0.82 นิวตัน และมีความหนาน้อยที่สุดเท่ากับ 1.38 ± 0.02 มิลลิเมตร แสดงให้เห็นว่าสารประกอบเชิงช้อนนิโโคติน-แมกนีเซียมอะลูมินัมชิลิเกต มีความสามารถในการตอกอัดที่ดี ยาเม็ดเมมทริกซ์ทุกคำรับ มีความแข็งมากกว่ายาเม็ดที่เตรียมจากโซเดียมอัลจิเนตเพียงอย่างเดียว และยาเม็ดที่เตรียมจากแมกนีเซียมอะลูมินัมชิลิเกตเพียงอย่างเดียว ที่มีความแข็งเท่ากับ 14.70 ± 3.46 และ 36.26 ± 4.38 นิวตัน ตามลำดับ ผลการประเมินยาเม็ดเมมทริกซ์โซเดียมอัลจิเนตบรรจุสารประกอบเชิงช้อนนิโโคติน-แมกนีเซียมอะลูมินัมชิลิเกตที่เตรียมที่พีเอช 7 และ 9 สอดคล้องกัน คือ ยาเม็ดเมมทริกซ์คำรับ F4 มีความแข็งมากที่สุดเท่ากับ 78.40 ± 0.01 นิวตัน และ 68.60 ± 0.01 นิวตัน และความหนาอยู่ที่สุดเท่ากับ 1.43 ± 0.02 มิลลิเมตร และ 1.42 ± 0.01 มิลลิเมตร ตามลำดับ (ภาพที่ 8 ก และ 8 ค)



ภาพที่ 8 ความหนาและความแข็งของยาเม็ดเอมทริกซ์โซเดียมอลจิเนคบรรจุสารประกอบนิโคติน-แมกนีเซียมอะลูมิնัมชิลิเกตที่เตรียมที่พีอช 4 (ก) พีอช 7 (ข) และ พีอช 9 (ค) แต่ละค่าแสดงในรูปของค่าเฉลี่ย \pm ส่วนเบี่ยงเบนมาตรฐาน จาก 3 ตัวอย่าง

2.2 การปลดปล่อยนิโโคตินจากยาเม็ดเมมทริกซ์โซเดียมอัลจิเนตทั้งเม็ด

ศึกษาการปลดปล่อยนิโโคตินจากยาเม็ดเมมทริกซ์โซเดียมอัลจิเนตบนรัฐสารประกอบเชิงช้อนนิโโคติน-แมกนีเซียมอะลูมิնัมชิลิเกต ในตัวกลางการละลายฟอสไฟฟอร์ฟีอช 6.0 เบรี่ยงเทียบผลของพีอชที่เตรียมสารประกอบเชิงช้อนนิโโคติน-แมกนีเซียมอะลูมิնัมชิลิเกต และผลของปริมาณนิโโคตินในตัวรับ

2.2.1 ผลของพีอชที่เตรียมสารประกอบเชิงช้อนนิโโคติน-แมกนีเซียมอะลูมิնัมชิลิเกต

การปลดปล่อยนิโโคตินจากยาเม็ดเมมทริกซ์โซเดียมอัลจิเนต ที่เตรียมจากสารประกอบเชิงช้อนนิโโคติน-แมกนีเซียมอะลูมิնัมชิลิเกตที่เตรียมที่พีอชต่างกัน คือ พีอช 4.7 และ 9 แสดงดังภาพที่ 9 ยาเม็ดเมมทริกซ์ตัวรับ F1 ที่มีปริมาณนิโโคติน 5 มิลลิกรัมต่อเม็ด บรรจุสารประกอบเชิงช้อนที่เตรียมที่พีอชต่างกัน มีค่า release exponent (n) จากสมการ Power law อุปาระหว่าง 0.5 และ 1.0 ทุกตัวรับ (ตารางที่ 9) แสดงว่า การปลดปล่อยนิโโคตินจากยาเม็ดเมมทริกซ์ควบคุมโดยกลไกการแพร์ของยาและการพองตัวของพอลิเมอร์ (anomalous transport) ยาเม็ดเมมทริกซ์ตัวรับ F2 และ F3 ที่มีปริมาณนิโโคติน 10 และ 15 มิลลิกรัมต่อเม็ด ตามลำดับ มีค่า n ใกล้เคียง 1.0 มากขึ้น แสดงว่า การปลดปล่อยนิโโคตินเกิดผ่านกลไกการพองตัวร่วมกับการกร่อนของพอลิเมอร์ (case-II transport) เป็นหลัก เนื่องจากตัวรับที่มีนิโโคตินปริมาณมากขึ้น ต้องใช้สารประกอบเชิงช้อนนิโโคติน-แมกนีเซียมอะลูมิնัมชิลิเกตเพิ่มขึ้น ปริมาณโซเดียมอัลจิเนตจึงลดลง ส่งผลต่อกลไกการปลดปล่อยยาจากยาเม็ดเมมทริกซ์ การปลดปล่อยยาจากยาเม็ดเมมทริกซ์ที่เตรียมจากสารประกอบเชิงช้อนที่ทุกสภาวะการเตรียมการคำนวณหาอัตราการปลดปล่อยนิโโคตินหมายเหตุกับสมการ Zero-order ($R^2 > 0.99$) (ตารางที่ 10) อัตราการปลดปล่อยนิโโคตินจากยาเม็ดเมมทริกซ์ที่มีปริมาณนิโโคตินเท่ากัน แต่เตรียมจากสารประกอบเชิงช้อนที่เตรียมที่พีอชต่างกัน ไม่มีความแตกต่างกันอย่างมีนัยสำคัญ ($p > 0.05$) แสดงว่า พีอชที่เตรียมสารประกอบเชิงช้อนนิโโคติน-แมกนีเซียมอะลูมิնัมชิลิเกต ไม่มีผลต่อการปลดปล่อยยาจากยาเม็ดเมมทริกซ์ที่มีโซเดียมอัลจิเนตเป็นส่วนประกอบ

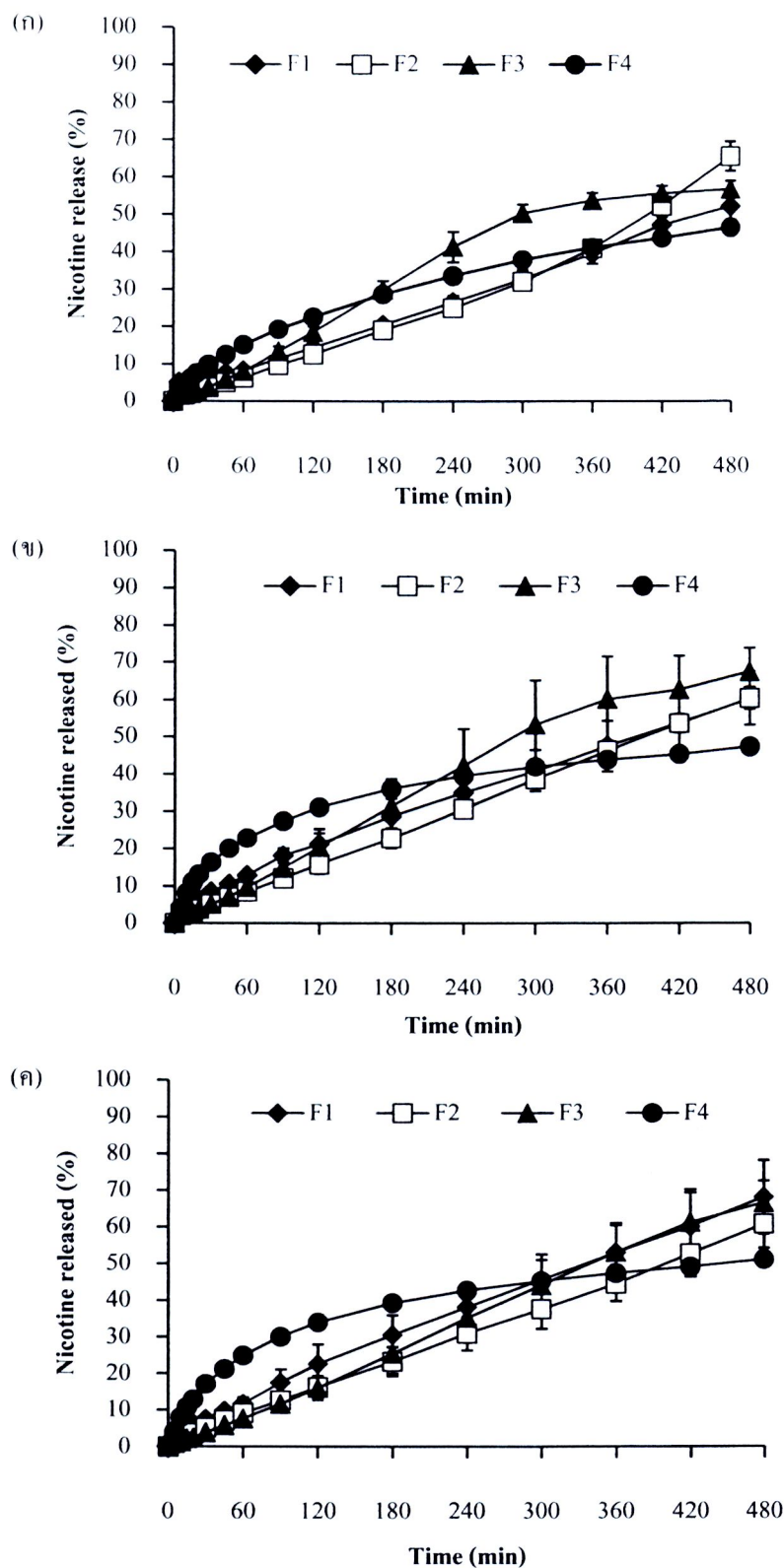
สารประกอบเชิงช้อนนิโโคติน-แมกนีเซียมอะลูมิเนียมชิลิเกตที่เตรียมที่พีอชต่างกัน มีปริมาณนิโโคตินที่คุณภาพได้แตกต่างกัน เมื่อนำมาเตรียมยาเม็ดคำรับ F4 ที่มีสารประกอบเชิงช้อนเพียงอย่างเดียว ทำให้ปริมาณนิโโคตินต่อมีเด็คแตกต่างกัน ยาเม็ดเมทริกซ์ที่เตรียมจากสารประกอบเชิงช้อนที่เตรียมที่พีอช 4.7 และ 9 มีปริมาณนิโโคตินเท่ากัน 19.24 และ 26 มิลลิกรัมต่อมีเด็ค ตามลำดับ ค่า release exponent (*n*) ของการปลดปล่อยยาจากสมการ Power law (ตารางที่ 9) มีค่าใกล้เคียง 0.5 แสดงว่าการปลดปล่อยยาเกิดผ่านกลไกการแพร่ของยา (Fickian diffusion) อัตราการปลดปล่อยยาหมายเหตุกับสมการ Higuchi ($R^2 > 0.99$) พบว่า เมื่อพีอชที่เตรียมสารประกอบเชิงช้อนเพิ่มขึ้น อัตราการปลดปล่อยนิโโคตินเพิ่มขึ้นอย่างมีนัยสำคัญ ($p < 0.05$) ยาเม็ดเมทริกซ์ที่เตรียมจากสารประกอบเชิงช้อนที่เตรียมที่พีอช 9 มีอัตราการปลดปล่อยยาสูงสุดเท่ากับ $3.45 \pm 0.22 \% \text{ min}^{-0.5}$ เนื่องจากมีปริมาณนิโโคตินในคำรับมากที่สุด (ตารางที่ 10) ที่พีอช 9 แมกนีเซียมอะลูมิเนียมชิลิเกตคุณภาพนิโโคตินโดยการเกิดพันธะไฮโคลเรเจน เกิดเป็นอนุภาคที่จับกันหลวงๆ แตกต่างกับสารประกอบเชิงช้อนที่เตรียมที่พีอช 4 และ 7 ที่นิโโคตินถูกคุณภาพนิโโคตินและยาเม็ดเมทริกซ์โดยการเกิดแรงดึงดูดระหว่างประจุ (electrostatic force) และการแลกเปลี่ยนอิออนนาว (cation exchange) ได้ออนุภาคที่จับตัวกันหนาแน่น และมีขนาดใหญ่กว่าสารประกอบเชิงช้อนที่เตรียมที่พีอช 9 เมื่อสัมผัสกับตัวกลางการละลาย สารประกอบเชิงช้อนที่เตรียมที่พีอช 9 จึงเกิดการปลดปล่อยนิโโคตินได้เร็วกว่า (Suksri and Pongjanyakul et al., 2008)

2.2.2 ผลของปริมาณนิโโคตินในคำรับ

การปลดปล่อยนิโโคตินจากยาเม็ดเมทริกซ์โซเดียมอัลจิเนตบรรจุสารประกอบเชิงช้อนนิโโคติน-แมกนีเซียมอะลูมิเนียมชิลิเกตที่เตรียมที่พีอช 4 แสดงดังภาพที่ 9 ก ที่เวลา 480 นาที ยาเม็ดเมทริกซ์ทุกคำรับปลดปล่อยนิโโคตินออกมาร้อยละ 47-66 เมื่อพิจารณาค่า release exponent (*n*) จากสมการ Power law (ตารางที่ 9) พบว่า คำ ก มากที่สุด เมื่อปริมาณโซเดียมอัลจิเนตในคำรับลดลง ค่า release exponent (*n*) ของยาเม็ดเมทริกซ์คำรับ F1 มีค่าระหว่าง 0.5 และ 1.0 แสดงว่าการปลดปล่อยนิโโคตินเกิดผ่านกลไกการแพร่ของยาร่วมกับการพองตัวของพอลิเมอร์ (anomalous transport) ส่วนยาเม็ดเมทริกซ์คำรับ F2 และ F3 มีค่า ก ใกล้เคียง 1.0 แสดงว่า การปลดปล่อยนิโโคตินเกิดผ่านกลไกการพองตัวร่วมกับการกร่อนของพอลิเมอร์ (case-II transport) การคำนวณหาอัตราการปลดปล่อยนิโโคตินจากยาเม็ดเมทริกซ์คำรับ F1 F2 และ F3 พบว่าหมายเหตุกับสมการ Zero-order ($R^2 > 0.99$) อัตราการปลดปล่อยยาจากยาเม็ดเมทริกซ์สูงที่สุด เมื่อปริมาณนิโโคตินในคำรับเพิ่มขึ้น อัตราการปลดปล่อยนิโโคตินจากยาเม็ดเมทริกซ์คำรับ F3 เพิ่มขึ้นอย่างมีนัยสำคัญ ($p < 0.05$) และมีค่ามากที่สุดเท่ากับ $0.17 \pm 0.01 \% \text{ min}^{-1}$ (ตารางที่ 10) ยาเม็ดคำรับที่มีนิโโคตินมาก ต้องใช้สารประกอบเชิงช้อนนิโโคติน-แมกนีเซียมอะลูมิเนียมชิลิเกตปริมาณมากที่สุด เมื่อพิจารณาค่า release exponent (*n*) ของยาเม็ดเมทริกซ์ที่มีปริมาณพอลิเมอร์มาก มีอัตราการปลดปล่อยยาช้าเนื่องจากเกิดชั้นเฉลที่หนาและมีความหนืดมาก มีผลต่อการแพร่ของตัวกลางการละลายเข้าสู่ภายในยาเม็ด (Liew et al., 2006) การแลกเปลี่ยนระหว่างไอออนนาวในตัวกลางการละลายกับนิโโคตินที่ถูกคุณภาพนิโโคติน-แมกนีเซียมอะลูมิเนียมชิลิเกต เพื่อปลดปล่อยยาจึงเกิดได้น้อยลง

ยาเม็ดเมทริกซ์载体 F4 มีค่า release exponent (*n*) ที่ได้จากสมการ Power law (ตารางที่ 9) ใกล้เคียง 0.5 และคงที่การปลดปล่อยยาเกิดผ่านกลไกการแพร่ของยา (Fickian diffusion) ดังนั้น การคำนวณหาอัตราการปลดปล่อยยาได้ใช้สมการ Higuchi อัตราการปลดปล่อยนิโโคตินจากยาเม็ดเมทริกซ์载体 F4 เท่ากับ $2.28 \pm 0.06 \% \text{ min}^{-0.5}$ ด้วยค่า R^2 มากกว่า 0.99 (ตารางที่ 10) การปลดปล่อยยาจากยาเม็ดเมทริกซ์载体นี้ เกิดเมื่อยาเม็ดสัมผัสตัวกลางการละลาย ตัวกลางแพร่เข้าสู่ยาเม็ด เกิดการแตกเปลี่ยนไปอ่อนน硬化ห่วงโซชีเดียม ไปอ่อนก้นนิโโคตินที่ถูกดูดซึบบนแมกนีเซียมอะลูминัมชิลิคต และปลดปล่อยนิโโคตินออกมَا อัตราการปลดปล่อยนิโโคตินจากยาเม็ดเมทริกซ์ สูงกว่าอัตราการปลดปล่อยจากอนุภาคของสารประกอบเชิงช้อนนิโโคติน-แมกนีเซียมอะลูминัมชิลิคตที่มีค่าเท่ากับ $1.84 \pm 0.10 \% \text{ min}^{-0.5}$

สำหรับการปลดปล่อยนิโโคตินจากยาเม็ดเมทริกซ์โซชีเดียมอัลจิเนตบรรจุสารประกอบอนเชิงช้อนนิโโคติน-แมกนีเซียมอะลูминัมชิลิคตที่เตรียมที่พีเอช 7 และ 9 ที่มีปริมาณนิโโคตินต่างกัน เป็นไปในทางเดียวกันกับยาเม็ดเมทริกซ์บรรจุสารประกอบเชิงช้อนที่เตรียมที่พีเอช 4 (ภาพที่ 9 ข และ 9 ค ตามลำดับ) ยาเม็ดเมทริกซ์载体 F1 F2 และ F3 มีค่า release exponent (*n*) มากขึ้น เมื่อปริมาณโซชีเดียมอัลจิเนตลดลง การคำนวณหาอัตราการปลดปล่อยนิโโคตินจากยาเม็ดเมทริกซ์เหมาะสมกับสมการ Zero-order ($R^2 > 0.99$) ส่วนยาเม็ดเมทริกซ์载体 F4 มีค่า release exponent (*n*) ใกล้เคียง 0.5 และการคำนวณหาอัตราการปลดปล่อยยาเหมาะสมกับสมการ Higuchi ด้วยค่า R^2 มากกว่า 0.99 เช่นกัน (ตารางที่ 9 และ 10)



ภาพที่ 9 รูปแบบการปลดปล่อยยาจากยาเม็ดเมทริกซ์โซเดียมอลิจินตบบรรจุสารประกอบเชิงช้อนนิโคติน-แมกนีเซียมอะลูมิเนียมชิลิค็อกที่เตรียมที่พีเอช 4 (ก) พีเอช 7 (ข) และพีเอช 9 (ค) ที่มีปริมาณนิโคตินแตกต่างกัน แต่ละค่าแสดงในรูปของค่าเฉลี่ย \pm ส่วนเบี่ยงเบนมาตรฐาน จาก 3 ตัวอย่าง

ตารางที่ 9 พารามิเตอร์จากสมการ Power law ของการปลดปล่อยนิโโคตินจากยาเม็ดเมทริกซ์โซเดียมอัลจิเนตบรรจุสารประกอนชิงช้อนนิโโคติน-แมกนีเซียมอะลูมิโนซิลิคต์ที่เตรียมที่พื้นที่ต่างๆ และมีปริมาณนิโโคตินแตกต่างกัน

พื้นที่	ปริมาณนิโโคติน (มิลลิกรัมต่อเม็ด)	$k \times 10^3 (\text{min}^{-n})$	R^2	n
4	5	2.88 ± 1.21	0.991	0.85 ± 0.09
	10	1.02 ± 0.07	0.990	1.02 ± 0.01
	15	0.93 ± 0.35	0.997	1.01 ± 0.06
	19	13.13 ± 1.13	0.997	0.59 ± 0.02
7	5	9.30 ± 2.49	0.994	0.67 ± 0.06
	10	3.20 ± 0.30	0.989	0.83 ± 0.11
	15	2.57 ± 0.75	0.992	0.92 ± 0.04
	24	34.03 ± 1.14	0.993	0.46 ± 0.01
9	5	5.49 ± 0.15	0.992	0.77 ± 0.03
	10	2.87 ± 0.29	0.997	0.85 ± 0.04
	15	1.26 ± 0.16	0.995	1.02 ± 0.04
	26	22.51 ± 1.60	0.991	0.58 ± 0.01

แต่ละค่าแสดงในรูปของค่าเฉลี่ย ± ส่วนเบี่ยงเบนมาตรฐาน จาก 3 ตัวอย่าง

ตารางที่ 10 อัตราการปลดปล่อยนิโโคตินจากสมการ Zero-order และ Higuchi ของยาเม็ดเมทริกซ์โซเดียม อัลจิเนตบรรจุสารประกอบเชิงช้อนนิโโคติน-แมกนีเซียมอะลูมิเนียมซิลิเกต ที่เตรียมที่พื้นอื่นๆ และ มีปริมาณนิโโคตินแตกต่างกัน

พี.อ.ช	ปริมาณนิโโคติน (มิลลิกรัมต่อมে็ด)	Zero-order		Higuchi model	
		$K_0 (\% \text{ min}^{-1})$	R^2	$K_H (\% \text{ min}^{-0.5})$	R^2
4	5	0.10 ± 0.01	0.995	2.40 ± 0.22	0.940
	10	0.11 ± 0.01	0.994	2.51 ± 0.06	0.914
	15	0.17 ± 0.01	0.995	2.40 ± 0.22	0.933
	19	0.09 ± 0.01	0.950	2.28 ± 0.06	0.999
7	5	0.12 ± 0.02	0.994	2.83 ± 0.43	0.980
	10	0.12 ± 0.01	0.998	2.92 ± 0.15	0.952
	15	0.17 ± 0.04	0.980	3.55 ± 0.76	0.949
	24	13.15 ± 0.30	0.923	3.04 ± 0.07	0.990
9	5	0.14 ± 0.02	0.996	3.25 ± 0.52	0.972
	10	0.12 ± 0.01	0.999	2.90 ± 0.36	0.957
	15	0.15 ± 0.02	0.999	3.42 ± 0.47	0.953
	26	0.25 ± 0.02	0.935	3.45 ± 0.22	0.994

แต่ละค่าแสดงในรูปของค่าเฉลี่ย \pm ส่วนเบี่ยงเบนมาตรฐาน จาก 3 ตัวอย่าง

2.3 การปลดปล่อยนิโคตินจากยาเม็ดเมมทริกซ์โซเดียมอัลจีเนทบรรจุสารประกอบเชิงช้อนนิโคติน-แมกนีเซียมอะลูมิնัมชิลิเกต ผ่านแมมเบรนเซลลูโลสอะซีเตต

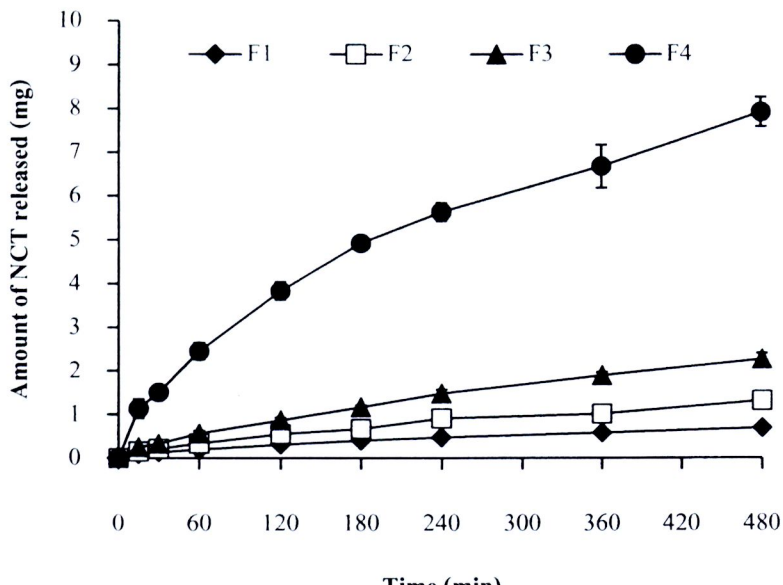
การปลดปล่อยนิโคตินจากยาเม็ดเมมทริกซ์ผ่านแมมเบรนเซลลูโลสอะซีเตต ทำการศึกษาเพื่อทดสอบ ความสามารถในการปลดปล่อยนิโคตินจากยาเม็ดเมมทริกซ์เพียงด้านเดียว (unidirectional release) ในสภาวะที่เหมือนการนำยาเม็ดเมมทริกซ์ไปใช้งานจริง เนื่องจากบริหารยาโดยติดยาเม็ดเมมทริกซ์ไว้ที่กระเพุงแก้ม ให้ตัวยาสำคัญซึ่งผ่านเข้าสู่กระเพุงแก้มในทิศทางเดียว เลือกใช้แมมเบรนเซลลูโลสอะซีเตตนานาครุพุ่น 0.45 ไมครอน เป็นเยื่อกัน ตัวกลางในส่วนรับ (receptor medium) คือสารละลายฟอสเฟตบัฟเฟอร์พีเอช 6.0 และเดินสารละลายฟอสเฟตบัฟเฟอร์พีเอช 6.0 ปริมาตร 2 มิลลิลิตร ลงในส่วนให้ (donor compartment) เพื่อเลียนแบบสภาวะในช่องปากของมนุษย์ ศึกษาเบรย์ที่บันการปลดปล่อยยาจากยาเม็ดเมมทริกซ์บรรจุสารประกอบเชิงช้อนที่เครียมที่พีเอช 9 ที่มีปริมาณนิโคตินต่างกัน และเบรย์ที่บันระหว่างยาเม็ดเมมทริกซ์ที่บรรจุสารประกอบเชิงช้อนที่เครียมที่พีเอชต่างกัน ที่มีปริมาณนิโคติน 15 มิลลิกรัมต่อเม็ดเท่ากัน

การปลดปล่อยนิโคตินจากยาเม็ดเมมทริกซ์โซเดียมอัลจีเนทบรรจุสารประกอบเชิงช้อนนิโคติน-แมกนีเซียมอะลูมิնัมชิลิเกตที่เครียมที่พีเอช 9 ทุกคำรับ แสดงดังภาพที่ 10 ที่เวลา 480 นาที ยาเม็ดเมมทริกซ์คำรับ F4 มีนิโคตินผ่านแมมเบรน ได้ปริมาณมากที่สุดเท่ากับ 7.93 ± 0.33 มิลลิกรัม ส่วนยาเม็ดเมมทริกซ์คำรับ F1 F2 และ F3 มีปริมาณนิโคตินที่ผ่านแมมเบรนเท่ากับ 0.69 ± 0.04 1.32 ± 0.10 และ 2.27 ± 0.13 มิลลิกรัม ตามลำดับ ปริมาณนิโคตินที่ผ่านแมมเบรนเพิ่มขึ้น เมื่อปริมาณนิโคตินในยาเม็ดเมมทริกซ์เพิ่มขึ้น ค่า release exponent (n) จากสมการ Power law มีค่าใกล้เคียง 0.5 ทุกคำรับ (ตารางที่ 11) แสดงว่าการปลดปล่อยยาควบคุมโดยกลไกการแพร่ของยา (Fickian diffusion) การคำนวณหาอัตราการปลดปล่อยยาโดยใช้สมการ Higuchi และ Zero-order (ตารางที่ 12) พบว่า การใช้สมการ Higuchi ให้ค่า R^2 ที่ดีกว่าสมการ Zero-order แสดงให้เห็นว่า การปลดปล่อยยาควบคุมโดยยาเม็ดเมมทริกซ์มากกว่าแมมเบรน เมื่อปริมาณนิโคตินในคำรับเพิ่มขึ้น อัตราการปลดปล่อยนิโคตินจากยาเม็ดเมมทริกซ์เพิ่มขึ้นอย่างมีนัยสำคัญ ($p < 0.05$) ยาเม็ดเมมทริกซ์คำรับ F4 ที่ไม่มีโพลิเมอร์เป็นส่วนประกอบ มีอัตราการปลดปล่อยยาสูงสุด รองลงมาคือ คำรับ F3 F2 และ F1 ตามลำดับ ปัจจัยที่มีผลต่อการปลดปล่อยยาผ่านแมมเบรนเซลลูโลสอะซีเตต คือ ปริมาณนิโคติน และปริมาณโพลิเมอร์ในคำรับ

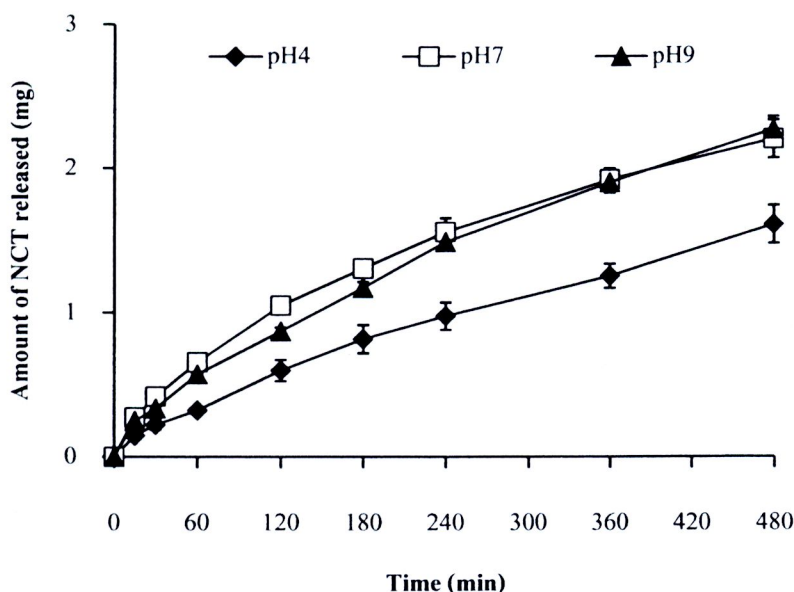
การปลดปล่อยยาจากยาเม็ดเมมทริกซ์บรรจุสารประกอบเชิงช้อนนิโคติน-แมกนีเซียมอะลูมิնัมชิลิเกตที่เครียมที่พีเอชต่างกัน (ปริมาณนิโคติน 15 มิลลิกรัมต่อเม็ด) แสดงดังภาพที่ 11 ยาเม็ดเมมทริกซ์ที่เครียมจากสารประกอบเชิงช้อนที่เครียมที่พีเอช 4 มีนิโคตินผ่านแมมเบรนปริมาณน้อยที่สุดเท่ากับ 1.61 ± 0.13 มิลลิกรัม ส่วนยาเม็ดเมมทริกซ์ที่เครียมจากสารประกอบเชิงช้อนที่เครียมที่พีเอช 7 และ 9 มีนิโคตินผ่านแมมเบรนได้ปริมาณใกล้เคียงกันเท่ากับ 2.20 ± 0.09 และ 2.27 ± 0.13 มิลลิกรัม ตามลำดับ การปลดปล่อยยาจากยาเม็ดเมมทริกซ์ทุกคำรับ ควบคุมโดยกลไกการแพร่ของยา (Fickian diffusion) เห็นได้จากค่า release exponent (n) จากสมการ Power law ที่มีค่าใกล้เคียง 0.5 (ตารางที่ 11) อัตราการปลดปล่อยนิโคตินผ่านแมมเบรนเซลลูโลสอะซีเตตที่คำนวณจากสมการ Higuchi ($R^2 > 0.98$) ของยาเม็ดเมมทริกซ์ที่เครียมจากสารประกอบเชิงช้อนที่เครียมที่พีเอช 4 มีค่าน้อยที่สุดเท่ากับ $77.15 \pm 6.58 \mu\text{g min}^{-0.5}$ ส่วนยาเม็ดเมมทริกซ์ที่เครียมจากสารประกอบเชิงช้อนที่เครียมที่พีเอช 7 และ 9 อัตราการปลดปล่อยยาไม่มีความแตกต่างกันอย่างมีนัยสำคัญ ($p > 0.05$) (ตารางที่ 12) เนื่องจากสารประกอบเชิงช้อนที่เครียมที่พีเอช 4 มีนิโคตินที่ถูกดูดซับโดยแมกนีเซียมอะลูมิնัมชิลิเกตมีปริมาณน้อยที่สุด

และเกิดการจับกันแมกนีเซียมอะลูมิնัมชิลิเกตโดยการเกิดแรงดึงดูดระหว่างประจุ (electrostatic force) และการแลกเปลี่ยนไออ่อนบวก (cation exchange) ได้อันสูญเสียที่มีการจับตัวกันหนาแน่น และมีขนาดใหญ่ จึงส่งผลต่อการปลดปล่อยยาที่มาศักยภาพแพร่ของไออ่อนระหว่างอนุภาคกับตัวกลางการละลาย (Suksri and Pongjanyakul, 2008; Pongjanyakul et al., 2009; Conaghey et al., 1998)

การปลดปล่อยยาจากยาเม็ดเมทริกซ์ทึบเม็ด เมื่อเปรียบเทียบค่า release exponent (n) จากสมการ Power law ของยาเม็ด คำรับ F1 F2 และ F3 (ภาพที่ 12) จะเห็นว่า ค่า n ที่ได้จากการปลดปล่อยยาโนโครินผ่านเมมเบรนมีค่าลดลงใกล้เคียง 0.5 การปลดปล่อยยาความคุณโดยยก去ไกการแพร่ของยา (Fickian diffusion) แตกต่างจากการปลดปล่อยยาโนโครินจากยาเม็ดเมทริกซ์ทึบเม็ดที่ความคุณการปลดปล่อยยาโดยการพองตัวและการกร่อนของพอลิเมอร์ (case-II transport) เป็นผลจากสภาวะที่ทำการศึกษามีผลต่อความสามารถในการพองตัวและคลายตัวของสาขพอลิเมอร์ กรณีการศึกษาการปลดปล่อยยาจากยาเม็ดเมทริกซ์ทึบเม็ด ยาเม็ดมีโอกาสสัมผัสด้วยกลางการละลายบริมามาก เกิดการพองตัวและคลายตัวของสาขพอลิเมอร์ และเสียสภาพความเป็นเจล ส่วนการศึกษาการปลดปล่อยยาผ่านเมมเบรน เซลลูโลสโซไซเดต ยาเม็ดเมทริกซ์สัมผัสด้วยกลางการละลายในบริมามจำกัด และมีการปลดปล่อยยาเพียงด้านเดียว พอลิเมอร์เกิดการพองตัว แต่ไม่เกิดการกร่อนออกจากยาเม็ด ยาเม็ดเมทริกซ์หลังการศึกษาการปลดปล่อยยาผ่านเมมเบรน เกิดชั้นเฉือนนาบริเวณรอบยาเม็ด ส่งผลต่อความสามารถในการปลดปล่อยยา ส่วนยาเม็ดเมทริกซ์คำรับ F4 ที่ไม่มีโซเดียมอลัจิเนต พนว่า ค่า release exponent (n) จากสมการ Power law ของการปลดปล่อยยาโนโครินผ่านเมมเบรน และการปลดปล่อยจากยาเม็ดเมทริกซ์ทึบเม็ด มีค่าใกล้เคียง 0.5 แสดงว่าการปลดปล่อยยาความคุณโดยยกไกการแพร่ของยา (Fickian diffusion) เนื่องจากไม่มีพอลิเมอร์เป็นส่วนประกอบ บริมามด้วยกลางการละลายมีผลต่อความสามารถในการแลกเปลี่ยนไออ่อนบวกระหว่างตัวกลางการละลายและสารประกอบเชิงช้อน เพื่อปลดปล่อยโนโครินเท่านั้น ปัจจัยที่มีผลต่อ globule ไกการปลดปล่อยยา คือ พอลิเมอร์ที่เป็นส่วนประกอบในคำรับ



ภาพที่ 10 รูปแบบการปลดปล่อยนิโโคตินจากยาเม็ดเมมทริกซ์โซเดียมอัลจิเนต บรรจุสารประกอบเชิงช้อนนิโโคติน-แมกนีเซียมอะลูมิնัมชิลิเกตที่เตรียมที่พีเอช 9 ผ่านเมมเบรนเซลลูโลสอะซีเตตขนาดรูพรุน 0.45 ไมครอน แต่ละค่าแสดงในรูปของค่าเฉลี่ย ± ส่วนเบี่ยงเบนมาตรฐาน จาก 3 ตัวอย่าง



ภาพที่ 11 การปลดปล่อยนิโโคตินจากยาเม็ดเมมทริกซ์โซเดียมอัลจิเนตบรรจุสารประกอบเชิงช้อนนิโโคติน-แมกนีเซียมอะลูมิնัมชิลิเกตที่เตรียมที่พีเอช 4 7 และ 9 (ปริมาณนิโโคติน 15 มิลลิกรัมต่อเม็ด) ผ่านเมมเบรนเซลลูโลสอะซีเตตขนาดรูพรุน 0.45 ไมครอน แต่ละค่าแสดงในรูปของค่าเฉลี่ย ± ส่วนเบี่ยงเบนมาตรฐาน จาก 3 ตัวอย่าง

ตารางที่ 11 พารามิเตอร์จากสมการ Power law ของการปลดปล่อยนิโโคตินผ่านเมมเบรนเซลล์โลส ออชีเตตขนาดครูพรุน 0.45 ไมครอน ของยาเม็ดเมทริกซ์โซเดียมอัลจิเนตบรรจุสารประกอบเชิงช้อน นิโโคติน-แมกนีเซียมอะลูมิնัมชิลิเกตที่เตรียมที่พื้นที่ต่างๆ และมีปริมาณนิโโคตินแตกต่างกัน

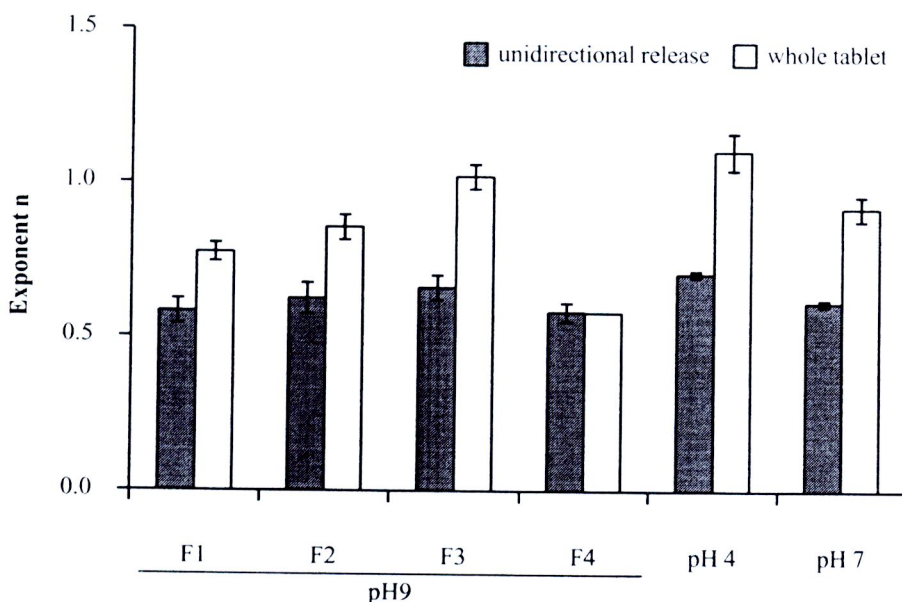
พื้นที่	ปริมาณนิโโคติน (มิลลิกรัมต่อมีลิตร)	$k \times 10^3 (\text{min}^{-n})$	R^2	n
4	15	1.27 ± 0.17	0.990	0.70 ± 0.01
7	15	3.32 ± 0.24	0.997	0.61 ± 0.01
9	5	3.64 ± 0.74	0.989	0.58 ± 0.04
	10	2.59 ± 0.47	0.991	0.63 ± 0.05
	15	2.45 ± 0.65	0.993	0.66 ± 0.04
	26	8.85 ± 1.87	0.991	0.58 ± 0.03

ผลลัพธ์ค่าแสดงในรูปของค่าเฉลี่ย ± ส่วนเบี่ยงเบนมาตรฐาน จาก 3 ตัวอย่าง

ตารางที่ 12 อัตราการปลดปล่อยนิโโคตินผ่านเมมเบรนเซลล์โลสอะอัชีเตตขนาดครูพรุน 0.45 ไมครอน จากสมการ Zero-order และ Higuchi ของยาเม็ดเมทริกซ์โซเดียมอัลจิเนตบรรจุสารประกอบเชิงช้อนนิโโคติน-แมกนีเซียมอะลูมิնัมชิลิเกตที่เตรียมที่พื้นที่ต่างๆ และมีปริมาณนิโโคตินแตกต่างกัน

พื้นที่	ปริมาณนิโโคติน (มิลลิกรัมต่อมีลิตร)	Zero-order		Higuchi model	
		$K_0 (\mu\text{g min}^{-1})$	R^2	$K_H (\mu\text{g min}^{-0.5})$	R^2
4	15	3.18 ± 0.26	0.984	77.15 ± 6.58	0.981
7	15	4.26 ± 0.13	0.955	105.57 ± 2.72	0.994
9	5	1.30 ± 0.07	0.961	32.69 ± 1.65	0.989
	10	2.49 ± 0.23	0.966	62.30 ± 5.54	0.981
	15	4.51 ± 0.23	0.979	109.77 ± 5.20	0.986
	26	15.27 ± 0.66	0.937	382.27 ± 15.77	0.995

ผลลัพธ์ค่าแสดงในรูปของค่าเฉลี่ย ± ส่วนเบี่ยงเบนมาตรฐาน จาก 3 ตัวอย่าง



ภาพที่ 12 ค่า release exponent (n) ของการปลดปล่อยนิโโคตินผ่านเมมเบรนเซลล์โลสอะซีเตตขนาดรูป 0.45 ไมครอน (unidirectional release) และการปลดปล่อยนิโโคตินจากยาเม็ดเมทริกซ์ทั้งเม็ด (whole tablet) ของยาเม็ดเมทริกซ์โซเดียมอัลจิเนต แต่ละค่าแสดงในรูปของค่าเฉลี่ย \pm ส่วนเบี่ยงเบนมาตรฐาน จาก 3 ตัวอย่าง

2.4 การซึมผ่านเยื่อเมือกหลอดอาหารหมูของนิโโคตินจากยาเม็ดเมทริกซ์โซเดียมอัลจิเนตบรรจุสารประกอบเชิงช้อนนิโโคติน-แมกนีเซียมอะลูминัมชิลิเกต

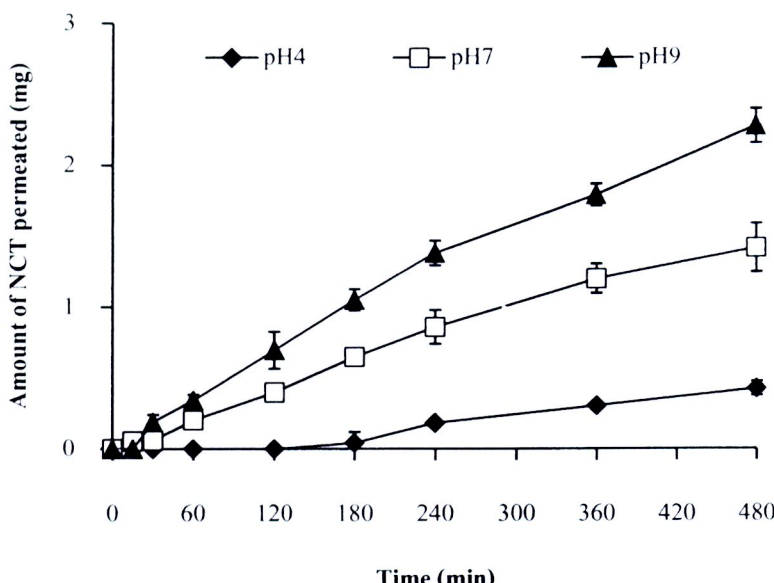
การศึกษาการซึมผ่านเยื่อเมือกของนิโโคตินจากยาเม็ดเมทริกซ์ มีวิธีคล้ายการศึกษาการปลดปล่อยยาผ่านเมมเบรนเซลล์โลสอะซีเตต แต่ใช้เยื่อเมือกหลอดอาหารหมูเป็นเยื่อกัน เนื่องจากชนิดและปริมาณไขมันที่เป็นส่วนประกอบคล้ายกันเยื่อเมือกกระพุ้งแก้มหมู และคุณสมบัติการยอมให้สารซึมผ่านใกล้เคียงกัน (Diaz del Consuelo et al., 2005) ตัวกลางในส่วนรับ เลือกใช้สารละลายฟอสเฟตบัฟเฟอร์ไอโซโทนิกพีเอช 7.4 เพื่อให้เปรียบเสมือนของเหลวในร่างกายมนุษย์

ผลการศึกษาการซึมผ่านเยื่อเมือกของยาเม็ดเมทริกซ์บรรจุสารประกอบเชิงช้อนนิโโคติน-แมกนีเซียมอะลูминัมชิลิเกตที่เตรียมที่พีเอชต่างกัน (ปริมาณนิโโคติน 15 มิลลิกรัมต่อเม็ด) แสดงตั้งภาพที่ 13 พบว่าพีเอชที่เตรียมสารประกอบเชิงช้อน มีผลต่อการซึมผ่านเยื่อเมือกของนิโโคติน ยาเม็ดเมทริกซ์บรรจุสารประกอบเชิงช้อนที่เตรียมที่พีเอช 9 มีนิโโคตินที่ผ่านเยื่อเมือกหลอดอาหารหมูปริมาณมากที่สุดเท่ากับ 2.28 ± 0.17 มิลลิกรัม รองลงมาคือ ยาเม็ดเมทริกซ์บรรจุสารประกอบเชิงช้อนที่เตรียมที่พีเอช 7 และ 4 ที่มีปริมาณนิโโคตินที่ซึมผ่านเยื่อเมือกเท่ากับ 1.42 ± 0.12 และ 0.43 ± 0.05 มิลลิกรัม ตามลำดับ การคำนวณหาอัตราการซึมผ่านเยื่อเมือกโดยใช้สมการ Higuchi ให้ค่า R^2 ที่ดีกว่าการคำนวณจากสมการ Zero-order (ตารางที่ 13) แสดงว่า การซึมผ่านเยื่อเมือกความคุมโดยขามีเม็ดเมทริกซ์มากกว่าเยื่อเมือกหลอดอาหารหมู ยาเม็ดเมทริกซ์ที่เตรียมจากสารประกอบเชิงช้อนที่เตรียมที่พีเอช 4 มีอัตราการซึมผ่านเยื่อเมือกต่ำที่สุดเท่ากับ $43.14 \pm 2.58 \mu\text{g min}^{-0.5}$ และเป็นตัวรับที่มีเวลาทึ่งช่วง (lag time) นานที่สุดก่อนที่นิโโคตินจะซึมผ่านเยื่อเมือกได้ (ภาพที่ 14) เนื่องจากที่พีเอช 4 ไม่มีนิโโคตินรูปที่สามารถ

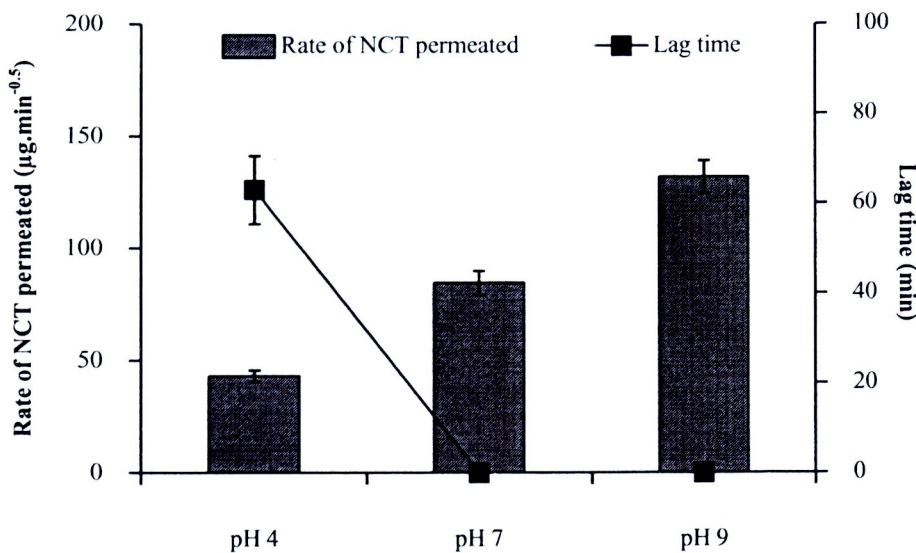
ชิมผ่านเยื่อเมือกได้ทันที และต้องใช้วาลนานในการแพร่และแยกเปลี่ยนไออกอนภายในสารประกอบเชิงช้อนเพื่อปลดปล่อยนิโโคติน ส่วนที่สภาวะค่าคงนิโโคตินเก็บทั้งหมดคงอยู่ในรูปไม่แตกตัว (ตารางที่ 14) ซึ่งเป็นรูปที่ชิมผ่านเยื่อเมือกได้ดี จึงมีการชิมผ่านเยื่อเมือกหลอดอาหารหมูมากกว่ายานี้เดเมทริกซ์ที่เครียมจากสารประกอบเชิงช้อนที่เครียมที่สภาวะกลางและสภาวะกรด ที่นิโโคตินส่วนมากอยู่ในรูปแตกตัว ผลการศึกษาที่ได้สอดคล้องกับ pH partition theory ที่กล่าวว่าสารที่อยู่ในรูปไม่แตกตัว มีความสามารถในการชิมผ่านเมมเบรนได้ดีกว่าสารที่อยู่ในรูปแตกตัว (Chen et al., 1999; Martin, 1993)

สำหรับการชิมผ่านเยื่อเมือกของยาเม็ดเดเมทริกซ์ที่เครียมจากสารประกอบเชิงช้อนที่เครียมที่พีเอช 9 ที่มีปริมาณนิโโคตินแตกต่างกัน (ภาพที่ 15) พบว่าปริมาณนิโโคตินที่ชิมผ่านเยื่อเมือกเพิ่มขึ้น เมื่อยานี้เดเมทริกซ์มีปริมาณนิโโคตินมากขึ้น ยาเม็ดเดเมทริกซ์ดำรับ F4 มีปริมาณนิโโคตินที่ชิมผ่านเยื่อเมือกได้มากที่สุดเท่ากับ 3.87 ± 0.57 มิลลิกรัม คำนวณหาอัตราการชิมผ่านเยื่อเมือกโดยใช้สมการ Higuchi ($R^2 > 0.98$) พบว่า อัตราการชิมผ่านเยื่อเมือกเพิ่มขึ้น เมื่อปริมาณนิโโคตินในดำรับเพิ่มขึ้น ยาเม็ดเดเมทริกซ์ดำรับ F4 มีอัตราการชิมผ่านเยื่อเมือกสูงสุดเท่ากับ $208.90 \pm 32.56 \text{ } \mu\text{g min}^{-0.5}$ (ตารางที่ 15) เป็นผลจากความแตกต่างความเข้มข้น (concentration gradient) ของนิโโคตินที่สูงขึ้น (Martin, 1993) และสัดส่วนระหว่างสารประกอบเชิงช้อนกับโซเดียมอัลจิเนตมีการเปลี่ยนแปลง

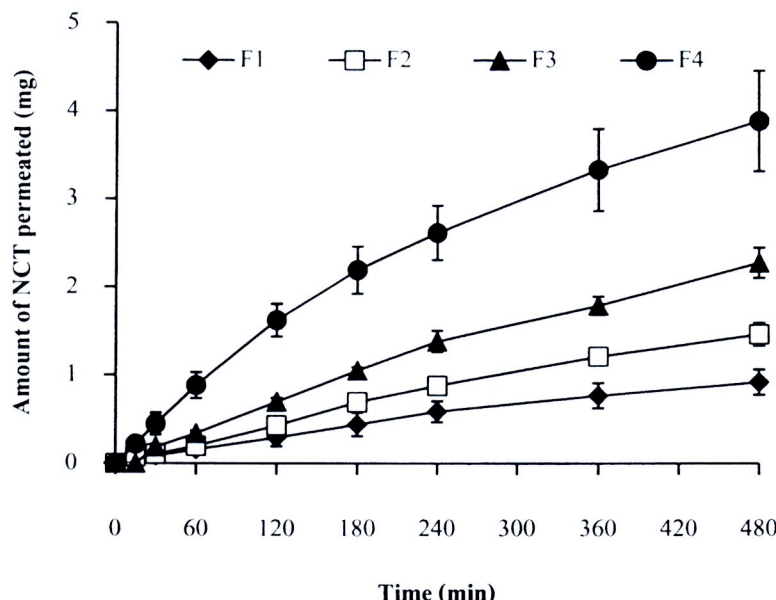
เมื่อเปรียบเทียบอัตราการชิมผ่านเยื่อเมือกหลอดอาหารหมู กับอัตราการปลดปล่อยผ่านเมมเบรนเซลลูโลสอะซีเตต พบร่วมกับยาเม็ดเดเมทริกซ์ดำรับ F1 F2 และ F3 มีอัตราการปลดปล่อยนิโโคตินผ่านเยื่อเมือกมากกว่าอัตราการปลดปล่อยนิโโคตินผ่านเมมเบรน แตกต่างจากยาเม็ดเดเมทริกซ์ดำรับ F4 ที่อัตราการปลดปล่อยนิโโคตินผ่านเมมเบรน มากกว่าอัตราการชิมผ่านเยื่อเมือกอย่างมีนัยสำคัญ ($p < 0.05$) (ภาพที่ 16) จากคุณสมบัติของเยื่อเมือกหลอดอาหารหมู ที่ทำหน้าที่เป็นสิ่งกั้นการส่งผ่านสาร และยอมให้สารชิมผ่านยาก ฟอสเฟตบัฟเฟอร์พีเอช 6.0 ที่เดินลงในส่วนให้ ไม่สามารถชิมผ่านเยื่อเมือกออกสู่ตัวกลางการละลาย แตกต่างจากเมมเบรนเซลลูโลสอะซีเตตที่ฟอสเฟตบัฟเฟอร์พีเอช 6.0 มีการชิมผ่านเมมเบรนออกสู่ตัวกลางการละลาย ส่งผลต่อความสามารถในการพองตัวของพอลิเมอร์ และการปลดปล่อยยาจากยานี้เดเมทริกซ์ ยาเม็ดเดเมทริกซ์หลังการศึกษาการปลดปล่อยยาผ่านเมมเบรนเซลลูโลสอะซีเตต เกิดชั้นเจลหนานิริเวณรอบยาเม็ด มีผลต้านการแพร่ของยา นอกเหนือไป ประภากฎการณ์นี้ อาจเกิดจากการที่พอลิเมอร์สามารถดูดซับน้ำผ่านเมมเบรนเซลลูโลสอะซีเตตได้มากกว่าการใช้เยื่อเมือกหลอดอาหาร มีผลให้ความเข้มข้นของนิโโคตินภายในยาเม็ดเดเมทริกซ์ลดลง ส่งผลต่อความสามารถแตกต่างความเข้มข้น (concentration gradient) ของนิโโคติน เป็นผลให้นิโโคตินชิมผ่านเมมเบรนได้น้อยกว่าปริมาณที่ชิมผ่านเยื่อเมือกหลอดอาหารหมู แสดงให้เห็นว่า พอลิเมอร์มีผลต่อการควบคุมการปลดปล่อยยาจากยาเม็ดเดเมทริกซ์ ส่วนยาเม็ดเดเมทริกซ์ดำรับ F4 ที่ไม่มีพอลิเมอร์เป็นส่วนประกอบ บริเวณรอบยาเม็ดไม่มีชั้นเจลที่เกิดจากพอลิเมอร์เป็นสิ่งกั้นการส่งผ่าน ลักษณะยาเม็ดหลังการทดสอบนาน 8 ชั่วโมง เกิดการเสียสภาพ ปริมาณฟอสเฟตบัฟเฟอร์พีเอช 6.0 ในส่วนให้ มีผลต่อการแยกเปลี่ยนไออกอนบวกระหว่างโซเดียม ไอออนในฟอสเฟตบัฟเฟอร์กับนิโโคตินที่ถูกดูดซับบนแมกนีเซียมอะกูมินัมชิลิเกต เพื่อปลดปล่อยยา การชิมผ่านเยื่อเมือกของยาเม็ดเดเมทริกซ์ที่มีโซเดียมอัลจิเนตทุกดำรับ ความคุณโดยยาเม็ดเดเมทริกซ์มากกว่าเยื่อเมือกหลอดอาหาร



ภาพที่ 13 การซึมผ่านเยื่อเมือกหลอดอาหารหมูของนิโโคตินจากยาเม็ดเมทริกซ์โซเดียมอลิจีเนต ที่มีปริมาณนิโโคติน 15 มิลลิกรัมต่อเม็ด บรรจุสารประกอบเชิงช้อนนิโโคติน-แมกนีเซียมอะลูминัมชิลิเกต ที่เตรียมที่พีเอช 4 7 และ 9 แต่ละค่าแสดงในรูปของค่าเฉลี่ย ± ส่วนเบี่ยงเบนมาตรฐาน จาก 3 ตัวอย่าง



ภาพที่ 14 อัตราการซึมผ่านเยื่อเมือกหลอดอาหารหมูของนิโโคติน และเวลาทึ่งช่วง (lag time) ของยาเม็ดเมทริกซ์โซเดียมอลิจีเนตที่มีปริมาณนิโโคติน 15 มิลลิกรัมต่อเม็ด บรรจุสารประกอบเชิงช้อนนิโโคติน-แมกนีเซียมอะลูминัมชิลิเกต ที่เตรียมที่พีเอช 4 7 และ 9 แต่ละค่าแสดงในรูปของค่าเฉลี่ย ± ส่วนเบี่ยงเบนมาตรฐาน จาก 3 ตัวอย่าง



ภาพที่ 15 การซึมผ่านเยื่อเมือกหลอดอาหารหมูของนิโโคตินจากยาเม็ดเคมทริกซ์ใช้เดียมอลจีเนต บรรจุสารประกอบเชิงช้อนนิโโคติน-แมกนีเซียมอะลูминัมชิลิเกตที่เตรียมที่พีเอช 9 ที่มีปริมาณนิโโคตินต่างกัน แต่ละค่าแสดงในรูปของค่าเฉลี่ย \pm ส่วนเบี่ยงเบนมาตรฐาน จาก 3 ตัวอย่าง

ตารางที่ 13 อัตราการซึมผ่านของนิโโคตินผ่านเยื่อเมือกหลอดอาหารหมูจากสมการ Zero-order และ Higuchi ของยาเม็ดเคมทริกซ์ใช้เดียมอลจีเนตบรรจุสารประกอบเชิงช้อนนิโโคติน-แมกนีเซียมอะลูминัมชิลิเกตที่เตรียมที่พีเอชต่างๆ และมีปริมาณนิโโคตินแตกต่างกัน

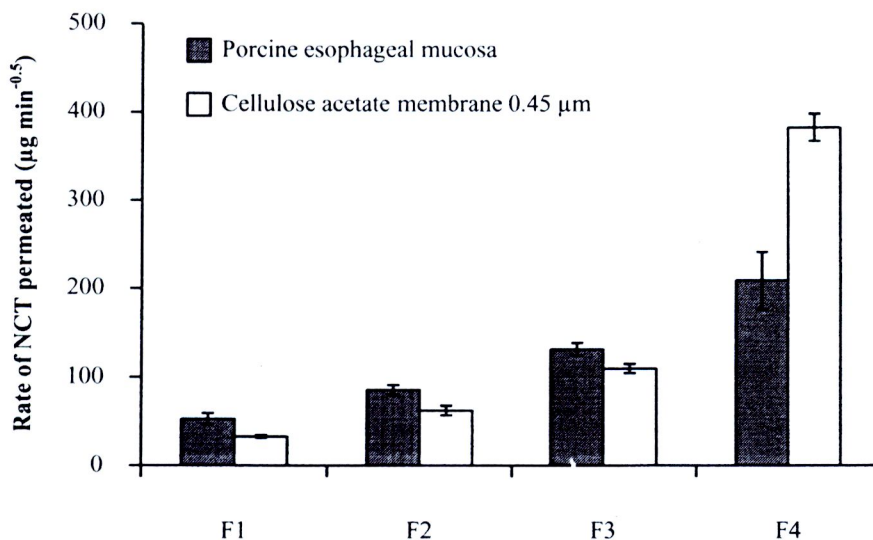
พีเอช	ปริมาณนิโโคติน (มิลลิกรัมต่อเม็ด)	Zero-order		Higuchi model	
		$K_0 (\mu\text{g min}^{-1})$	R^2	$K_H (\mu\text{g min}^{-0.5})$	R^2
4	15	0.97 ± 0.10	0.922	43.14 ± 2.58	0.963
7	15	3.10 ± 0.28	0.979	84.62 ± 5.30	0.980
9	5	1.90 ± 0.24	0.982	52.53 ± 6.59	0.989
	10	3.11 ± 0.23	0.986	85.71 ± 5.76	0.990
	15	4.88 ± 0.30	0.980	131.57 ± 7.37	0.993
	26	7.90 ± 1.30	0.955	208.90 ± 32.56	0.996

แต่ละค่าแสดงในรูปของค่าเฉลี่ย \pm ส่วนเบี่ยงเบนมาตรฐาน จาก 3 ตัวอย่าง

ตารางที่ 14 ปริมาณนิโคตินแต่ละชนิด ที่สภาวะต่างๆ

พีอช	ร้อยละของปริมาณนิโคติน		
	รูปไข่โปรดอนเนท	รูปโน้มโปรดอนเนท	รูปไข่แตกตัว
4	9.88	90.12	-
7	-	87.72	12.28
9	-	6.47	93.53

คำนวณโดยใช้สมการของ Henderson-Hasselbalch equation

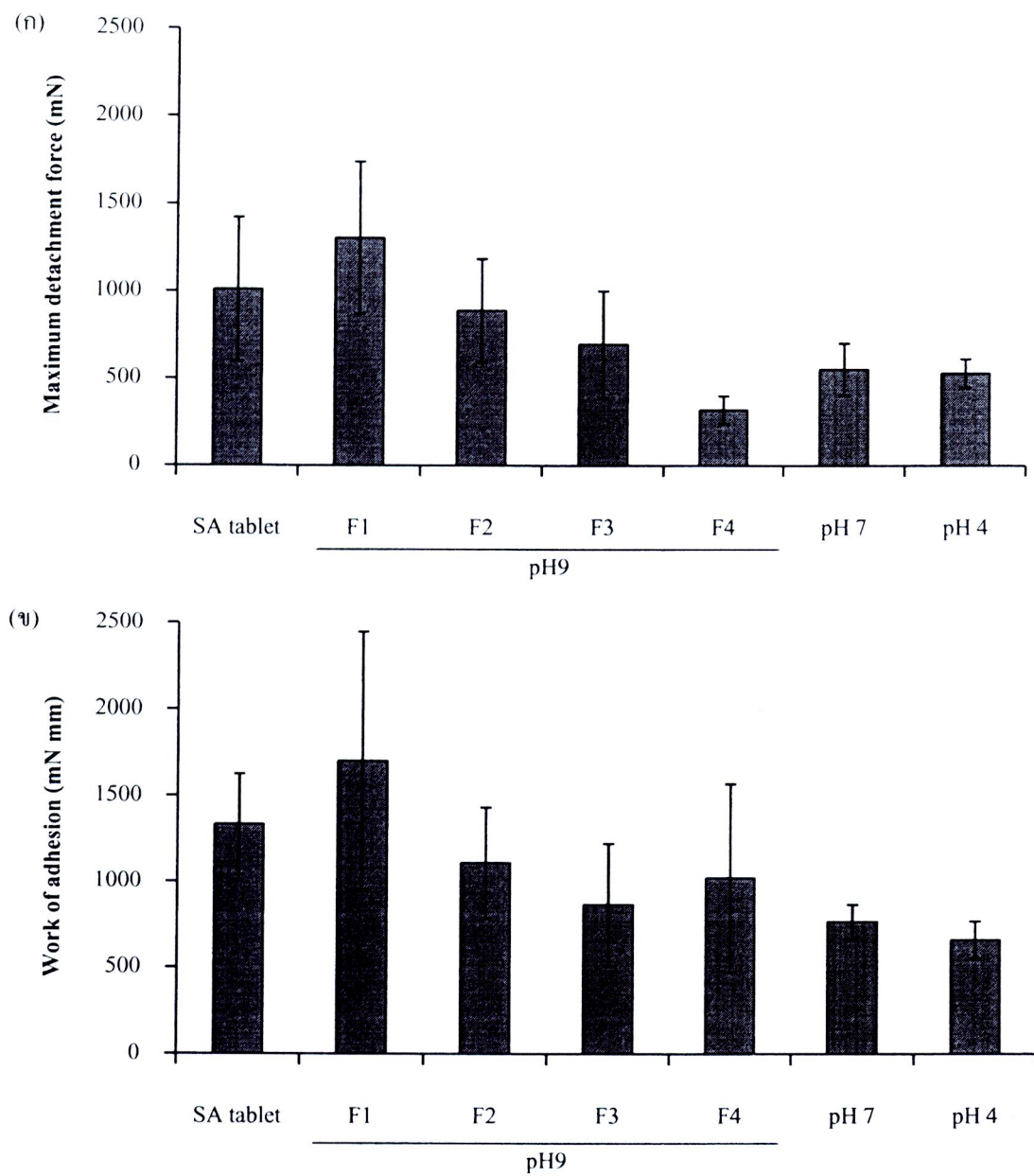


ภาพที่ 16 อัตราการซึมผ่านเยื่อเมือกหลอดอาหารหมูของนิโคติน และอัตราการปลดปล่อยยาผ่านเมมเบรน เชลลูโลสอะซีเตตขนาดรูรุน 0.45 ไมครอน ของยาเม็ดเมทริกซ์โซเดียม อัลจิเนตบาร์จ สารประกอบเชิงช้อนนิโคติน-แมกนีเซียมอะลูมิnumชีลิเคลตที่เตรียมที่พีอช 9 จากสมการ Higuchi แต่ละค่าแสดงในรูปของค่าเฉลี่ย ± ส่วนเบี่ยงเบนมาตรฐาน จาก 3 ตัวอย่าง



2.5 การยึดติดทางชีวภาพของยาเม็ดเมมทริกซ์โดยใช้เยื่อเมือกหลอดอาหารหมูในการทดสอบ เปรียบเทียบค่า maximum detachment force และ work of adhesion ของยาเม็ดเมมทริกซ์แต่ละตัวรับผลการศึกษาแสดงดังภาพที่ 17 ก และ 17 ข ตามลำดับ ยาเม็ดเมมทริกซ์บรรจุสารประกอบเชิงช้อนนิโโคติน-แมgnิเซียมอะลูมิնัมชิลิเกต

ศึกษาความสามารถในการยึดติดทางชีวภาพของยาเม็ดเมมทริกซ์ โดยใช้เยื่อเมือกหลอดอาหารหมูในการทดสอบ เปรียบเทียบค่า maximum detachment force และ work of adhesion ของยาเม็ดเมมทริกซ์แต่ละตัวรับผลการศึกษาแสดงดังภาพที่ 17 ก และ 17 ข ตามลำดับ ยาเม็ดเมมทริกซ์บรรจุสารประกอบเชิงช้อนนิโโคติน-แมgnิเซียมอะลูมิնัมชิลิเกตที่เตรียมที่พีเอช 9 มีค่า maximum detachment force ลดลง เมื่อปริมาณโพลิเมอร์ในตัวรับลดลง ยาเม็ดเมมทริกซ์ตัวรับ F1 มีการยึดติดทางชีวภาพดีที่สุด จากการที่ใช้เดี่ยวอัลจิเนตเป็นโพลิแซคคาไรด์ที่มีคุณสมบัติการยึดติดทางชีวภาพ มีคุณสมบัติชอบน้ำ และมีโครงสร้างที่สามารถเกิดพันธะไฮโดรเจนได้ คือ หมู่คาร์บอโนฟิล (-COOH) และหมู่ไฮดรอกซิล (-OH) เมื่อสัมผัสตัวกับการละลายสามารถดูดน้ำ และเกิดการพองตัว (Mortazavi and Smart, 1995; Salamat-Miller et al., 2005; Sudhakar et al., 2006) การยึดติดทางชีวภาพเกิดขึ้นเมื่อโพลิเมอร์พองตัว และเกิดการแพร่ของสายโพลิเมอร์เข้าสู่ส่วนของเยื่อเมือก (interpenetration) เกิดพันธะไฮโดรเจนระหว่างหมู่ฟังก์ชันของโพลิเมอร์กับเยื่อเมือก (Andrews et al., 2009) ยาเม็ดเมมทริกซ์ที่มีปริมาณใช้เดี่ยวอัลจิเนตมาก จึงมีการยึดติดทางชีวภาพดีกว่า เนื่องจากการที่มีตำแหน่งที่สามารถเกิดพันธะไฮโดรเจนได้มากกว่า สำหรับค่า work of adhesion พบว่า ยาเม็ดเมมทริกซ์ตัวรับ F1 มีค่า work of adhesion มากที่สุด และด้วยเมื่อมีโพลิเมอร์ปริมาณมาก ใช้เดี่ยวอัลจิเนตสามารถแพร่เข้าสู่ส่วนของเยื่อเมือกได้มาก ต้องใช้เวลานานในการแยกโพลิเมอร์ออกจากเยื่อเมือก ส่วนยาเม็ดเมมทริกซ์ตัวรับ F4 ที่ไม่มีใช้เดี่ยวอัลจิเนตเป็นส่วนประกอบ แสดงคุณสมบัติการยึดติดทางชีวภาพได้จากการที่แมgnิเซียมอะลูมิնัมชิลิเกตเกิดอันตรกิริยา กับเยื่อเมือกโดยการเกิดแรงดึงดูดวัลลส์ (London-van der Waals forces) และพันธะไฮโดรเจนกับเยื่อเมือก เนื่องจากโครงสร้างของแมgnิเซียมอะลูมิնัมชิลิเกตมีหมู่ไฮดรอกซิล (Lavie and Stotzky, 1986) และเมื่อเปรียบเทียบการยึดติดทางชีวภาพของยาเม็ดเมมทริกซ์ที่เตรียมจากสารประกอบเชิงช้อนที่เตรียมที่พีเอชต่างกันพบว่า ความสามารถในการยึดติดทางชีวภาพของยาเม็ดเมมทริกซ์ใกล้เคียงกัน



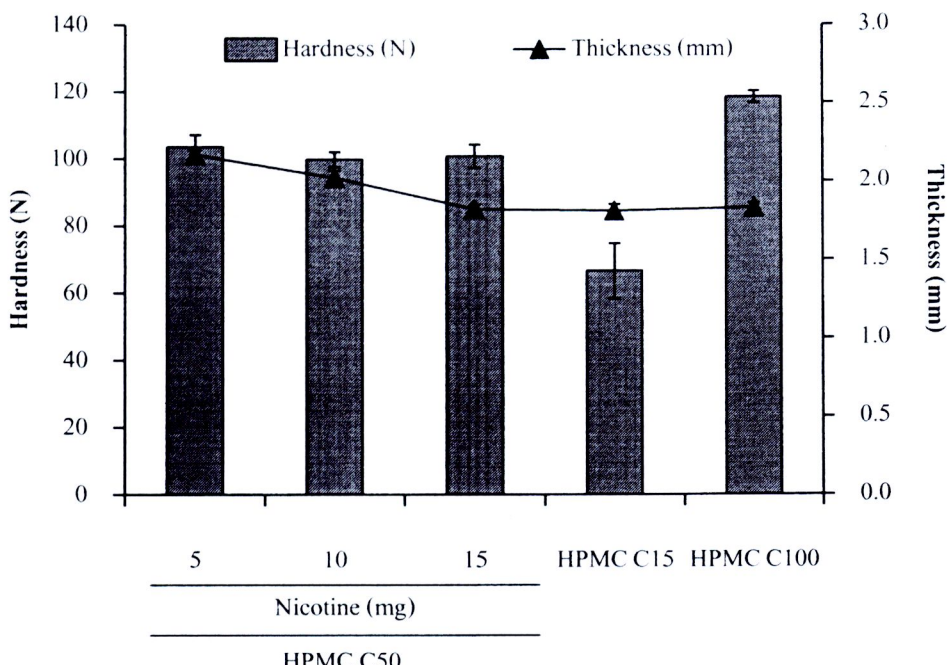
ภาพที่ 17 การวัดค่าคงที่เวกวัด (ก) Maximum detachment force (ข) Work of adhesion ของยาเม็ดเมทริกซ์ โซเดียมอลิจีนตอนรุ่งสารประกอบเชิงช้อนนิโโคติน-แมกนีเซียมอะลูมิเนียมชิลิเกต ที่เตรียมที่พื้นอช ต่างๆ และมีปริมาณนิโโคตินแตกต่างกัน แต่ละค่าแสดงในรูปของค่าเฉลี่ย \pm ส่วนเบี่ยงเบนมาตรฐาน จาก 5 ตัวอย่าง

3. ยาเม็ดเมทريกซ์ไ媳ครอกซ์โพรพิลเมทิลเซลลูโลสบรรจุสารประกอบเชิงช้อนนิโโคติน-แมกนีเซียมอะลูมิնัมชิลิเกต

3.1 ความหนาและความแข็งของยาเม็ดเมทريกซ์

ยาเม็ดเมทريกซ์ไ媳ครอกซ์โพรพิลเมทิลเซลลูโลส เตรียมโดยวิธีการเดี่ยวกับการเตรียมยาเม็ดเมทريกซ์ไ媳เดียมอัลจิเนต แบ่งการศึกษาเป็น 2 กลุ่ม คือ ยาเม็ดเมทريกซ์ที่เตรียมจากไ媳ครอกซ์โพรพิลเมทิลเซลลูโลสเกรดความหนืด 50 เชนติพอยส์ ที่มีปริมาณนิโโคตินต่างกัน และยาเม็ดเมทريกซ์ที่มีปริมาณนิโโคติน 15 มิลลิกรัมต่อเม็ด ที่เตรียมจากไ媳ครอกซ์โพรพิลเมทิลเซลลูโลสเกรดความหนืดต่างกัน

ผลการศึกษาความแข็งและความหนาของยาเม็ดเมทريกซ์ไ媳ครอกซ์โพรพิลเมทิลเซลลูโลส ทุกตัวรับทดสอบดังภาพที่ 18 ยาเม็ดเมทريกซ์ที่ใช้ไ媳ครอกซ์โพรพิลเมทิลเซลลูโลสเกรดความหนืด 50 เชนติพอยส์ มีความแข็งไกลีกึ่งกันทุกตัวรับเท่ากัน $100-103$ นิวตัน แต่มีความแข็งน้อยกว่ายาเม็ดที่เตรียมจากไ媳ครอกซ์โพรพิลเมทิลเซลลูโลสเกรดความหนืด 50 เชนติพอยส์เพียงอย่างเดียว (117.6 ± 0.01 นิวตัน) ความหนาของยาเม็ดเมทريกซ์อยู่ระหว่าง $1.82-2.17$ มิลลิเมตร ความหนาของยาเม็ดเมทريกซ์ลดลง เมื่อปริมาณสารประกอบเชิงช้อนนิโโคติน-แมกนีเซียมอะลูมิնัมชิลิเกตเพิ่มขึ้น ยาเม็ดเมทريกซ์ที่ใช้ไ媳ครอกซ์โพรพิลเมทิลเซลลูโลสเกรดความหนืดต่างกัน มีความหนาไกลีกึ่งกันอยู่ในช่วง $1.81-1.83$ มิลลิเมตร แต่ความแข็งแตกต่างกัน ยาเม็ดเมทريกซ์ที่ใช้ไ媳ครอกซ์โพรพิลเมทิลเซลลูโลสเกรดความหนืด 100 เชนติพอยส์ มีความแข็งมากที่สุดเท่ากับ 118.38 ± 1.75 นิวตัน ส่วนยาเม็ดเมทريกซ์ที่ใช้เกรดความหนืด 15 เชนติพอยส์ มีความแข็งน้อยที่สุดเท่ากับ 66.64 ± 8.20 นิวตัน แต่มีความแข็งมากกว่ายาเม็ดที่เตรียมจากไ媳ครอกซ์โพรพิลเมทิลเซลลูโลสเกรดความหนืด 15 เชนติพอยส์เพียงอย่างเดียว (10.98 ± 0.82 นิวตัน) แสดงว่าสารประกอบเชิงช้อนนิโโคติน-แมกนีเซียมอะลูมิնัมชิลิเกตมีคุณสมบัติการตอกอัคทีดี ส่งผลให้ความแข็งของยาเม็ดเพิ่มขึ้น



ภาพที่ 18 ความหนาและความแข็งของยาเม็ดเมทริกซ์ไสครอกซ์ไพรพิลเมทิลเซลลูโลสเกรดความหนืดต่างๆ บรรจุสารประกอบเชิงช้อนนิโโคติน-แมกนีเซียมอะลูมิเนียมชิลิเกตที่เตรียมที่พีอช 9 แต่ละค่าแสดงในรูปของค่าเฉลี่ย \pm ส่วนเบี่ยงเบนมาตรฐาน จาก 3 ตัวอย่าง

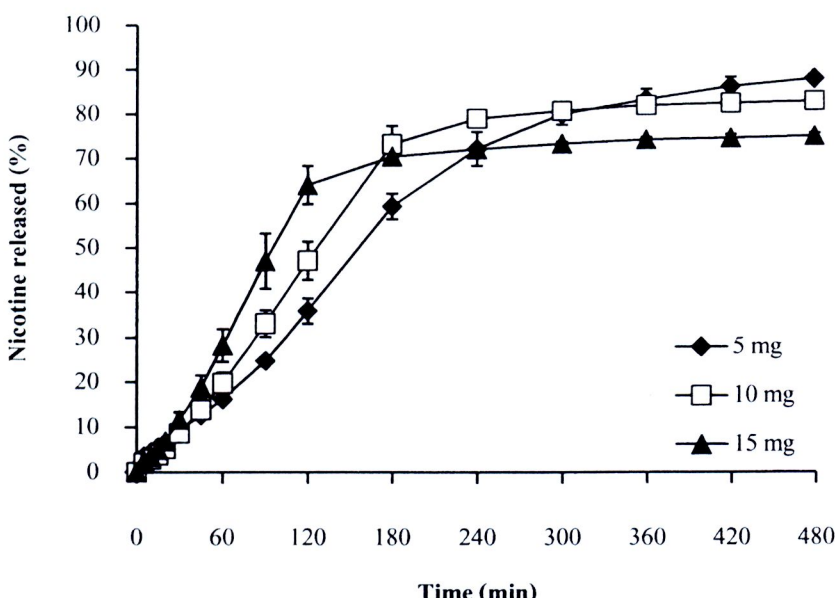
3.2 การปลดปล่อยนิโโคตินจากยาเม็ดเมทริกซ์ไสครอกซ์ไพรพิลเมทิลเซลลูโลสทั้งเม็ด

ศึกษาการปลดปล่อยนิโโคตินจากยาเม็ดเมทริกซ์ไสครอกซ์ไพรพิลเมทิลเซลลูโลส บรรจุสารประกอบ เชิงช้อนนิโโคติน-แมกนีเซียมอะลูมิเนียมชิลิเกตทุกตัวรับ ในตัวกลางการละลายฟอสเฟตบัฟเฟอร์พีอช 6.0 เปรียบเทียบผลของปริมาณนิโโคตินในตัวรับ และผลของเกรดความหนืดของไสครอกซ์ไพรพิลเมทิลเซลลูโลส

3.2.1 ผลของปริมาณนิโโคตินในตัวรับ

ผลการศึกษาการปลดปล่อยนิโโคตินจากยาเม็ดเมทริกซ์ไสครอกซ์ไพรพิลเมทิลเซลลูโลส เกรดความหนืด 50 เชนเดียร์ส บรรจุสารประกอบเชิงช้อนนิโโคติน-แมกนีเซียมอะลูมิเนียมชิลิเกตที่เตรียมที่พีอช 9 ที่มีปริมาณนิโโคติน 5, 10 และ 15 มิลลิกรัมต่อเม็ด แสดงดังภาพที่ 19 ที่เวลา 480 นาที ยาเม็ดเมทริกซ์ที่มีนิโโคติน 5 มิลลิกรัมต่อเม็ด ปลดปล่อยยาออกมากที่สุดเท่ากับร้อยละ 88.07 ± 0.62 รองลงมาคือ ตัวรับที่มีนิโโคติน 10 และ 15 มิลลิกรัมต่อเม็ด ปลดปล่อยยาออกมาเท่ากับร้อยละ 83.05 ± 1.16 และ 75.17 ± 0.70 ตามลำดับ เมื่อวิเคราะห์ด้วยสมการ Power law (ตารางที่ 15) พบว่า ค่า release exponent (*n*) ของยาเม็ดเมทริกซ์ทุกตัวรับ มีค่าใกล้เคียง 1.0 และคงที่การปลดปล่อยยาจากยาเม็ดเมทริกซ์ควบคุมโดยกลไกการพองตัวและการกร่อนของ พอลิเมอร์ (case-II transport) การคำนวณหาอัตราเร็วในการปลดปล่อยนิโโคตินหมายถันสมการ Zero-order โดยมีค่า R^2 มากกว่า 0.99 (ตารางที่ 16) ที่ช่วยการปลดปล่อยยา 120 นาทีแรก ยาเม็ดเมทริกซ์ที่มีปริมาณนิโโคตินเพิ่มขึ้น มีอัตราการปลดปล่อยยาเพิ่มขึ้นอย่างมีนัยสำคัญ ($p < 0.05$) เป็นผลจากยาเม็ดเมทริกซ์มีความแตกต่าง ความเข้มข้น (concentration gradient) ของนิโโคตินสูงขึ้น (Martin, 1993) และยาเม็ดเมทริกซ์ตัวรับที่มีนิโโคตินมาก

ต้องใช้สารประกอบเชิงมากขึ้น ปริมาณ ไสครอกซีโพร์พิลเมทิลเซลลูโลสจึงลดลงตามสัดส่วน มีผลต่อการก่อตัว เป็นชั้นเจล จากคุณสมบัติของยาเม็ดเคมทริกซ์ ไสครอกซี โพร์พิลเมทิลเซลลูโลส เมื่อยาเม็ดสัมผัสตัวกลาง การละลาย พอลิเมอร์คุดน้ำแข็งสู่ภายในยาเม็ด เกิดการพองตัวและก่อตัวเป็นชั้นเจลบริเวณรอบยาเม็ด ทำหน้าที่ เป็นสิ่งกันการซึมผ่านของยาออกสู่ตัวกลางการละลาย (Sung et al., 1996) คำรับที่มีพอลิเมอร์ปริมาณมาก ก่อให้เกิดชั้นเจลที่หนาและมีความหนืดมาก มีผลต้านการแพร่ของยาและทำให้อัตราการปลดปล่อยยาลดลง (Cao et al., 2005; Narendra et al., 2005; Velasco et al., 1999)



ภาพที่ 19 การปลดปล่อยนิโคตินจากยาเม็ดเคมทริกซ์ ไสครอกซี โพร์พิลเมทิลเซลลูโลสเกรดความหนืด 50 เชนดิพอยส์ บรรจุสารประกอบเชิงช้อนนิโคติน-แมกนีเซียมอะลูมิเนียมชิลิคेटที่เตรียมที่พีเอช 9 และมีปริมาณนิโคติน 5 10 และ 15 มิลลิกรัมต่อเม็ด แต่ละค่าแสดงในรูปของค่าเฉลี่ย ± ส่วนเบี่ยงเบนมาตรฐาน จาก 3 ตัวอย่าง

3.2.2 ผลของชนิดของพอลิเมอร์ที่เป็นส่วนประกอบในตัวรับ

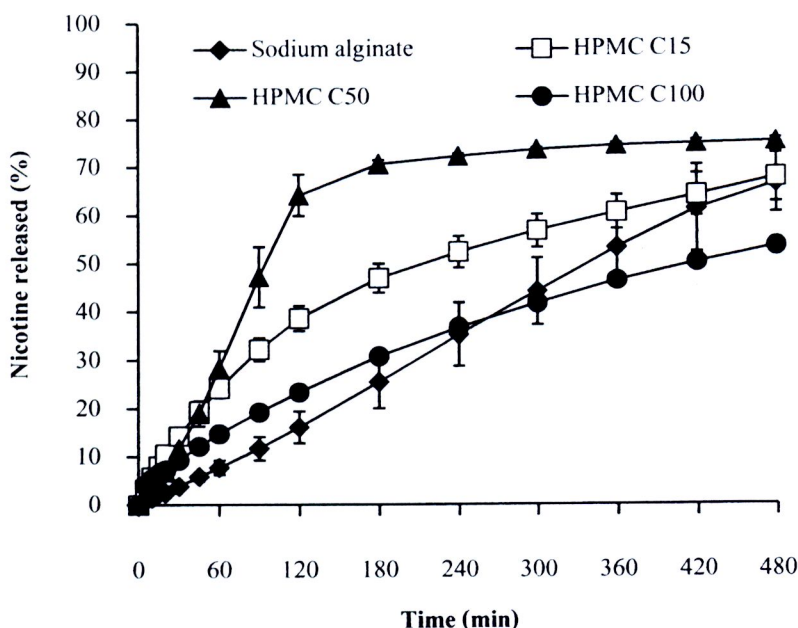
ยาเม็ดเคมทริกซ์ที่นำมาศึกษาผลของเกรดความหนืดของ ไสครอกซี โพร์พิลเมทิลเซลลูโลส เตรียมจากสารประกอบเชิงช้อนนิโคติน-แมกนีเซียมอะลูมิเนียมชิลิคेटที่เตรียมที่พีเอช 9 และมีปริมาณนิโคติน 15 มิลลิกรัมต่อเม็ด เปรียบเทียบการปลดปล่อยนิโคตินจากยาเม็ดเคมทริกซ์ที่ใช้ไสครอกซี โพร์พิลเมทิลเซลลูโลสเกรดความหนืดต่างกัน คือ 15 50 และ 100 เชนดิพอยส์ พนว่า ยาเม็ดเคมทริกซ์ที่ใช้ไสครอกซี โพร์พิลเมทิลเซลลูโลสเกรดความหนืด 15 50 และ 100 เชนดิพอยส์ ปลดปล่อยนิโคตินออกมากที่สุด ร้อยละ 67.72 ± 5.05 75.17 ± 0.70 และ 53.39 ± 0.64 ตามลำดับ (ภาพที่ 20) เมื่อพิจารณาค่า release exponent (n) จากสมการ Power law (ตารางที่ 15) พนว่า ค่า n ของยาเม็ดเคมทริกซ์ที่ใช้ไสครอกซี โพร์พิลเมทิลเซลลูโลสเกรดความหนืด 15 และ 100 เชนดิพอยส์ มีค่าใกล้เคียง 0.5 แสดงว่าการปลดปล่อยยาควบคุมโดยกลไกการแพร่ของยา (Fickian diffusion) ส่วนการปลดปล่อยยาจากยาเม็ดเคมทริกซ์ที่ใช้ไสครอกซี โพร์พิลเมทิลเซลลูโลสเกรดความหนืด 50 เชนดิพอยส์ ควบคุม

โดยกลไกการพองตัวและการกร่อนของพอลิเมอร์ (case-II transport) เห็นได้จากค่า k ไอกลีคียง 1.0 การคำนวณหาอัตราการปลดปล่อยยาจากยาเม็ดเมมทริกซ์ที่ใช้ไฮดรอกซิโพรัสพิลเมทิลเซลลูโลสเกรดความหนืด 15 และ 100 เชนดิพอยส์ หมายเหตุกับสมการ Higuchi โดยมีค่า R^2 มากกว่า 0.99 (ตารางที่ 16) ยาเม็ดเมมทริกซ์ที่ใช้ไฮดรอกซิโพรัสพิลเมทิลเซลลูโลสเกรดความหนืด 15 เชนดิพอยส์ มีอัตราการปลดปล่อยยาเร็วกว่ายาเม็ดเมมทริกซ์ที่ใช้เกรดความหนืด 100 เชนดิพอยส์ การใช้ไฮดรอกซิโพรัสพิลเมทิลเซลลูโลสชนิดที่มีความหนืดสูง ก่อให้เกิดชั้นเจลที่มีความหนืดมาก ส่งผลต่อการปลดปล่อยยาจากยาเม็ดเมมทริกซ์ที่ควบคุมการปลดปล่อยโดยกลไกการแพรวของยาเนื่องจากชั้นเจลที่เกิดขึ้นบริเวณรอบยาเม็ดทำหน้าที่เป็นสิ่งกั้นการแพรวของยา (Reynolds et al., 1998) ชั้นเจลที่มีความหนืดสูงกว่า มีผลต้านการแพรวผ่านของยามากกว่า แต่กรณีของยาเม็ดเมมทริกซ์ที่ใช้เกรดความหนืด 50 เชนดิพอยส์ พบว่า การคำนวณหาอัตราการปลดปล่อยยาโดยใช้สมการ Zero-order ให้ค่า R^2 ที่คึกคักกว่าใช้สมการ Higuchi (ตารางที่ 16)

จากคุณสมบัติของพอลิเมอร์ พบว่า ไฮดรอกซิโพรัสพิลเมทิลเซลลูโลสเกรดความหนืด 50 เชนดิพอยส์ มีความหนาแน่นน้อยกว่าเกรดความหนืด 15 เชนดิพอยส์ (ตารางที่ 17) เมื่อนำมาตอกอัดเป็นเม็ด จึงมีความพรุนภายนอกยาเม็ดมากกว่า มีผลต่ออัตราการซึมผ่านของน้ำ และทำให้ยาเม็ดเกิดการกร่อนໄดีเร็วขึ้น ส่งผลต่ออัตราเร็วในการปลดปล่อยยา เห็นได้ว่ายาเม็ดเมมทริกซ์ที่ใช้ไฮดรอกซิโพรัสพิลเมทิลเซลลูโลสเกรดความหนืด 50 เชนดิพอยส์ ควบคุมการปลดปล่อยโดยกลไกการพองตัวและการกร่อนของพอลิเมอร์ (case-II transport) ขนาดอนุภาคของพอลิเมอร์เป็นอีกปัจจัยหนึ่งที่มีผลต่ออัตราการปลดปล่อยยา อนุภาคของไฮดรอกซิโพรัสพิลเมทิลเซลลูโลสเกรดความหนืด 50 เชนดิพอยส์ มีขนาดเท่ากับ 75.73 ± 0.18 ไมครอน (ตารางที่ 17) ซึ่งมีขนาดเล็กกว่าอนุภาคของสารประกอบเชิงช้อนนิโโคคิน-แมกนีเซียมอะกูมินัลคลีเคต (94.03 ± 1.28 ไมครอน) เมื่อนำมาพسمกัน และตอกอัดเป็นเม็ด มีความเป็นไปได้ที่อนุภาคของไฮดรอกซิโพรัสพิลเมทิลเซลลูโลสเกรดความหนืด 50 เชนดิพอยส์ จะแทรกออกซ์ร์ระหว่างอนุภาคของสารประกอบเชิงช้อน เมื่อยาเม็ดเมมทริกซ์สัมผัสน้ำ จึงต้องใช้เวลานานเพื่อให้ตัวกลางการละลายแพร์เข้าสู่ภายในยาเม็ด และเกิดการพองตัวของพอลิเมอร์กลอยเป็นชั้นเจล ในช่วงแรกการปลดปล่อยยาจึงเป็นผลจากการกร่อนของยาเม็ด แตกต่างจากไฮดรอกซิโพรัสพิลเมทิลเซลลูโลสเกรดความหนืด 15 และ 100 เชนดิพอยส์ ที่มีขนาดอนุภาคใหญ่กว่า หรือไอกลีคียงกับขนาดของอนุภาคสารประกอบเชิงช้อน เมื่อยาเม็ดเมมทริกซ์สัมผัสด้วยกลางการละลาย พอลิเมอร์สามารถเกิดการพองตัวและแสดงคุณสมบัติการเป็นสิ่งกั้นໄดีเร็วกว่า อัตราการปลดปล่อยยาจึงช้ากว่า

เมื่อเปรียบเทียบการปลดปล่อยนิโโคคินจากยาเม็ดเมมทริกซ์ที่ใช้ไฮดรอกซิโพรัสพิลเมทิลเซลลูโลสเกรดความหนืด 15 และ 100 เชนดิพอยส์ กับยาเม็ดเมมทริกซ์โซเดียมอัลจิเนตที่เตรียมจากสารประกอบเชิงช้อนที่เตรียมที่พีเอช 9 และมีปริมาณนิโโคคิน 15 มิลลิกรัมต่อมี็ด (ภาพที่ 20) พบว่า มีรูปแบบการปลดปล่อยยาแตกต่างกัน การปลดปล่อยยาจากยาเม็ดเมมทริกซ์ไฮดรอกซิโพรัสพิลเมทิลเซลลูโลส ควบคุมโดยกลไกการแพร์ของยา (Fickian diffusion) เมื่อยาเม็ดเมมทริกซ์สัมผัสด้วยกลางการละลายและเกิดการพองตัวของพอลิเมอร์ นิโโคคินเกิดการปลดปล่อยจากยาเม็ดโดยการแพร์ผ่านชั้นเจลที่เกิดขึ้น ความหนืดของพอลิเมอร์มีผลต่อความสามารถในการปลดปล่อยยาจากยาเม็ดเมมทริกซ์ (Campos-Aldrete and Villafuerte-Robles, 1997; Cheong et al., 1992; Sung et al., 1996) พอลิเมอร์ที่มีความหนืดมาก ก่อให้เกิดชั้นเจลที่มีความหนามากกว่า ส่งผลต่ออัตราเร็วในการปลดปล่อยยา ยาเม็ดเมมทริกซ์ที่ใช้โซเดียมอัลจิเนตที่มีความหนืดสูง (ตารางที่ 18) จึงเกิดการปลดปล่อยยาช้ากว่า

และจะเห็นว่า การปลดปล่อยยาจากยาเม็ดเมทริกซ์โซเดียมอัลจิเนตควบคุมโดยกลไกการพองตัวและการกร่อนของพอลิเมอร์ (case-II transport) เป็นผลเนื่องจากคุณสมบัติของโซเดียมอัลจิเนต ที่มีหมู่ไสocranohexyl และหมู่คาร์บอฟิลที่สามารถเกิดอันตรารถข้ากันหมู่อื่นของนิโโคตินได้ โดยการเกิดแรงดึงดูดระหว่างประจุ และพันธะไฮโดรเจน (Pongjanyakul and Suksri, 2009) ส่งผลให้การปลดปล่อยยาเกิดช้าลง และมีการศึกษาพบว่า พอลิเมอร์ที่มีประจุลบ เกิดอันตรารถข้ากันตัวยาสำคัญที่มีประจุบวกได้ ส่งผลให้อัตราการปลดปล่อยยาจาก เมทริกซ์ลดลง (Takka, 2003; Takka et al., 2001) การปลดปล่อยนิโโคตินจึงขึ้นกับการกร่อนของพอลิเมอร์เป็นหลัก (ค่า k_f ใกล้เคียง 1.0) นอกจากนี้โซเดียมอัลจิเนตยังสามารถเกิดอันตรารถข้ากันแมgnesiuncliteได้ โดยการเกิดพันธะไฮโดรเจน ส่งผลต่อความสามารถในการพองตัวของสายพอลิเมอร์ (Pongjanyakul and Suksri, 2009) จึงมีผลต่อการปลดปล่อยยาจากยาเม็ดเมทริกซ์



ภาพที่ 20 การปลดปล่อยนิโโคตินจากยาเม็ดเมทริกซ์บรรจุสารประกอบเชิงช้อนนิโโคติน-แมgnesiuncliteที่มีปริมาณนิโโคติน 15 มิลลิกรัมต่อมีด ที่ใช้พอลิเมอร์ชนิดต่างกัน แต่ละค่าแสดงในรูปของค่าเฉลี่ย \pm ส่วนเบี่ยงเบนมาตรฐาน จาก 3 ตัวอย่าง

ตารางที่ 15 พารามิเตอร์จากสมการของ Power law ของการปลดปล่อยนิโคตินจากยาเม็ดเมมทริกซ์บรรจุสารประกอบเชิงช้อนนิโคติน-แมกนีเซียมอะลูมิเนียมซิลิเกตที่เตรียมที่พีเอช 9 ที่ใช้ พอลิเมอร์ชนิดต่างกัน

	$k \times 10^3 (\text{min}^{-n})$	R^2	n
ยาเม็ดเมมทริกซ์ไชครอคซ์โพร์พิลเมทิลเซลลูโลส			
เกรดความหนืด 50 เชนติพอยส์			
- ปริมาณนิโคติน 5 มิลลิกรัมต่อมีด	3.58 ± 0.64	0.990	0.96 ± 0.03
- ปริมาณนิโคติน 10 มิลลิกรัมต่อมีด	1.49 ± 0.61	0.999	1.21 ± 0.08
- ปริมาณนิโคติน 15 มิลลิกรัมต่อมีด	1.96 ± 0.26	0.995	1.21 ± 0.06
เกรดความหนืด 15 เชนติพอยส์			
- ปริมาณนิโคติน 15 มิลลิกรัมต่อมีด	10.01 ± 2.07	0.996	0.77 ± 0.05
เกรดความหนืด 100 เชนติพอยส์			
- ปริมาณนิโคติน 15 มิลลิกรัมต่อมีด	12.38 ± 2.50	0.991	0.61 ± 0.05
ยาเม็ดเมมทริกซ์โซเดียมอัลจิเนต			
- ปริมาณนิโคติน 15 มิลลิกรัมต่อมีด	1.26 ± 0.16	0.995	1.02 ± 0.04

แต่ละค่าแสดงในรูปของค่าเฉลี่ย \pm ส่วนเบี่ยงเบนมาตรฐาน จาก 3 ตัวอย่าง

ตารางที่ 16 อัตราการปลดปล่อยนิโโคตินจากสมการ Zero-order และ Higuchi จากยาเม็ดเคมทริกซ์บราวน์ส์ สารประกอบเชิงชั้อนนิโโคติน-แมกนีเซียมอะลูมิnumซิลิคัตที่เตรียมที่พีเอช 9 ที่ใช้พอลิเมอร์ชนิดต่างกัน

	Zero-order		Higuchi model	
	$K_0 (\% \text{ min}^{-1})$	R^2	$K_H (\% \text{ min}^{-0.5})$	R^2
ยาเม็ดเคมทริกซ์ไ媳ครอกซ์ไพรพิลเมทิลเซลลูโลส				
เกรดความหนืด 50 เชนติพอยส์				
- ปริมาณนิโโคติน 5 มิลลิกรัมต่อเม็ด	0.28 ± 0.02	0.990	3.57 ± 0.25	0.930
- ปริมาณนิโโคติน 10 มิลลิกรัมต่อเม็ด	0.40 ± 0.03	0.990	5.11 ± 0.43	0.923
- ปริมาณนิโโคติน 15 มิลลิกรัมต่อเม็ด	0.55 ± 0.05	0.992	7.14 ± 0.72	0.929
เกรดความหนืด 15 เชนติพอยส์				
- ปริมาณนิโโคติน 15 มิลลิกรัมต่อเม็ด	0.21 ± 0.01	0.939	3.84 ± 0.25	0.995
เกรดความหนืด 100 เชนติพอยส์				
- ปริมาณนิโโคติน 15 มิลลิกรัมต่อเม็ด	0.11 ± 0.01	0.972	2.63 ± 0.05	0.996
ยาเม็ดเคมทริกซ์โซเดียมอัลจิเนต				
- ปริมาณนิโโคติน 15 มิลลิกรัมต่อเม็ด	0.15 ± 0.02	0.999	3.42 ± 0.47	0.953

แต่ละค่าแสดงในรูปของค่าเฉลี่ย \pm ส่วนเบี่ยงเบนมาตรฐาน จาก 3 ตัวอย่าง

ตารางที่ 17 ขนาดอนุภาค และความหนาแน่นของไชครอคซีโพร์พิลเมทิลเซลลูโลสชนิดต่างๆ

ชนิดพอลิเมอร์	ขนาดอนุภาค (ไมครอน)	Bulk density (g/cm ³)	Tapped density (g/cm ³)
ไชครอคซีโพร์พิลเมทิลเซลลูโลส			
- เกรดความหนืด 15 เซนติพอยส์	106.84 ± 3.09	0.50 ± 0.01	0.62 ± 0.01
- เกรดความหนืด 50 เซนติพอยส์	75.73 ± 0.18	0.33 ± 0.01	0.49 ± 0.01
- เกรดความหนืด 100 เซนติพอยส์	96.16 ± 1.27	0.34 ± 0.01	0.48 ± 0.01

แต่ละค่าแสดงในรูปของค่าเฉลี่ย ± ส่วนเบี่ยงเบนมาตรฐาน จาก 3 ตัวอย่าง

ตารางที่ 18 ความหนืดของพอลิเมอร์ชนิดต่างๆ ความเข้มข้นร้อยละ 2 โดยน้ำหนักต่อปริมาตร (2 %w/v)
ที่อุณหภูมิ 32 องศาเซลเซียส

ชนิดพอลิเมอร์	ความหนืด (เซนติพอยส์)
ไชครอคซีโพร์พิลเมทิลเซลลูโลส	
- เกรดความหนืด 15 เซนติพอยส์	7.80 ± 0.02
- เกรดความหนืด 50 เซนติพอยส์	24.00 ± 0.01
- เกรดความหนืด 100 เซนติพอยส์	52.24 ± 0.01
โซเดียมอัลจิเนต	793.34 ± 0.08

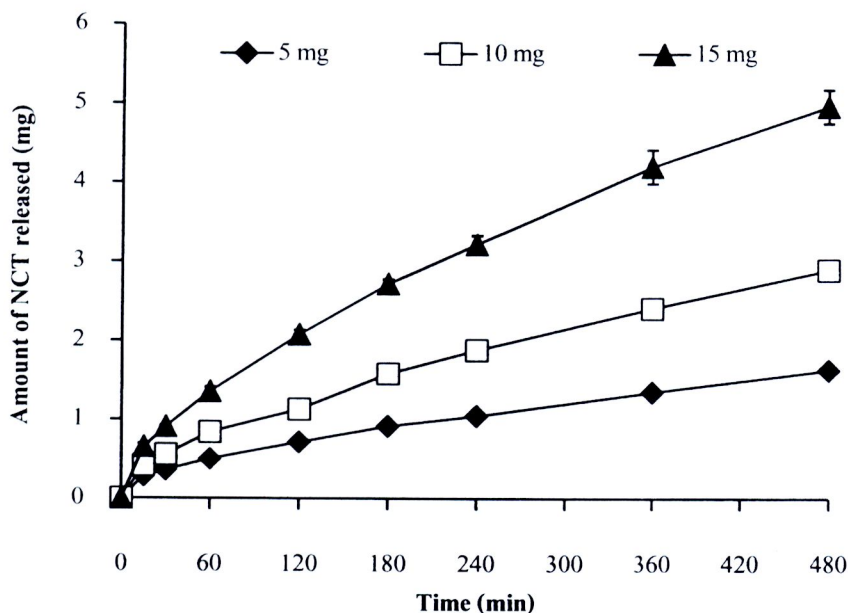
แต่ละค่าแสดงในรูปของค่าเฉลี่ย ± ส่วนเบี่ยงเบนมาตรฐาน จาก 3 ตัวอย่าง

3.3 การปลดปล่อยนิโโคตินจากยาเม็ดเมทริกซ์ไฮดรอกซีโพรพิลเมทิลเซลลูโลส บรรจุสารประกอบเชิงช้อนนิโโคติน-แมกนีเซียมอะลูมิnumชิลิคต ผ่านเนมเมเบرنเซลลูโลสอะซีเตต

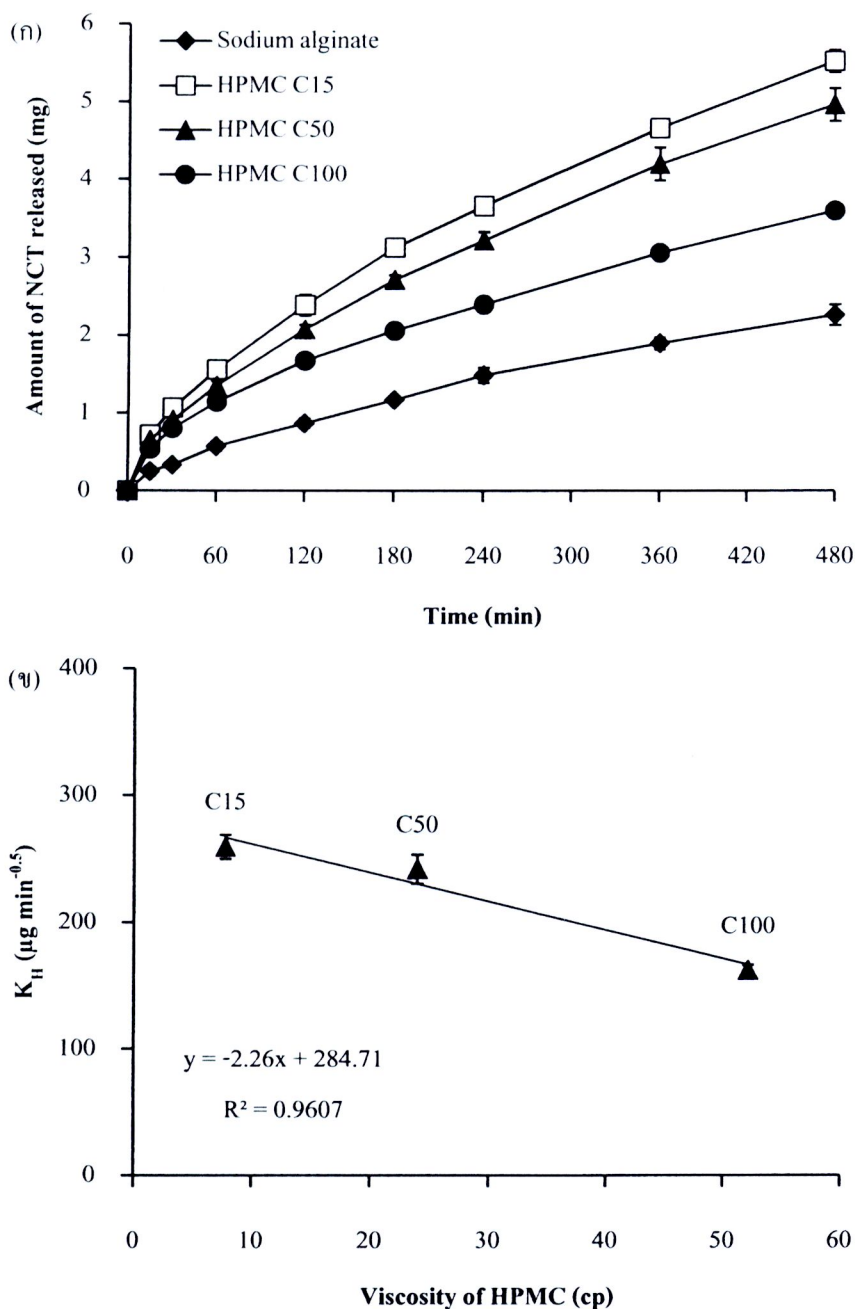
ผลการศึกษาการปลดปล่อยนิโโคตินจากยาเม็ดเมทริกซ์ที่ใช้ไฮดรอกซีโพรพิลเมทิลเซลลูโลสเกรดความหนืด 50 เชนติพอยส์ ที่มีปริมาณนิโโคตินแตกต่างกัน ผ่านเนมเมเบرنเซลลูโลสอะซีเตตขนาดรูปัณฑุ 0.45 ไมครอน แสดงดังภาพที่ 21 ที่เวลา 480 นาที ยาเม็ดเมทริกซ์ที่มีปริมาณนิโโคติน 15 มิลลิกรัมต่อเม็ด ปลดปล่อยนิโโคตินได้สูงสุดเท่ากับ 4.97 ± 0.21 มิลลิกรัม เมื่อพิจารณาค่า release exponent (n) จากสมการ Power law พบว่า มีค่าใกล้เคียง 0.5 (ตารางที่ 19) แสดงว่าการปลดปล่อยยาจากยาเม็ดเมทริกซ์ควบคุมโดยกลไกการแพร่ของยา (Fickian diffusion) การคำนวณอัตราการปลดปล่อยยาหมายกับสมการ Higuchi ($R^2 > 0.98$) อัตราการปลดปล่อยนิโโคตินสูงขึ้น เมื่อยาเม็ดเมทริกซ์มีปริมาณนิโโคตินเพิ่มขึ้น (ตารางที่ 20) เป็นผลจากความแตกต่างความเข้มข้น (concentration gradient) ของนิโโคติน (Martin, 1993) และสัดส่วนระหว่างสารประกอบเชิงช้อนนิโโคติน-แมกนีเซียมอะลูมิnumชิลิคต และไฮดรอกซีโพรพิลเมทิลเซลลูโลส ดัง ได้กล่าวในหัวข้อ 3.2.1

เกรดความหนืดของไฮดรอกซีโพรพิลเมทิลเซลลูโลส มีผลต่อการปลดปล่อยนิโโคตินจากยาเม็ดเมทริกซ์แตกต่างกัน (ภาพที่ 22 ก) ยาเม็ดเมทริกซ์ที่ใช้ไฮดรอกซีโพรพิลเมทิลเซลลูโลสเกรดความหนืด 15 เชนติพอยส์ มีนิโโคตินผ่านเนมเมเบرن ได้ปริมาณมากที่สุดเท่ากับ 5.53 ± 0.14 มิลลิกรัม รองลงมาคือ ยาเม็ดเมทริกซ์ที่ใช้เกรดความหนืด 50 และ 100 เชนติพอยส์ ตามลำดับ ค่า release exponent (n) จากสมการ Power law มีค่าใกล้เคียง 0.5 (ตารางที่ 19) แสดงว่าการปลดปล่อยยาจากยาเม็ดเมทริกซ์ควบคุมโดยกลไกการแพร่ของยา (Fickian diffusion) การคำนวณอัตราการปลดปล่อยยาหมายกับสมการ Higuchi ($R^2 > 0.98$) ยาเม็ดเมทริกซ์ที่ใช้ไฮดรอกซีโพรพิลเมทิลเซลลูโลสเกรดความหนืด 15 เชนติพอยส์ มีอัตราการปลดปล่อยยาสูงสุดเท่ากับ $259.60 \pm 9.61 \mu\text{g min}^{-0.5}$ รองลงมาคือ ยาเม็ดเมทริกซ์ที่ใช้เกรดความหนืด 50 และ 100 เชนติพอยส์ ตามลำดับ ความสัมพันธ์ระหว่างความหนืดของพอลิเมอร์กับอัตราการปลดปล่อยยาเป็นเส้นตรงด้วยค่า R^2 มากกว่า 0.96 (ภาพที่ 22 ข) อัตราการปลดปล่อยนิโโคตินจากยาเม็ดเมทริกซ์ลดลง เมื่อความหนืดของพอลิเมอร์เพิ่มขึ้น และเมื่อเกรดยนที่เทียบกับการปลดปล่อยยาจากยาเม็ดเมทริกซ์โดยเดียมอัลจินेट พบร้า ยาเม็ดเมทริกซ์โดยเดียมอัลจินेट มีอัตราการปลดปล่อยยาต่ำที่สุดเท่ากับ $109.77 \pm 5.20 \mu\text{g min}^{-0.5}$ (ตารางที่ 21) อัตราการปลดปล่อยยาที่แตกต่างกัน เป็นผลจากความหนืดที่แตกต่างกันของพอลิเมอร์ (Campos-Aldrete and Villafuerte-Robles, 1997; Cheong et al., 1992; Sung et al., 1996)

การปลดปล่อยนิโโคตินจากยาเม็ดเมทริกซ์ผ่านเนมเมเบرن แตกต่างจากการปลดปล่อยยาจากยาเม็ดเมทริกซ์ทั้งเม็ด ยาเม็ดเมทริกซ์ดำรับเดียวกัน มีกลไกควบคุมการปลดปล่อยยาแตกต่างกัน เนื่น ได้จากค่า release exponent (n) ของยาเม็ดเมทริกซ์ที่เปลี่ยนแปลง (ภาพที่ 23) ยาเม็ดเมทริกซ์ทุกดำรับ มีค่า n ลดลงใกล้เคียง 0.5 เป็นผลจากสภาวะที่ทำการศึกษาแตกต่างกัน ยาเม็ดเมทริกซ์ที่ศึกษาการปลดปล่อยยาทั้งเม็ด สัมผัสตัวกลางการละลายปริมาณมาก ส่งผลให้พอลิเมอร์เกิดการพองตัว คลายตัวและเกิดการกร่อน เนื่น ได้จากการปลดปล่อยยาที่ควบคุมโดยการพองตัวและการกร่อนของพอลิเมอร์ ส่วนยาเม็ดเมทริกซ์ที่ศึกษาการปลดปล่อยยาผ่านเนมเมเบرن สัมผัสตัวกลางการละลายเพียงเล็กน้อย ก่อให้เกิดชั้นเจลที่หนา การซึมผ่านของนิโโคตินอาศัยการแพร่ผ่านชั้นเจลที่เกิดขึ้น



ภาพที่ 21 การปลดปล่อยนิโคตินผ่านเยื่อบุหลอดสูบซึ่งเต็มขนาดครึ่ง 0.45 ไม้คร่อน ของยาเม็ด เมมทริกซ์ไไฮดรอกซ์ไพรพิลเมทิลเซลลูโลสเกรดความหนืด 50 เชนติพอยต์ บรรจุสารประกอบ เชิงชี้อนนิโกรดิน-แมกนีเซียมอะลูมิเนียมซิลิเกตที่เตรียมที่พีเอช 9 และมีปริมาณนิโคตินต่างกัน แต่ละค่าแสดงในรูปของค่าเฉลี่ย ± ส่วนเบี่ยงเบนมาตรฐาน จาก 3 ตัวอย่าง



ภาพที่ 22 รูปแบบการปลดปล่อยนิโคติน (ก) และอัตราการปลดปล่อยนิโคตินจากสมการ Higuchi (ข) ของการปลดปล่อยยาผ่านเยื่อบุโพรง⿳หลอดสีเหลืองขนาด Ø 0.45 ไมครอน จากยาเม็ดเมทริกซ์บรรจุสารประกันเชิงช้อนนิโคติน-แมกนีเซียมอะลูมิเนียมซิลิเกตที่เตรียมที่พีเอช 9 ที่เตรียมจากพอลิเมอร์ค่างชนิดกัน (ปริมาณนิโคติน 15 มิลลิกรัมต่อเม็ด) แต่ละค่าแสดงในรูปของค่าเฉลี่ย ± ส่วนเบี่ยงเบนมาตรฐาน จาก 3 ตัวอย่าง

ตารางที่ 19 พารามิเตอร์จากสมการของ Power law ของการปลดปล่อยนิโคตินผ่านเมมเบรนเซลล์โลสโซะซีเตต ขนาดรูปแบบ 0.45 ไมครอน ของยาเม็ดเมทริกซ์บรรจุสารประกอบเชิงชั้นนิโคติน-แมกนีเซียม อะลูมิเนียมชิลิคेट ที่เตรียมที่พีโอช 9 ที่ใช้พอลิเมอร์ต่างชนิดกัน

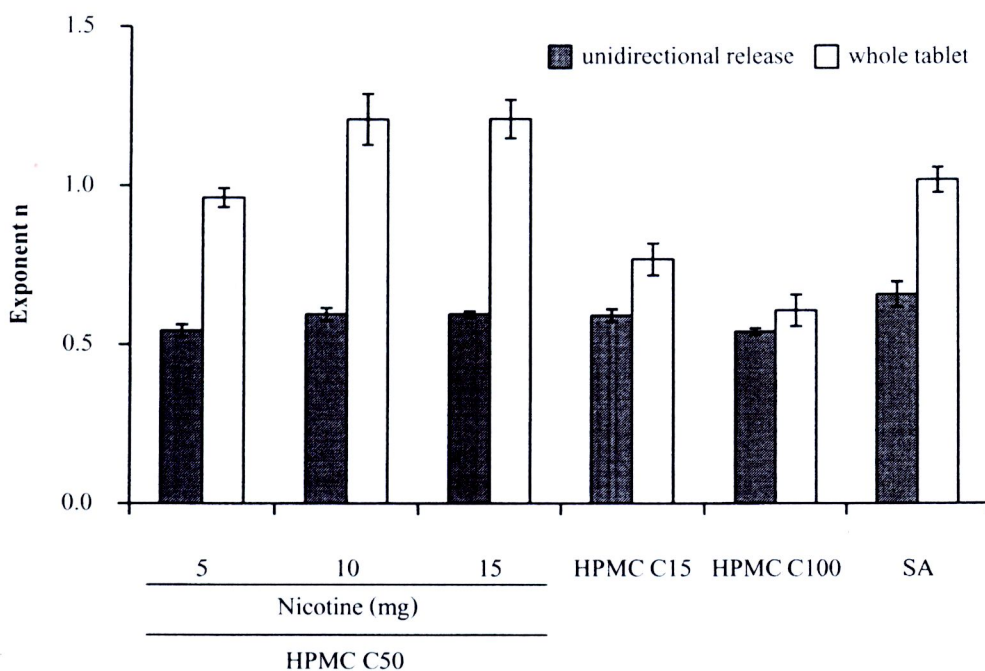
	$k \times 10^3 (\text{min}^{-n})$	R^2	n
ยาเม็ดเมทริกซ์ไสครอกซ์โพร์พิดเมทิลเซลล์โลส			
เกรดความหนืด 50 เชนติพอยส์			
- ปริมาณนิโคติน 5 มิลลิกรัมต่อเม็ด	10.10 ± 1.15	0.996	0.54 ± 0.02
- ปริมาณนิโคติน 10 มิลลิกรัมต่อเม็ด	6.60 ± 0.39	0.989	0.60 ± 0.02
- ปริมาณนิโคติน 15 มิลลิกรัมต่อเม็ด	7.63 ± 0.41	0.997	0.60 ± 0.01
เกรดความหนืด 15 เชนติพอยส์			
- ปริมาณนิโคติน 15 มิลลิกรัมต่อเม็ด	8.81 ± 0.65	0.999	0.59 ± 0.02
เกรดความหนืด 100 เชนติพอยส์			
- ปริมาณนิโคติน 15 มิลลิกรัมต่อเม็ด	8.25 ± 0.68	0.998	0.54 ± 0.01
ยาเม็ดเมทริกซ์โซเดียมอัลจิเนต			
- ปริมาณนิโคติน 15 มิลลิกรัมต่อเม็ด	2.45 ± 0.65	0.993	0.66 ± 0.04

แต่ละค่าแสดงในรูปของค่าเฉลี่ย \pm ส่วนเบี่ยงเบนมาตรฐาน จาก 3 ตัวอย่าง

ตารางที่ 20 อัตราการปลดปล่อยนิโโคตินผ่านเยมมบวนเซลลูโลสอะซีเตตขนาดครูพรุน 0.45 ไมครอน จากสมการ Zero-order และ Higuchi ของยาเม็ดเมทริกซ์บรรจุสารประกอบเชิงช้อนนิโโคติน-แมกนีเซียม อะลูมิնัมชิลิเคตที่เตรียมที่พีเอช 9 ที่ใช้พอลิเมอร์ต่างชนิดกัน

	Zero-order		Higuchi model	
	$K_0 (\mu\text{g min}^{-1})$	R^2	$K_H (\mu\text{g min}^{-0.5})$	R^2
ยาเม็ดเมทริกซ์ไฮดรอกซีโพธพิเมทิลเซลลูโลส				
เกรดความหนืด 50 เซนติพอยส์				
- ปริมาณนิโโคติน 5 มิลลิกรัมต่อเม็ด	2.83 ± 0.15	0.970	74.28 ± 1.89	0.990
- ปริมาณนิโโคติน 10 มิลลิกรัมต่อเม็ด	5.39 ± 0.20	0.983	138.30 ± 4.55	0.988
- ปริมาณนิโโคติน 15 มิลลิกรัมต่อเม็ด	9.54 ± 0.46	0.979	242.13 ± 11.47	0.994
เกรดความหนืด 15 เซนติพอยส์				
- ปริมาณนิโโคติน 15 มิลลิกรัมต่อเม็ด	10.57 ± 0.36	0.973	259.60 ± 9.61	0.994
เกรดความหนืด 100 เซนติพอยส์				
- ปริมาณนิโโคติน 15 มิลลิกรัมต่อเม็ด	6.61 ± 0.15	0.973	162.20 ± 4.18	0.993
ยาเม็ดเมทริกซ์โซเดียมอัลจิเนต				
- ปริมาณนิโโคติน 15 มิลลิกรัมต่อเม็ด	4.51 ± 0.23	0.979	109.77 ± 5.20	0.986

แต่ละค่าแสดงในรูปของค่าเฉลี่ย \pm ส่วนเบี่ยงเบนมาตรฐาน จาก 3 ตัวอย่าง



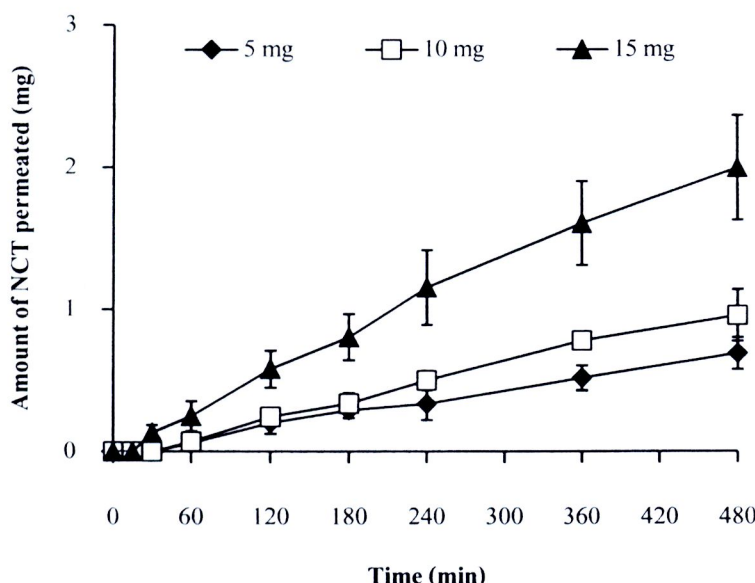
ภาพที่ 23 ค่า release exponent (n) ของการปลดปล่อยนิโคตินผ่านเมมเบรนเซลล์โลสโซซีเดต ขนาดครูพรุน 0.45 ไมครอน (unidirectional release) และการปลดปล่อยนิโคตินจากยาเม็ดเมทริกซ์ทั้งเม็ด (whole tablet) ของยาเม็ดเมทริกซ์บรรจุสารประกอบเชิงช่องนิโคติน-แมกนีเซียมอะลูминัมซิลิเกตที่เตรียมที่พื้นที่ 9 เมตรละค่าและในรูปของค่าเฉลี่ย \pm ส่วนเบี่ยงเบนมาตรฐาน จาก 3 ตัวอย่าง

3.4 การซึมผ่านเยื่อเมือกหลอดอาหารหมูของนิโโคตินจากยาเม็ดเมทิริกซ์ไ媳ครอกซ์โพรพิลเมทิลเชลูลูโลสบรรจุสารประกอบเชิงช้อนนิโโคติน-แมกนีเซียมอะลูมิเนียมชิลิเกต

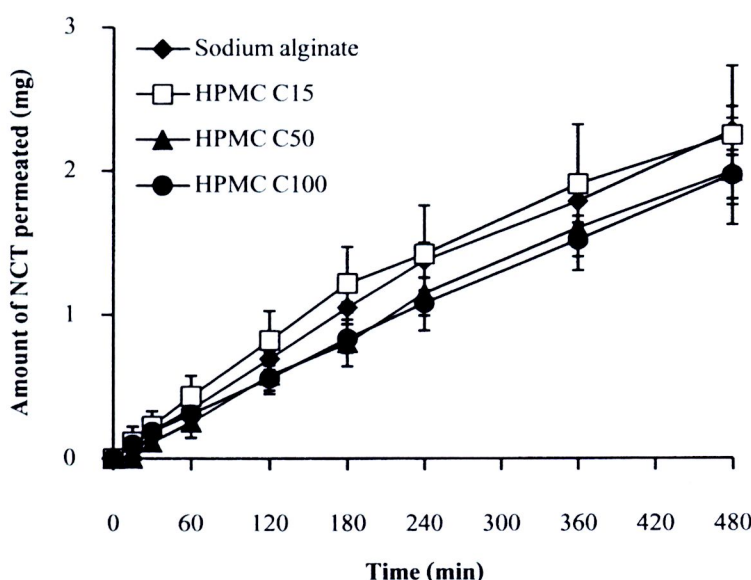
ผลการศึกษาการซึมผ่านเยื่อเมือกหลอดอาหารหมูของนิโโคติน จากยาเม็ดเมทิริกซ์ไ媳ครอกซ์โพรพิลเมทิลเชลูลูโลสเกรดความหนืด 50 เช่นเดียวกับที่มีปริมาณนิโโคติน 5, 10 และ 15 มิลลิกรัมต่อเม็ด และคงดังภาพที่ 24 การซึมผ่านของนิโโคตินเพิ่มขึ้น เมื่อปริมาณนิโโคตินในตัวรับเพิ่มขึ้น ยาเม็ดเมทิริกซ์ที่มีปริมาณนิโโคติน 15 มิลลิกรัมต่อเม็ด มีนิโโคตินที่ผ่านเยื่อเมือกได้มากที่สุดเท่ากับ 1.99 ± 0.37 มิลลิกรัม อัตราการซึมผ่านของนิโโคตินที่คำนวณจากสมการ Zero-order ให้ค่า R^2 ที่ดีกว่าการคำนวณจากสมการ Higuchi และคงว่า เยื่อเมือกหลอดอาหารหมูมีผลต่อการซึมผ่านเยื่อเมือกของนิโโคตินมากกว่ายาเม็ดเมทิริกซ์ อัตราการซึมผ่านเยื่อเมือกของยาเม็ดเมทิริกซ์ตัวรับที่มีปริมาณนิโโคติน 15 มิลลิกรัมต่อเม็ดมีค่ามากที่สุด เท่ากับ $4.33 \pm 0.75 \mu\text{g min}^{-1}$ รองลงมาคือตัวรับที่มีนิโโคติน 10 และ 5 มิลลิกรัม ตามลำดับ (ตารางที่ 21)

สำหรับยาเม็ดเมทิริกซ์ที่มีปริมาณนิโโคติน 15 มิลลิกรัมต่อเม็ด ที่เตรียมจากโพลิเมอร์ค่างชนิดกันพบว่า อัตราการซึมผ่านเยื่อเมือกหลอดอาหารหมูจากสมการ Higuchi ของยาเม็ดเมทิริกซ์แต่ละตัวรับ ไม่มีความแตกต่างที่มีนัยสำคัญ ($p > 0.05$) (ตารางที่ 21) แต่พบว่ายาเม็ดเมทิริกซ์ที่เตรียมจากไ媳ครอกซ์โพรพิลเมทิลเชลูลูโลสเกรดความหนืด 50 และ 100 เช่นเดียวกับที่มีรูปแบบการซึมผ่านเหมาะกับสมการ Zero-order มากกว่า ($R^2 > 0.99$) และคงว่า ปัจจัยที่เป็นตัวกำหนดการซึมผ่านของยา คือ เยื่อเมือกหลอดอาหารหมู ส่วนยาเม็ดเมทิริกซ์ที่เตรียมจากเกรดความหนืด 15 เช่นเดียวกับที่มีรูปแบบการซึมผ่าน夷อเมือกของนิโโคตินมากกว่า ($R^2 > 0.99$) และคงว่า ยาเม็ดเมทิริกซ์มีผลควบคุมการซึมผ่าน夷อเมือกของนิโโคตินมากกว่า

เมื่อเปรียบเทียบระหว่างอัตราการซึมผ่าน夷อเมือกหลอดอาหารหมู และอัตราการปลดปล่อยยาผ่าน membrane เชลูลูโลสอะซีเตตของยาเม็ดเมทิริกซ์ไ媳ครอกซ์โพรพิลเมทิลเชลูลูโลสตัวรับเดียวกัน ที่คำนวณจากสมการ Higuchi (ภาพที่ 26) พบว่า อัตราการซึมผ่าน夷อเมือกของนิโโคติน ซึ่งกว่าอัตราการปลดปล่อยยาผ่าน membrane ทุกด้ำรับ แตกต่างจากยาเม็ดเมทิริกซ์ไ媳เดียมอัลจิเนต ที่การซึมผ่าน夷อเมือกของนิโโคติน เกิดได้ดีกว่าการปลดปล่อยผ่าน membrane เชลูลูโลสอะซีเตต เป็นผลจากข้อจำกัดเรื่องปริมาณตัวกลางการละลายที่อยู่ในส่วนใหญ่ที่มีผลต่อความสามารถในการพองตัวของยาเม็ดเมทิริกซ์ไ媳เดียมอัลจิเนต เนื่องจากเป็นโพลิเมอร์ที่มีค่าความหนืดสูงมาก เมื่อเปรียบเทียบกับไ媳ครอกซ์โพรพิลเมทิลเชลูลูโลสที่มีค่าความหนืดน้อยกว่า จึงไม่ส่งผลต่อการพองตัวเป็นชั้นเจลของโพลิเมอร์



ภาพที่ 24 การซึมผ่านเยื่อเมือกหลอดอาหารหมูของนิโคติน จากยาเม็ดเมมทริกซ์ไอลรอกซ์โพร์พิลเมทิล เชลูลูโลสเกรดความหนืด 50 เซนติพอยส์ บรรจุสารประกอบเชิงช้อนนิโคติน-แมกนีเซียมอะลูมิնัม ชิลิเกตที่เตรียมที่พีเอช 9 ที่มีปริมาณนิโคตินแตกต่างกัน แต่ละค่าแสดงในรูปของค่าเฉลี่ย ± ส่วนเบี่ยงเบนมาตรฐาน จาก 3 ตัวอย่าง

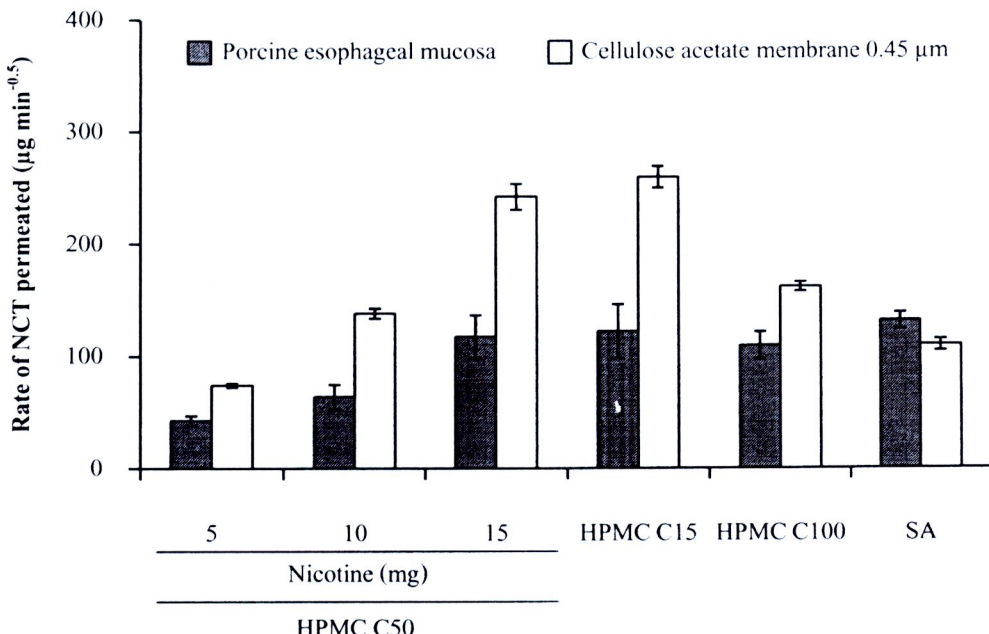


ภาพที่ 25 การซึมผ่านเยื่อเมือกหลอดอาหารหมูของนิโคตินจากยาเม็ดเมมทริกซ์ บรรจุสารประกอบเชิงช้อน นิโคติน-แมกนีเซียมอะลูมิնัมชิลิเกตที่เตรียมที่พีเอช 9 ที่มีปริมาณนิโคติน 15 มิลลิกรัมต่อเม็ด และเตรียมจากพอลิเมอร์ต่างชนิดกัน แต่ละค่าแสดงในรูปของค่าเฉลี่ย ± ส่วนเบี่ยงเบนมาตรฐาน จาก 3 ตัวอย่าง

ตารางที่ 21 อัตราการปลดปล่อยนิโคตินผ่านเยื่อเมือกหลอดอาหารหมู จากสมการ Zero-order และ Higuchi ของยาเม็ดเมทริกซ์บรรจุสารประภากอนชิงช้อนนิโคติน-แมกนีเซียมอะลูมิเนียมซิลิเกต ที่เตรียมที่พิอช 9 ที่ใช้พอลิเมอร์ต่างชนิดกัน

	Zero-order		Higuchi model	
	$K_0 (\mu\text{g min}^{-1})$	R^2	$K_H (\mu\text{g min}^{-0.5})$	R^2
ยาเม็ดเมทริกซ์ไอกรอกซ์โพร์พิลเมทิลเซลลูโลส				
เกรดความหนืด 50 เซนติพอยส์				
- ปริมาณนิโคติน 5 มิลลิกรัมต่อเม็ด	1.49 ± 0.22	0.982	42.83 ± 4.33	0.979
- ปริมาณนิโคติน 10 มิลลิกรัมต่อเม็ด	2.16 ± 0.33	0.982	63.96 ± 11.04	0.971
- ปริมาณนิโคติน 15 มิลลิกรัมต่อเม็ด	4.33 ± 0.75	0.990	117.27 ± 19.39	0.985
เกรดความหนืด 15 เซนติพอยส์				
- ปริมาณนิโคติน 15 มิลลิกรัมต่อเม็ด	4.66 ± 0.92	0.969	122.10 ± 24.24	0.993
เกรดความหนืด 100 เซนติพอยส์				
- ปริมาณนิโคติน 15 มิลลิกรัมต่อเม็ด	3.96 ± 0.49	0.997	109.32 ± 12.33	0.978
ยาเม็ดเมทริกซ์โซเดียมอลิจีเนต				
- ปริมาณนิโคติน 15 มิลลิกรัมต่อเม็ด	4.88 ± 0.30	0.980	131.57 ± 7.37	0.993

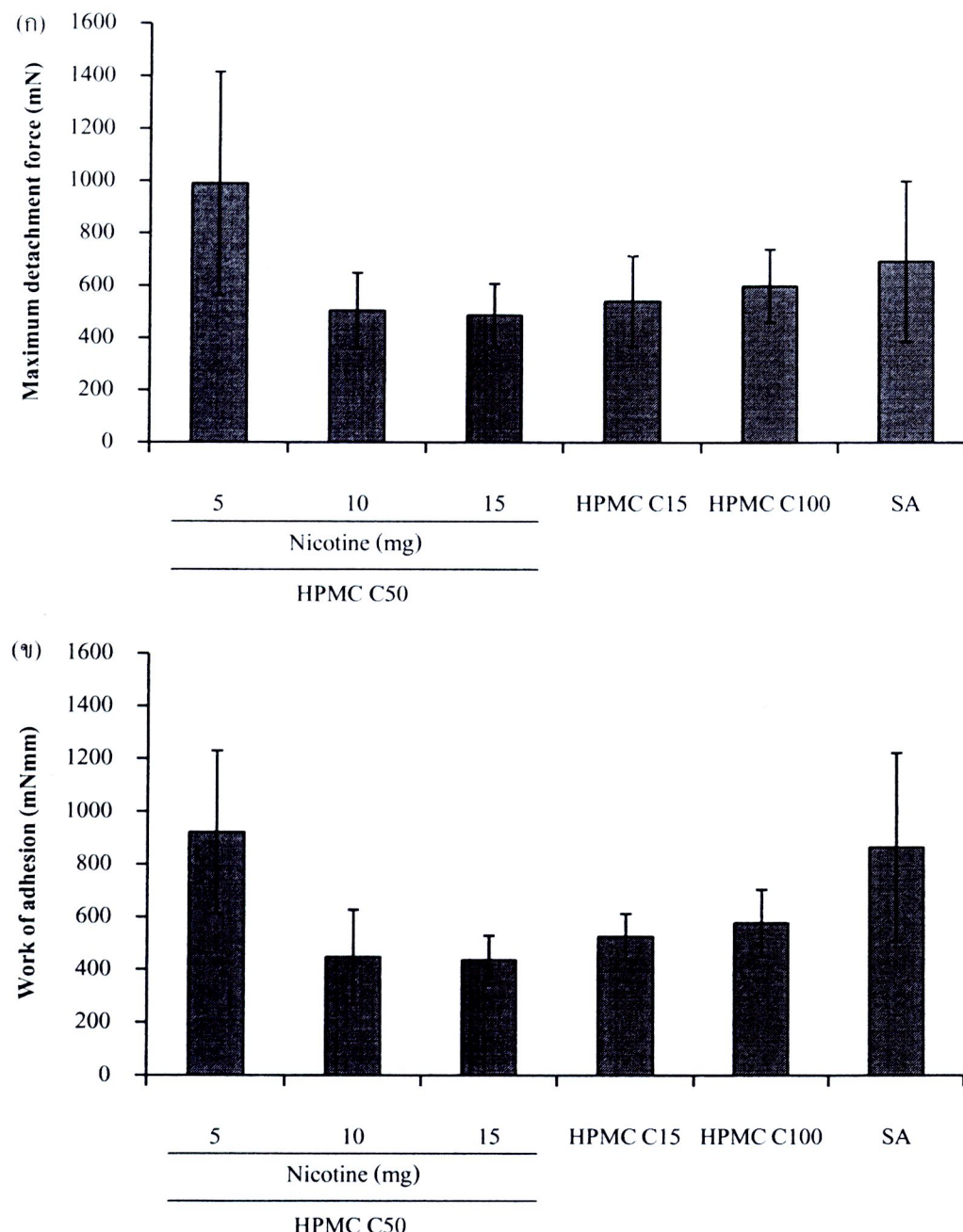
แต่ละค่าแสดงในรูปของค่าเฉลี่ย \pm ส่วนเบี่ยงเบนมาตรฐาน จาก 3 ตัวอย่าง



ภาพที่ 26 อัตราการซึมผ่านเยื่อเมือกหลอดอาหารหมูของนิโคติน และอัตราการปลดปล่อยยาผ่านเมมเบรน เชลลูโลสอะเซติกน้ำตาลรุ่น 0.45 ไมครอน ของยาเม็ดเมทริกซ์บรรจุสารประกอบเชิงช้อน นิโคติน-แมกนีเซียมอะกูมินัมชิลิคेटที่เตรียมที่พีเอช 9 ที่ใช้พอลิเมอร์ต่างชนิดกัน จากสมการ Higuchi แต่ละค่าแสดงในรูปของค่าเฉลี่ย \pm ส่วนเบี่ยงเบนมาตรฐาน จาก 3 ตัวอย่าง

3.5 การยึดติดทางชีวภาพของยาเม็ดเมทริกซ์ไอ์ครอกซ์/โพร์พิลเมทิลเชลลูโลส บรรจุสารประกอบเชิงช้อนนิโคติน-แมกนีเซียมอะกูมินัมชิลิคेट

ความสามารถในการยึดติดทางชีวภาพของยาเม็ดเมทริกซ์ที่ใช้ไอ์ครอกซ์/โพร์พิลเมทิลเชลลูโลสเกรด 50 เช่นติดพอยส์ สำหรับที่มีปริมาณนิโคติน 5 มิลลิกรัมต่อเม็ด มีค่า maximum detachment force และค่า work of adhesion มากที่สุด เนื่องจากมีปริมาณพอลิเมอร์มาก ส่วนยาเม็ดเมทริกซ์ที่ใช้พอลิเมอร์ต่างชนิดกัน มีความสามารถในการยึดติดทางชีวภาพใกล้เคียงกัน ยาเม็ดเมทริกซ์ไอ์ครอกซ์/โพร์พิลเมทิลเชลลูโลสเกรดความหนืด 50 เช่นติดพอยส์ สำหรับที่มีปริมาณนิโคติน 5 มิลลิกรัมต่อเม็ด มีค่า maximum detachment force และค่า work of adhesion มากที่สุด เนื่องจากมีปริมาณพอลิเมอร์มาก ส่วนยาเม็ดเมทริกซ์ที่ใช้พอลิเมอร์ต่างชนิดกัน มีความสามารถในการยึดติดทางชีวภาพใกล้เคียงกัน ยาเม็ดเมทริกซ์ไอ์ครอกซ์/โพร์พิลเมทิลเชลลูโลส และคงคุณสมบัติการยึดติดทางชีวภาพได้ เนื่องจากโครงสร้างของไอ์ครอกซ์/โพร์พิลเมทิลเชลลูโลสมีหมู่ไอ์ครอกซิลที่สามารถเกิดพันธะไอ์โดยเจนกับเยื่อเมือกได้ แต่ความสามารถในการยึดติดทางชีวภาพมีแนวโน้มต่ำกว่าการยึดติดทางชีวภาพของโซเดียมอัลจิเนตที่โครงสร้างประกอบด้วยหมู่คาร์บอเนต และหมู่ไอ์ครอกซิล มีการศึกษาพบว่า โซเดียมอัลจิเนตมีความสามารถในการยึดติดทางชีวภาพดีกว่าไอ์ครอกซ์/โพร์พิลเมทิลเชลลูโลส โดยทั่วไปนิยมใช้ไอ์ครอกซ์/โพร์พิลเมทิลเชลลูโลส ร่วมกับพอลิเมอร์ชนิดอื่นที่มีการยึดติดที่แข็งแรงกว่า เพื่อปรับให้ได้แรงยึดติดเยื่อเมือกที่เหมาะสม ไม่ก่อให้เกิดการระคายเคืองบริเวณเยื่อเมือก (Mortazavi and Smart, 1995; Boyapally et al., 2010)



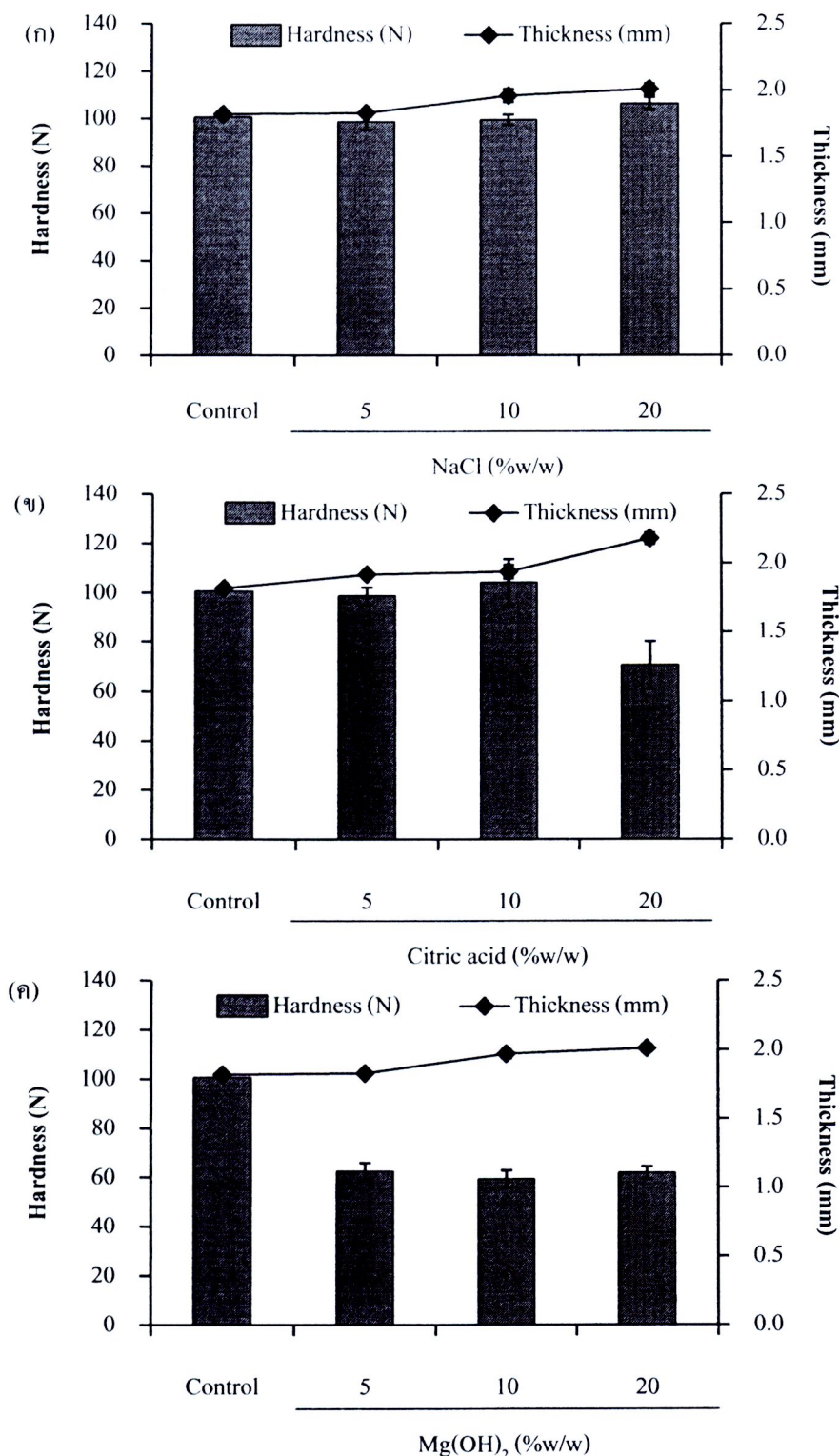
ภาพที่ 27 การยึดติดทางชีวภาพของยาเม็ดเคมทริกซ์บรรจุสารประกอบเชิงช้อนนิโคติน-แมกนีเซียมอะลูมิเนียม
ซิลิเกตที่เตรียมที่พีเอช 9 ที่ใช้พอลิเมอร์ชนิดต่างกัน (ก) Maximum detachment force (ข) Work of adhesion แต่ละค่าแสดงในรูปของค่าเฉลี่ย \pm ส่วนเบี่ยงเบนมาตรฐาน จาก 5 ตัวอย่าง

4. ผลของการเติมเกลือ กรด และค่าง ต่อคุณสมบัติของยาเม็ดเมทริกซ์ไฮดรอกซีโพรพิลเมทิลเชลลูโลส บรรจุสารประกอบเชิงช้อนนิโโคติน-แมกนีเซียมอะลูมิเนียมซิลิเคต

ยาเม็ดเมทริกซ์ที่นำศักยภาพเข้มจากไฮดรอกซีโพรพิลเมทิลเชลลูโลสเกรดความหนืด 50 เช่นเดียวกับส่วนปริมาณนิโโคตินต่อเม็ดเท่ากับ 15 มิลลิกรัม ปริมาณเกลือ กรด และค่าง ที่เติมลงในตัวรับเท่ากับร้อยละ 5-10 และ 20 ของน้ำหนักยาเม็ด (200 มิลลิกรัม) หรือเท่ากับ 10-20 และ 40 มิลลิกรัมต่อเม็ด ตามลำดับ ยาเม็ด เมทริกซ์ที่เติมเกลือ กรด หรือค่างลงในตัวรับ มีปริมาณโพลิเมอร์คงที่ แต่น้ำหนักยาต่อเม็ดเพิ่มขึ้น เปรียบเทียบผล การประเมินคุณลักษณะค่างๆ กับยาเม็ดเมทริกซ์ไฮดรอกซีโพรพิลเมทิลเชลลูโลสเกรดความหนืด 50 เช่นเดียวกับส่วนปริมาณนิโโคติน 15 มิลลิกรัมต่อเม็ด และไม่ได้เติมเกลือ กรด หรือค่าง กำหนดให้เป็นยาเม็ดควบคุม

4.1 ความหนาและความแข็งของยาเม็ดเมทริกซ์

ศักยภาพเรียบเทียบความหนาและความแข็งของยาเม็ดเมทริกซ์ กับยาเม็ดควบคุมที่มีความหนาเท่ากับ 1.82 ± 0.03 มิลลิเมตร และความแข็งเท่ากับ 100.74 ± 3.49 มิลลิเมตร พบว่า ยาเม็ดเมทริกซ์ไฮดรอกซีโพรพิลเมทิลเชลลูโลสที่เติมโซเดียมคลอไรด์ทุกตัวรับ มีความหนาและความแข็งใกล้เคียงกัน และใกล้เคียงกับยาเม็ดควบคุมอยู่ในช่วง $1.8-2.0$ มิลลิเมตร และ 99-106 นิวตัน ตามลำดับ (ภาพที่ 28 ก) การเติมกรดซิตրิกปริมาณมาก มีผลให้ความแข็งของยาเม็ดเมทริกซ์ลดลงเหลือ 70.56 ± 2.68 นิวตัน และความหนาของยาเม็ดเมทริกซ์เพิ่มขึ้นเป็น 2.18 ± 0.03 มิลลิเมตร (ภาพที่ 28 ข) ส่วนยาเม็ดเมทริกซ์ที่เติมแมกนีเซียมไฮดรอกไซด์ มีความแข็งลดลงอยู่ในช่วง 59-63 นิวตัน แต่ความหนาของยาเม็ดเมทริกซ์ต่างกัน โซเดียมคลอไรด์ไม่มีผลต่อความหนาและความแข็งของยาเม็ดเมทริกซ์ การเติมกรดซิตริกในปริมาณมาก มีผลต่อคุณสมบัติยาเม็ดเมทริกซ์ และการเติมแมกนีเซียมไฮดรอกไซด์ มีผลให้ยาเม็ดเมทริกซ์มีความแข็งลดลง โดยไม่ขึ้นกับปริมาณ



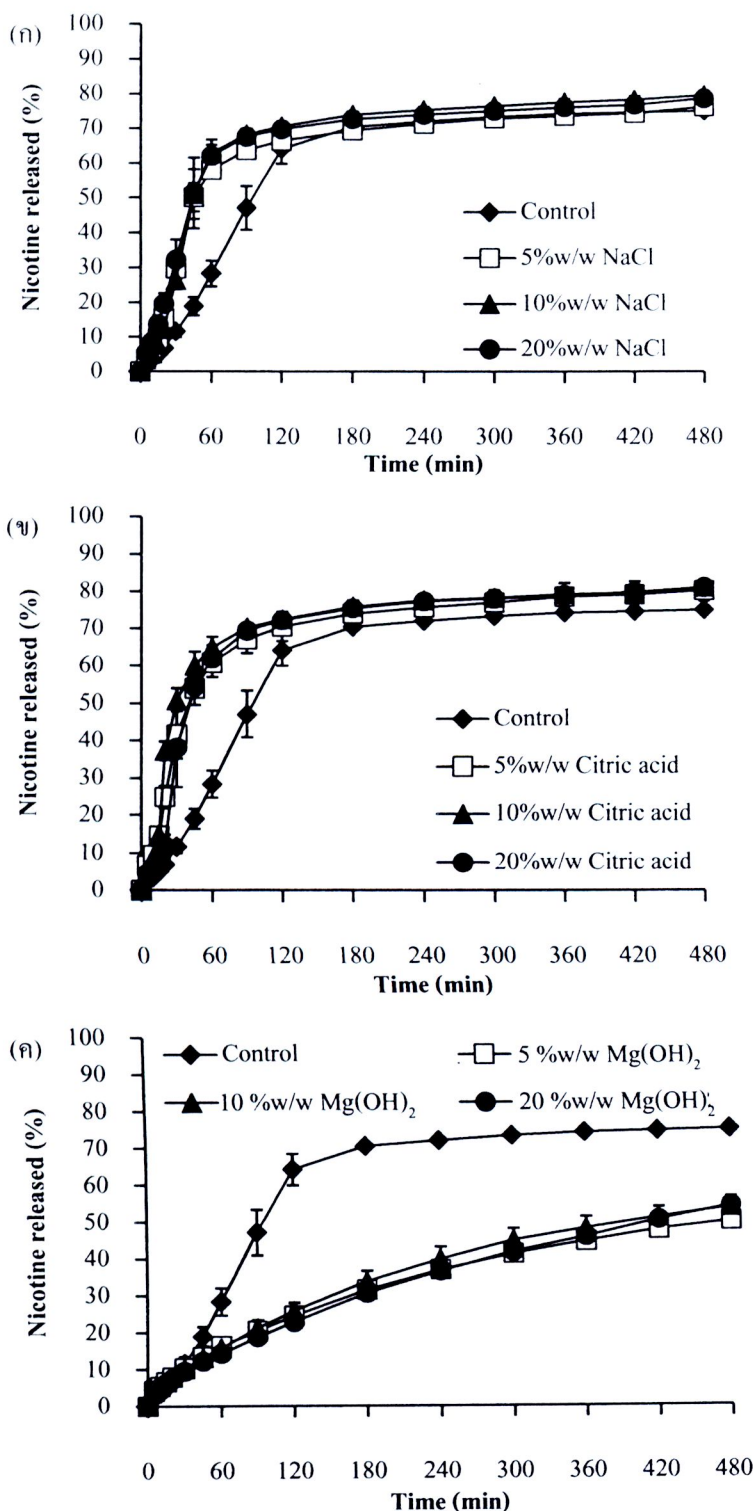
ภาพที่ 28 ผลของการเติมโซเดียมคลอไรด์ (ก) กรดซิตริก (ข) และแมกนีเซียมไไฮดรอกไซด์ (ค) ต่อความhardness และความแข็งของยาเม็ดทริกซ์ไฮดรอกซีโพลิเมทิลเซลลูโลสเกรดความหนืด 50 เชนดิพอยส์ บรรจุสารประกอบเชิงช้อนนิโโคติน-แมกนีเซียมอะลูมิnumชลีค็อกที่เตรียมที่พีเอช 9 (ปริมาณนิโโคติน 15 มิลลิกรัมต่อมีล็อก) แต่ละค่าแสดงในรูปของค่าเฉลี่ย ± ส่วนเบี่ยงเบนมาตรฐาน จาก 3 ตัวอย่าง

4.2 การปลดปล่อยนิโโคตินจากยาเม็ดเมมทริกซ์ไอ์ครอคซ์โพลิเมทิลเซลลูโลสทั้งเม็ด

ผลการศึกษาการปลดปล่อยนิโโคตินจากยาเม็ดเมมทริกซ์ที่เติมโซเดียมคลอไรด์ แสดงดังภาพที่ 29 ที่เวลา 480 นาที ยาเม็ดเมมทริกซ์ที่เติมโซเดียมคลอไรด์ทุกตัวรับ มีปริมาณนิโโคตินที่ปลดปล่อยออกมากล้า้วน เคียงกับยาเม็ดควบคุมอยู่ในช่วงร้อยละ 75-79 และค่า release exponent (n) จากสมการของ Power law มีค่ามากกว่า 1.0 (ตารางที่ 22) แสดงว่าการพองตัวและการกร่อนของโพลิเมอร์เป็นกลไกควบคุมการปลดปล่อยยา (case-II transport) การคำนวณหาอัตราการปลดปล่อยยาเหมาะสมกับสมการ Zero-order ($R^2 > 0.98$) (ตารางที่ 23) ที่ช่วงเวลาการปลดปล่อยไม่เกิน 60 นาที อัตราการปลดปล่อยนิโโคตินจากยาเม็ดเมมทริกซ์ที่เติมโซเดียมคลอไรด์ทุกตัวรับไม่มีความแตกต่างกันอย่างมีนัยสำคัญ ($p > 0.05$) อยู่ในช่วง $1.18\text{--}1.30 \mu\text{g min}^{-1}$ ปริมาณโซเดียมคลอไรด์ที่เพิ่มขึ้นไม่มีผลต่ออัตราการปลดปล่อยยา เมื่อเปรียบเทียบกับการปลดปล่อยยาจากยาเม็ดควบคุม ($0.55 \pm 0.05 \mu\text{g min}^{-1}$) พบว่า ยาเม็ดเมมทริกซ์ชนิดนี้มีอัตราการปลดปล่อยยาเร็วกว่า จากคุณสมบัติของโซเดียมคลอไรด์ที่มีความสามารถในการละลายน้ำได้ (Maryadele, 2006) การเติมสารที่มีการละลายต่ำลงในยาเม็ดเมมทริกซ์ มีผลต่อการแพร่ของยาผ่านชั้นเจลของโพลิเมอร์ น้ำสามารถแพร่เข้าสู่ยาเม็ดเมมทริกซ์ได้ดีขึ้น โครงสร้างภายในชั้นเจลมีความพรุน (porosity) มากขึ้น โพลิเมอร์เกิดการกร่อนได้เร็ว ส่งผลให้อัตราการปลดปล่อยยาเร็วขึ้น (Akbari et al., 2004; Reynolds et al., 1998; Lotfipour et al., 2004; Jovanovic et al., 1997; Razzak et al., 2009) นอกจากนี้ยังพบว่า โซเดียมคลอไรด์มีผลแย่งน้ำจากโพลิเมอร์ ทำให้โพลิเมอร์เสียคุณสมบัติการเป็นสิ่งกัน อัตราการปลดปล่อยยาจึงเกิดเร็วขึ้น (Abrahamsson et al., 1998)

การปลดปล่อยนิโโคตินจากยาเม็ดเมมทริกซ์ที่เติมกรดซิตริก แสดงดังภาพที่ 29 ที่เวลา 480 นาที ยาเม็ดเมมทริกซ์ทุกตัวรับปลดปล่อยนิโโคตินออกมากล้า้วน เคียงกับอยู่ในช่วงร้อยละ 80-81 การปลดปล่อยยาควบคุมโดยกลไกการพองตัวและการกร่อนของโพลิเมอร์ (case-II transport) เนื่องจากค่า release exponent (n) จากสมการของ Power law ที่มีค่ามากกว่า 1.0 (ตารางที่ 22) คำนวณหาอัตราการปลดปล่อยยาจากสมการ Zero-order (ตารางที่ 23) พบว่า อัตราการปลดปล่อยยาจากยาเม็ดเมมทริกซ์ที่เติมกรดซิตริกทุกตัวรับ เร็วกว่าการปลดปล่อยจากยาเม็ดควบคุม เมื่อเปรียบเทียบกับการปลดปล่อยยาจากยาเม็ดเมมทริกซ์ที่เติมโซเดียมคลอไรด์ พนัก ยาเม็ดเมมทริกซ์ที่เติมกรดซิตริกปริมาณร้อยละ 10 และ 20 โดยน้ำหนักต่อน้ำหนัก มีอัตราการปลดปล่อยนิโโคตินเร็วกว่า ยาเม็ดเมมทริกซ์ที่เติมโซเดียมคลอไรด์ในปริมาณเท่ากันอย่างมีนัยสำคัญ ($p < 0.05$) เป็นผลจากความสามารถในการละลายน้ำของกรดซิตริก (ค่าการละลายเท่ากับ 1:0.69) ที่ละลายได้ดีกว่าโซเดียมคลอไรด์ที่มีค่าการละลายเท่ากับ 1:2.8 (Maryadele, 2006) เมื่อยาเม็ดเมมทริกซ์สัมผัสกับกรดซิตริกจะละลายออกจากยาเม็ด ได้เร็วกว่า จึงเกิดการแพร่ของน้ำเข้าสู่ยาเม็ดดีกว่า ชั้นเจลที่เกิดขึ้นเกิดการเสียสภาพ การปลดปล่อยยาจึงเกิดได้เร็วขึ้น (Akbari et al., 2004; Reynolds et al., 1998; Lotfipour et al., 2004; Jovanovic et al., 1997; Razzak et al., 2009; Espinoza et al., 2000)

แมกนีเซียมไสocrอกไซด์ที่เติมลงในยาเม็ดเมทริกซ์ มีผลเปลี่ยนแปลงรูปแบบการปลดปล่อยยาโดยติด (ภาพที่ 29 ค) ที่เวลา 480 นาที ปริมาณนิโโคตินที่ปลดปล่อยออกมาลดลงเหลือเพียงร้อยละ 50-54 ทุกคำรับ ปริมาณแมกนีเซียมไสocrอกไซด์ที่เพิ่มขึ้น ไม่มีผลต่อการปลดปล่อยยา การปลดปล่อยยาจากยาเม็ดเมทริกซ์ทุกคำรับ ความคุณภาพของยา (Fickian diffusion) เห็นได้จากค่า release exponent (*n*) จากสมการของ Power law มีค่าใกล้เคียง 0.5 (ตารางที่ 22) การคำนวณหาอัตราการปลดปล่อยยาจากยาเม็ดเมทริกซ์หมายความว่ากับสมการ Higuchi ($R^2 > 0.99$) (ตารางที่ 23) จากคุณสมบัติของแมกนีเซียมไสocrอกไซด์ที่มีความสามารถในการละลายต่ำ (ค่าการละลายเท่ากับ 1:80000) (Maryadele, 2006) การเติมสารที่ละลายได้น้อยลงในยาเม็ดเมทริกซ์ ส่งผลต่อปริมาณน้ำที่แพร่เข้าสู่ยาเม็ด กรณีสารที่มีการละลายน้ำได้ เมื่อยาเม็ดสัมผัสน้ำสารนั้นสามารถละลายออกจากยาเม็ดที่ให้ทันที ทำหน้าที่คล้ายเป็น Channeling agent เกิดการเปลี่ยนแปลงความพรุน (porosity) ภายในยาเม็ด น้ำแพร่เข้าสู่ยาเม็ดได้ดีขึ้น (Jovanovic et al., 1997; Razzak et al., 2009) แต่เมื่อสารที่เติมลงในคำรับมีข้อจำกัดด้านการละลาย จึงมีผลต่อปริมาณน้ำที่แพร่เข้าสู่ภายในยาเม็ด ส่งผลต่อการพองตัวของโพลิเมอร์ รวมถึงมีผลต่อการแตกเปลี่ยนระหว่างไออกอนบวกกับสารประกอบเชิงช้อนนิโโคติน-แมกนีเซียมอะกูมินัมซิลิเคต เพื่อปลดปล่อยยา



ภาพที่ 29 ผลของโซเดียมคลอไรด์ (ก) กรดซิตริก (ข) และแมกนีเซียมไไฮดรอกไซด์ (ค) ต่อการปลดปล่อยนิโคตินจากยาเม็ดเมทริกซ์ไฮดรอกซิโพรพิลเมทิลเซลลูโลสเกรดความหนืด 50 เชนดิพอยส์บรรจุสารประกอบเชิงช้อนนิโคติน-แมกนีเซียมอะลูมิเนียมชิลิเกตที่เตรียมที่พีเอช 9 ที่มีปริมาณนิโคติน 15 มิลลิกรัมต่อเม็ด แต่ละค่าแสดงในรูปของค่าเฉลี่ย ± ส่วนเบี่ยงเบนมาตรฐาน จาก 3 ตัวอย่าง

ตารางที่ 22 พารามิเตอร์จากสมการ Power law ของการปลดปล่อยนิโโคตินจากยาเม็ดเมมทริกซ์ไซดรอกซ์ไพรพิล เมทิลเซลลูโลสเกรดความหนืด 50 เช่นเดียวกับนิโโคติน-แมกนีเซียมอะลูมินัมชิลิเกตที่เตรียมที่พีเอช 9 ปริมาณนิโโคติน 15 มิลลิกรัมต่อเม็ด ที่เติมเกลือกรด และด่างปริมาณต่างกัน

	$k \times 10^3 (\text{min}^{-n})$	R^2	N
ยาเม็ดควบคุม	1.96 ± 0.26	0.995	1.21 ± 0.06
ยาเม็ดเมมทริกซ์ที่เติมโซเดียมคลอไรด์			
- ปริมาณร้อยละ 5	1.99 ± 0.44	0.995	1.46 ± 0.04
- ปริมาณร้อยละ 10	1.57 ± 0.17	0.987	1.49 ± 0.03
- ปริมาณร้อยละ 20	5.65 ± 1.42	0.999	1.19 ± 0.07
ยาเม็ดเมมทริกซ์ที่เติมกรดซิตริก			
- ปริมาณร้อยละ 5	5.87 ± 1.25	0.976	1.22 ± 0.03
- ปริมาณร้อยละ 10	4.50 ± 0.78	0.948	1.39 ± 0.07
- ปริมาณร้อยละ 20	5.40 ± 1.80	0.924	1.14 ± 0.09
ยาเม็ดเมมทริกซ์ที่เติมแมกนีเซียมไซดรอกไซด์			
- ปริมาณร้อยละ 5	14.90 ± 1.56	0.996	0.58 ± 0.02
- ปริมาณร้อยละ 10	13.47 ± 3.18	0.996	0.61 ± 0.03
- ปริมาณร้อยละ 20	11.68 ± 0.95	0.998	0.62 ± 0.01

แต่ละค่าแสดงในรูปของค่าเฉลี่ย ± ส่วนเบี่ยงเบนมาตรฐาน จาก 3 ตัวอย่าง

ตารางที่ 23 พารามิเตอร์จากสมการ Zero-order และ Higuchi ของการปลดปล่อยยาเม็ดเมทริกซ์ไฮดรอกซิโพลิเมทิลเซลลูโลสเกรดความหนืด 50 เซนติพอยส์ บรรจุสารประกอบเชิงช้อนนิโโคติน-แมกนีเซียมอะลูมิเนียมชิลิคेटที่เติมที่พีเอช 9 ปริมาณนิโโคติน 15 มิลลิกรัมต่อเม็ดที่เติมเกลือกรด และค่าปริมาณต่างกัน

	Zero-order		Higuchi model	
	$K_0 (\% \text{ min}^{-1})$	R^2	$K_H (\% \text{ min}^{-0.5})$	R^2
ยาเม็ดควบคุม	0.55 ± 0.05	0.992	7.14 ± 0.72	0.929
ยาเม็ดเมทริกซ์ที่เติมโซเดียมคลอไรด์				
- ปริมาณร้อยละ 5	1.30 ± 0.09	0.993	12.82 ± 0.84	0.968
- ปริมาณร้อยละ 10	1.25 ± 0.08	0.980	13.62 ± 0.96	0.964
- ปริมาณร้อยละ 20	1.18 ± 0.25	0.993	10.46 ± 2.16	0.945
ยาเม็ดเมทริกซ์ที่เติมกรดซิตริก				
- ปริมาณร้อยละ 5	1.28 ± 0.12	0.972	11.52 ± 1.18	0.949
- ปริมาณร้อยละ 10	1.52 ± 0.10	0.915	13.94 ± 0.91	0.933
- ปริมาณร้อยละ 20	1.52 ± 0.19	0.945	14.97 ± 2.04	0.922
ยาเม็ดเมทริกซ์ที่เติมแมกนีเซียมไฮดรอกไซด์				
- ปริมาณร้อยละ 5	0.10 ± 0.01	0.951	2.47 ± 0.13	0.997
- ปริมาณร้อยละ 10	0.11 ± 0.01	0.952	2.71 ± 0.13	0.996
- ปริมาณร้อยละ 20	0.11 ± 0.01	0.977	2.64 ± 0.06	0.995

แต่ละค่าแสดงในรูปของค่าเฉลี่ย \pm ส่วนเบี่ยงเบนมาตรฐาน จาก 3 ตัวอย่าง

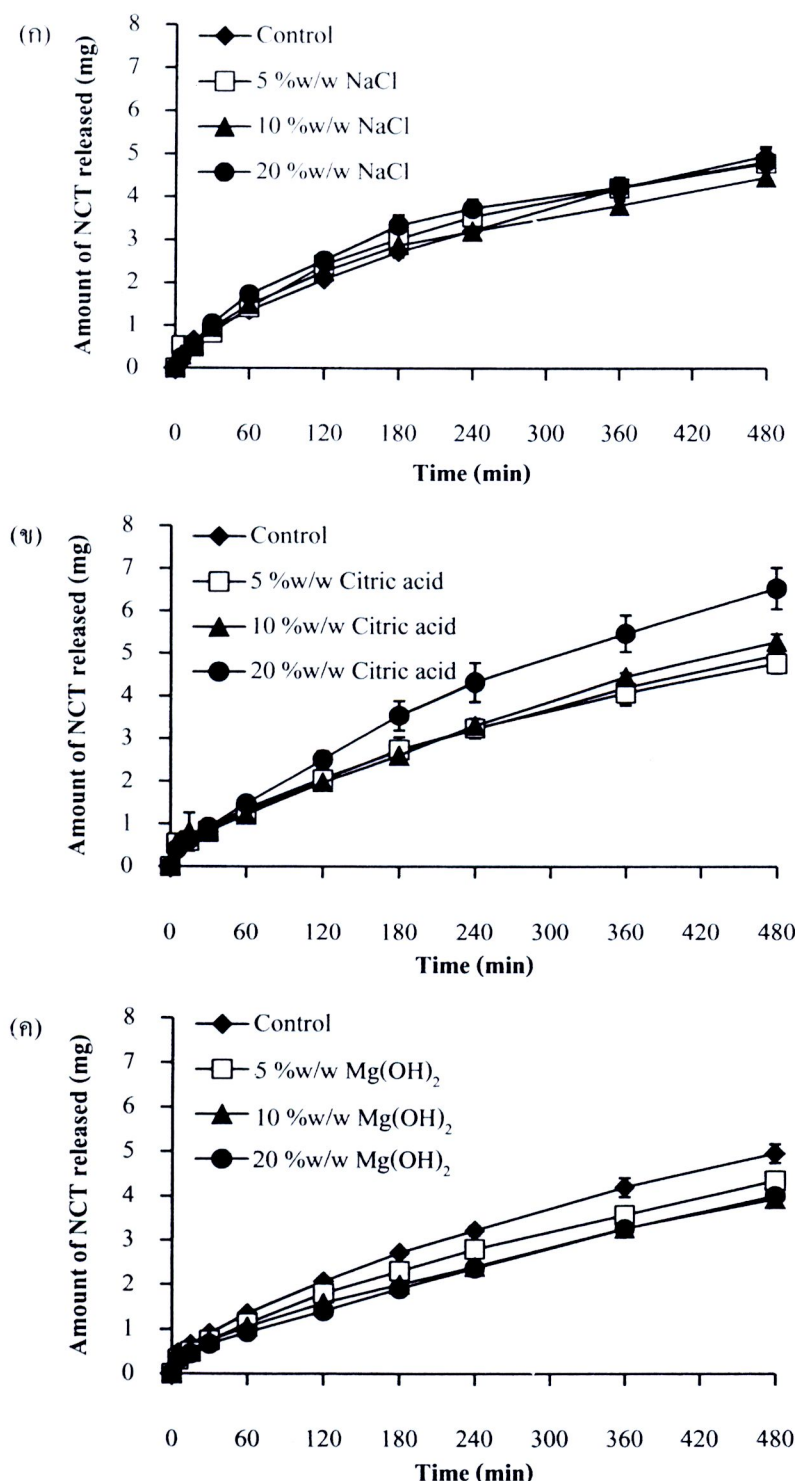
4.3 การปลดปล่อยนิโโคตินจากยาเม็ดเมทริกซ์ไอครอกซ์ไพรพิลเมทิลเซลลูโลสบรรจุสารประกอบเชิงช้อนนิโโคติน-แมกนีเซียมอะลูมิเนียมซิลิเกต ผ่านเมมเบรนเซลลูโลสอะซีเตต

ผลการศึกษาการปลดปล่อยนิโโคตินจากยาเม็ดเมทริกซ์ที่เติมโซเดียมคลอไรด์ กรดซิตริก และแมกนีเซียมอะลูมิเนียมซิลิเกต ผ่านเมมเบรนเซลลูโลสอะซีเตตขนาดครูพรุน 0.45 ไมครอน แสดงดังภาพที่ 30 ยาเม็ด เมทริกซ์ที่เติมโซเดียมคลอไรด์ทุกตัวรับปลดปล่อยนิโโคตินออกมากล้า่วเทียบกัน และไกล์สเคียงกับปริมาณนิโโคตินที่ปลดปล่อยจากยาเม็ดควบคุมอยู่ในช่วง 4.5-5.0 มิลลิกรัม (ภาพที่ 30 ก) ค่า release exponent (n) จากสมการของ Power law มีค่าไกล์สเคียง 0.5 (ตารางที่ 24) แสดงว่า การปลดปล่อยยาเกิดผ่านกลไกการแพร่ของยา (Fickian diffusion) คำนวนหาอัตราการปลดปล่อยยาโดยใช้สมการ Higuchi ($R^2 > 0.98$) (ตารางที่ 27) พบว่า อัตราการปลดปล่อยนิโโคตินจากยาเม็ดเมทริกซ์ที่เติมโซเดียมคลอไรด์ ไกล์สเคียงกับการปลดปล่อยยาจากยาเม็ดควบคุม โดยไม่มีความแตกต่างกันอย่างมีนัยสำคัญ ($p > 0.05$) ลักษณะยาเม็ดเมทริกซ์ที่เติมโซเดียมคลอไรด์ทุกตัวรับ หลังการทดสอบนาน 8 ชั่วโมง เกิดการเสียสภาพภายในเจล แตกต่างจากยาเม็ดควบคุมที่พอดีเมอร์มีการพองตัวเต็มที่ และยังคงสภาพความเป็นเจล ยาเม็ดเมทริกซ์แต่ละตัวรับมีการเปลี่ยนแปลงแตกต่างกัน แต่ไม่มีผลต่อปริมาณนิโโคตินที่ผ่านเมมเบรน แสดงว่าปัจจัยที่มีผลต่อการปลดปล่อยนิโโคตินผ่านเมมเบรน คือ อนุภาคของสารประกอบเชิงช้อนนิโโคติน-แมกนีเซียมอะลูมิเนียมซิลิเกต สร่าวะที่ทำการศึกษามีผลให้ยาเม็ดเมทริกซ์สัมผัสตัวกลางการละลายในปริมาณที่จำกัด ส่งผลต่อความสามารถในการแยก เปลี่ยนไออกอนของสารประกอบเชิงช้อนนิโโคตินที่ผ่านเมมเบรนได้ดีจึงมีปริมาณไกล์สเคียงกัน (Pongjanyakul et al., 2009; Papin-Castéla et al., 1999)

ยาเม็ดเมทริกซ์ที่เติมกรดซิตริกปริมาณร้อยละ 20 โดยน้ำหนักต่อน้ำหนัก มีปริมาณนิโโคตินที่ผ่านเมมเบรนได้มากที่สุดเท่ากับ 6.55 ± 0.48 มิลลิกรัม และปลดปล่อยได้มากกว่ายาเม็ดควบคุม (4.97 ± 0.21 มิลลิกรัม) (ภาพที่ 30 ข) เมื่อพิจารณาค่า release exponent (n) จากสมการของ Power law พบว่า ค่า n ไกล์สเคียง 0.5 ทุกตัวรับ (ตารางที่ 24) แสดงว่า การปลดปล่อยยาควบคุมโดยกลไกการแพร่ของยา (Fickian diffusion) อัตราการปลดปล่อยยาหมายกับสมการ Higuchi ($R^2 > 0.98$) (ตารางที่ 25) พบว่า อัตราการปลดปล่อยนิโโคตินเพิ่มขึ้น เมื่อปริมาณกรดซิตริกในตัวรับมากขึ้น ยาเม็ดเมทริกซ์ที่เติมกรดซิตริกปริมาณร้อยละ 20 โดยน้ำหนักต่อน้ำหนัก มีอัตราการปลดปล่อยยาสูงสุดเท่ากับ $336.77 \pm 33.37 \mu\text{g min}^{-0.5}$ การเติมกรดซิตริกมีผลให้พื้นที่ของระบบลดลง (Schilling et al., 2008) และมีไอโครเนียมไออกอนในระบบ เมื่อพิจารณาจากค่ารัศมีไออกอน พบว่า ขนาดของไอโครเนียมไออกอนเท่ากับ 28 พิโภคเมตร ซึ่งเล็กกว่าโซเดียมไออกอนที่มีขนาดเท่ากับ 161 พิโภคเมตร (Heyrovská, 2009) จึงสามารถแพร่เข้าสู่อนุภาคของสารประกอบเชิงช้อนนิโโคติน-แมกนีเซียมอะลูมิเนียมซิลิเกต และเกิดการแยกเปลี่ยนไออกอนเพื่อปลดปล่อยยาได้ดีกว่าการเติมโซเดียมคลอไรด์ (Rojtanatanya and Pongjanyakul, 2010)

ยาเม็ดเมมทริกซ์ที่เติมแมกนีเซียมไไฮดรอกไซด์ มีผลให้การปลดปล่อยยาโดยติดผ่านเยื่อบุหลอดเลือดในช่วง 4.0-4.4 มิลลิกรัม (ภาพที่ 30 ค) ค่า release exponent (n) จากสมการของ Power law มีค่าใกล้เคียง 0.5 ทุกตัวรับ (ตารางที่ 24) แสดงว่า การปลดปล่อยยาควบคุมโดยกลไกการแพร่ของยา (Fickian diffusion) อัตราการปลดปล่อยยาคำนวนโดยใช้สมการ Higuchi ($R^2 > 0.98$) (ตารางที่ 25) พบว่า อัตราการปลดปล่อยยาโดยติดจากยาเม็ดเมมทริกซ์ที่เติมแมกนีเซียมไไฮดรอกไซด์ทุกตัวรับ มากกว่าการปลดปล่อยยาจากยาเม็ดควบคุมอย่างมีนัยสำคัญ ($p < 0.05$) การเพิ่มปริมาณแมกนีเซียมไไฮดรอกไซด์ มีผลให้อัตราการปลดปล่อยยาโดยติดผ่านเยื่อบุหลอดเลือด แมกนีเซียมไไฮดรอกไซด์ส่งผลต่อความสามารถในการแพร่ของน้ำเข้าสู่ยาเม็ด เห็นได้จากการลดระยะเวลาปลดปล่อยยาเม็ดเมมทริกซ์ไม่เป็นน้ำ เกิดการกร่อนเพียงเล็กน้อยบริเวณรอบยาเม็ด จึงส่งผลต่อการแตกเปลี่ยน ไอออนของสารประกอบเชิงช้อนนิโคติน-แมกนีเซียมอะลูมิเนียมชิลิค

การปลดปล่อยยาโดยติดจากยาเม็ดเมมทริกซ์ผ่านเยื่อบุหลอดเลือดในชีตเตต ของยาเม็ดเมมทริกซ์ที่เติมไนเตรียมคลอไรด์ และกรดซิติคิทิกทุกตัวรับ มีรูปแบบแตกต่างจากการปลดปล่อยยาจากยาเม็ดเมมทริกซ์ทึ้งเม็ด การปลดปล่อยยาจากยาเม็ดเมมทริกซ์ทึ้งเม็ดที่เป็นผลจากการกร่อนของพอลิเมอร์ เนื่องจากยาเม็ดสัมผัตัวกับยา การละลายปริมาณมาก แต่การปลดปล่อยยาผ่านเยื่อบุหลอดเลือด มีตัวกลางการละลายปริมาณจำกัด ส่งผลต่อการพองตัวของพอลิเมอร์ และการแตกเปลี่ยน ไอออนเพื่อปลดปล่อยยาจากสารประกอบเชิงช้อน การปลดปล่อยยาผ่านเยื่อบุหลอดเลือดในชีตเตต จึงเป็นผลจากการแพร่ของยา (Fickian diffusion) เป็นหลัก เห็นได้จากค่า n ที่ลดลงใกล้เคียง 0.5 ทุกตัวรับ (ภาพที่ 31) แต่สำหรับยาเม็ดเมมทริกซ์ที่เติมแมกนีเซียมไไฮดรอกไซด์ พบว่า ค่า n ยังคงมีค่าใกล้เคียง 0.5 เนื่องจากข้อจำกัดด้านการละลายของแมกนีเซียมไไฮดรอกไซด์ ที่มีผลต่อปริมาณน้ำที่แพร่เข้าสู่ภายในยาเม็ด



ภาพที่ 30 ผลของโซเดียมคลอไรด์ (ก) กรดซิตริก (ข) และแมกนีเซียมไไฮดรอกไซด์ (ค) ต่อการปลดปล่อยนิโคตินผ่านเมมเบรนเซลลูโลสอะซีเตตขนาดรูพรุน 0.45 ไมครอน ของยาเม็ดทริกซ์ไไฮดรอกซีโพรพิลเมทิลเซลลูโลสเกรดความหนืด 50 เชนติพอยส์ บรรจุสารประกอบเชิงช้อนนิโคติน-แมกนีเซียมอะลูมิเนียมชิลิกเกตที่เตรียมที่พีเอช 9 ที่มีปริมาณนิโคติน 15 มิลลิกรัมต่อเม็ด แต่ละค่าแสดงในรูปของค่าเฉลี่ย \pm ส่วนเบี่ยงเบนมาตรฐาน จาก 3 ตัวอย่าง

ตารางที่ 24 พารามิเตอร์จากสมการ Power law ของการปลดปล่อยนิโโคตินผ่านเมมเบรนเซลล์โลสโซะชีเตต ขนาดพื้นที่ 0.45 ไมครอน ของยาเม็ดเมทริกซ์ไ媳ดรอกซ์ไพร์พิลเมทิลเซลล์โลสเกรดความหนืด 50 เซนติพอยส์ บรรจุสารประกอบเชิงช้อนนิโโคติน-แมกนีเซียมอะกูมินัมชิลิเกตที่เตรียมที่พีเอช 9 ปริมาณนิโโคติน 15 มิลลิกรัมต่อมีลิตร ที่เดิมกลีอ กรณ ผลและค่า ปริมาณต่างกัน

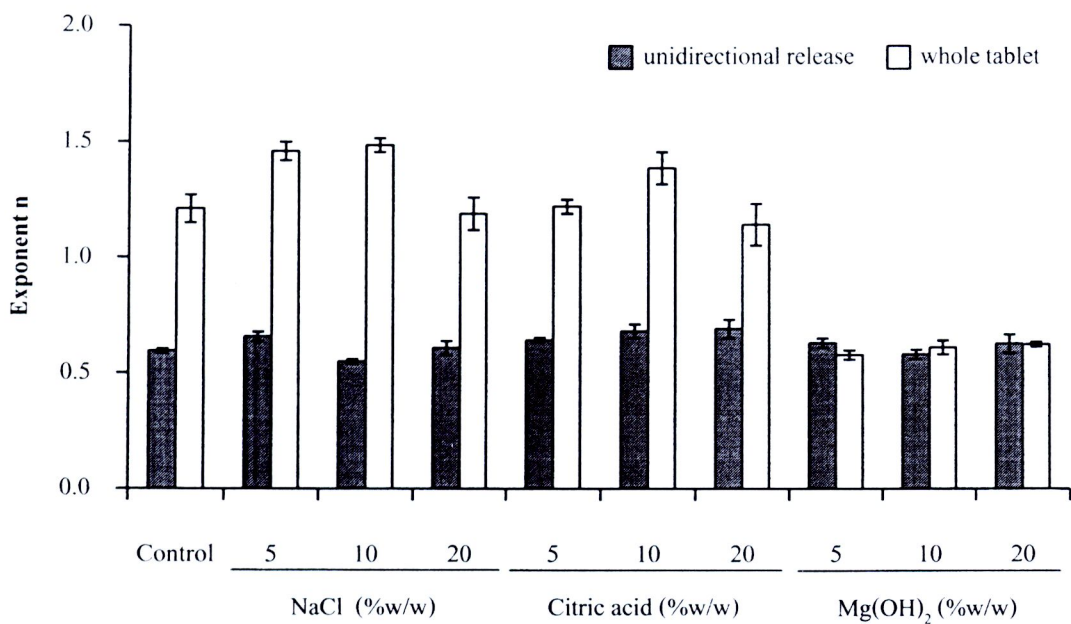
	$k \times 10^3 (\text{min}^{-n})$	R^2	n
ยาเม็ดควบคุม	7.63 ± 0.41	0.997	0.60 ± 0.01
ยาเม็ดเมทริกซ์ที่เดิมโดยคลอไรด์			
- ปริมาณร้อยละ 5	6.12 ± 0.47	0.989	0.66 ± 0.02
- ปริมาณร้อยละ 10	10.43 ± 0.50	0.992	0.55 ± 0.01
- ปริมาณร้อยละ 20	8.01 ± 1.21	0.979	0.61 ± 0.03
ยาเม็ดเมทริกซ์ที่เดิมกรดซิตริก			
- ปริมาณร้อยละ 5	6.11 ± 0.39	0.996	0.64 ± 0.01
- ปริมาณร้อยละ 10	5.27 ± 1.21	0.996	0.68 ± 0.03
- ปริมาณร้อยละ 20	6.22 ± 0.88	0.996	0.69 ± 0.04
ยาเม็ดเมทริกซ์ที่เดิมแมกนีเซียมไ媳ดรอกซ์ไซด์			
- ปริมาณร้อยละ 5	5.78 ± 0.62	0.998	0.63 ± 0.02
- ปริมาณร้อยละ 10	6.97 ± 0.49	0.994	0.58 ± 0.02
- ปริมาณร้อยละ 20	4.90 ± 1.00	0.990	0.63 ± 0.04

แต่ละค่าแสดงในรูปของค่าเฉลี่ย \pm ส่วนเบี่ยงเบนมาตรฐาน จาก 3 ตัวอย่าง

ตารางที่ 25 พารามิเตอร์จากสมการ Zero-order และ Higuchi ของการปลดปล่อยนิโโคตินผ่านเยมเบรน เชลลูโลสอะซีเตตขนาดรูปธูน 0.45 ไมครอน ของยาเม็ดเมทริกซ์ไสครอกซ์โพรัสพิลเซลลูโลส เกรดความหนืด 50 เชนดิพอยส์ บรรจุสารประกอบเชิงชั้อนิโโคติน-แมกนีเซียมอะลูมิเนียมชิลิคेट ที่เตรียมที่พีเอช 9 ปริมาณนิโโคติน 15 มิลลิกรัมต่อมีด ที่เติมเกลือ กรด และค่าง ปริมาณต่างกัน

	Zero-order		Higuchi model	
	$K_0 (\mu\text{g min}^{-1})$	R^2	$K_H (\mu\text{g min}^{-0.5})$	R^2
ยาเม็ดควบคุม	9.54 ± 0.46	0.979	242.13 ± 11.47	0.994
ยาเม็ดเมทริกซ์ที่เติมโซเดียมคลอไรด์				
- ปริมาณร้อยละ 5	9.43 ± 0.58	0.932	235.83 ± 13.56	0.988
- ปริมาณร้อยละ 10	9.98 ± 0.42	0.926	215.83 ± 9.82	0.994
- ปริมาณร้อยละ 20	9.45 ± 0.31	0.895	240.83 ± 9.42	0.986
ยาเม็ดเมทริกซ์ที่เติมกรดซิตริก				
- ปริมาณร้อยละ 5	9.23 ± 0.50	0.969	237.63 ± 13.77	0.995
- ปริมาณร้อยละ 10	10.19 ± 0.57	0.987	268.10 ± 5.24	0.986
- ปริมาณร้อยละ 20	13.20 ± 1.25	0.975	336.77 ± 33.37	0.993
ยาเม็ดเมทริกซ์ที่เติมแมกนีเซียมไไซครอกไซด์				
- ปริมาณร้อยละ 5	8.44 ± 0.17	0.977	213.47 ± 4.36	0.994
- ปริมาณร้อยละ 10	7.34 ± 0.22	0.990	188.07 ± 5.85	0.986
- ปริมาณร้อยละ 20	7.76 ± 0.35	0.993	195.97 ± 8.16	0.977

แต่ละค่าแสดงในรูปของค่าเฉลี่ย \pm ส่วนเบี่ยงเบนมาตรฐาน จาก 3 ตัวอย่าง



ภาพที่ 31 ค่า release exponent (n) ของการปลดปล่อยนิโคตินผ่านเมมเบรนเซลลูโลสอะซีเตตขนาดธารุพrun 0.45 ไมโครอน (unidirectional release) และการปลดปล่อยนิโคตินจากยาเม็ดเมทริกซ์ทึ้งเม็ด (whole tablet) ของยาเม็ดเมทริกซ์ไฮดรอกซิโพรพิลเมทิลเซลลูโลสเกรดความหนืด 50 เชนติพอยส์ บรรจุสารประกอบเชิงช้อนนิโคติน-แมกนีเซียมอะลูминัมซิลิเกตที่เตรียมที่พีเอช 9 ปริมาณนิโคติน 15 มิลลิกรัมต่อเม็ด ที่เติมเกลือ กรด และด่าง ปริมาณต่างกัน แต่ละค่าแสดงในรูปของค่าเฉลี่ย ± ส่วนเบี่ยงเบนมาตรฐาน จาก 3 ตัวอย่าง

4.4 การซึมผ่านเยื่อเมือกหลอดอาหารหมูของนิโคตินจากยาเม็ดเมทริกซ์ไฮดรอกซิโพรพิลเมทิลเซลลูโลส บรรจุสารประกอบเชิงช้อนนิโคติน-แมกนีเซียมอะลูминัมซิลิเกต

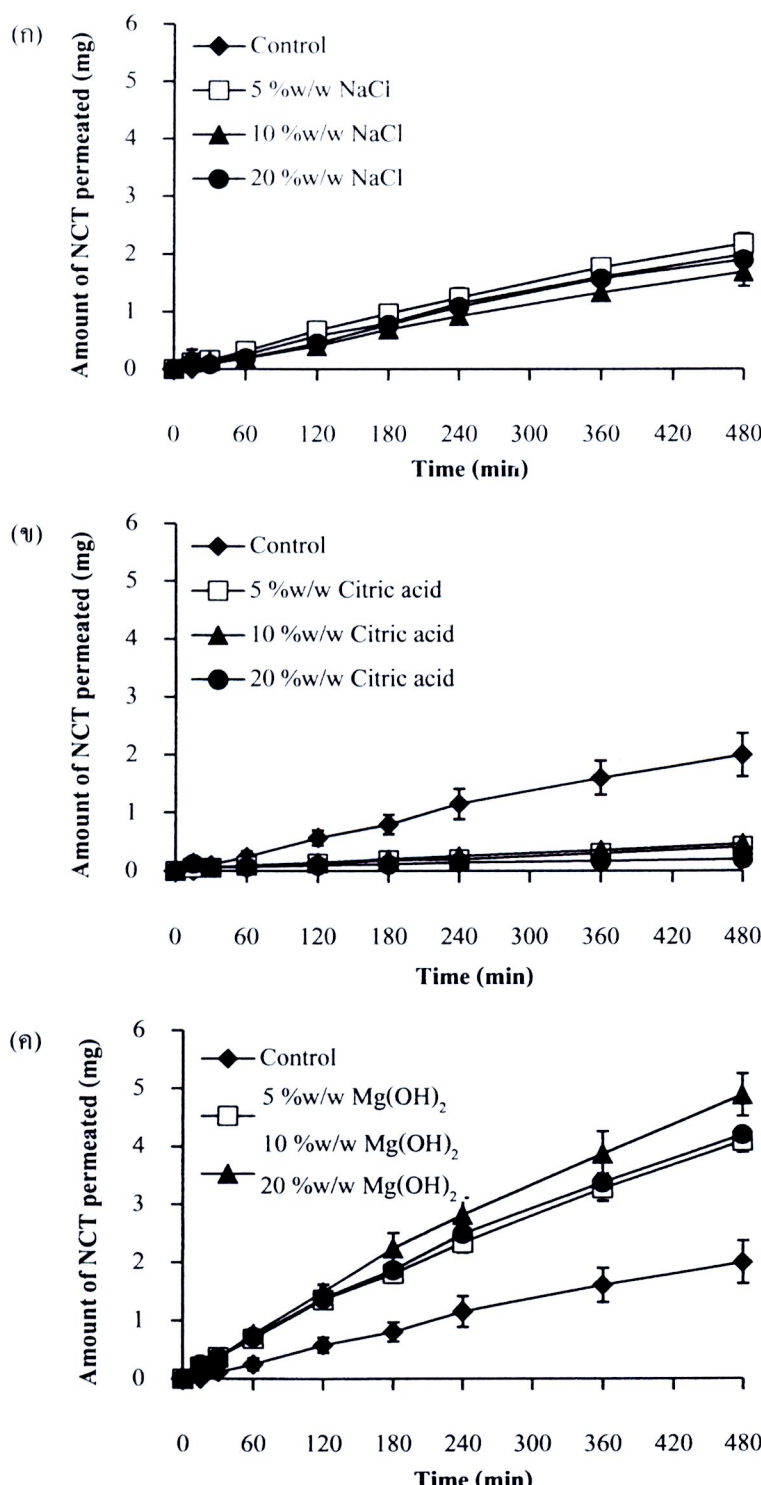
ผลของโซเดียมคลอไรด์ กรดซิตริก และแมกนีเซียมไไฮดรอกซิไซด์ ต่อการซึมผ่านเยื่อเมือกหลอดอาหารหมูของนิโคตินจากยาเม็ดเมทริกซ์ไฮดรอกซิโพรพิลเมทิลเซลลูโลสเกรดความหนืด 50 เชนติพอยส์ เปรียบเทียบกับยาเม็ดควบคุม แสดงดังภาพที่ 32 การซึมผ่านเยื่อเมือกของนิโคตินจากยาเม็ดเมทริกซ์ที่เติมโซเดียมคลอไรด์ทุกตัวรับไกลีเดียมกับยาเม็ดควบคุม โดยไม่ขึ้นกับปริมาณโซเดียมคลอไรด์ ปริมาณนิโคตินที่ผ่านเยื่อเมือกได้อยู่ในช่วง 1.7-2.2 มิลลิกรัม (ภาพที่ 32 ก) อัตราการซึมผ่านเยื่อเมือกของนิโคตินที่คำนวณจากการ Zero-order มีค่า R^2 ที่ดีกว่าการคำนวณจากสมการ Higuchi (ตารางที่ 26) เมื่อเปรียบเทียบกับอัตราการซึมผ่านเยื่อเมือกของยาเม็ดควบคุม พบว่า การเติมโซเดียมคลอไรด์ไม่มีผลต่ออัตราการซึมผ่านเยื่อเมือกอย่างมีนัยสำคัญ ($p > 0.05$) แสดงว่า การเพิ่มปริมาณโซเดียมไไฮดรอกซิไซด์ในตัวรับ ไม่สามารถเพิ่มความสามารถในการซึมผ่านเยื่อเมือกของนิโคตินได้

การซึมผ่านเยื่อเมือกหลอดอาหารหมูของยาเม็ดเมมทริกซ์ที่เติมกรดซิติริก ॥สคงคังภาพที่ 32 ฯ พนวฯ กรดซิติริกมีผลให้ปริมาณนิโโคตินที่ซึมผ่านเยื่อเมือกลดลงเมื่อเปรียบเทียบกับยาเม็ดควบคุม ปริมาณนิโโคตินที่ผ่านเยื่อเมือกได้ออยู่ในช่วง $0.20\text{--}0.48$ มิลลิกรัม อัตราการซึมผ่านเยื่อเมือกของนิโโคตินจากยาเม็ดเมมทริกซ์ที่เติมกรดซิติริกหมายเหตุกับสมการ Zero-order ($R^2 > 0.98$) (ตารางที่ 26) เมื่อเปรียบเทียบกับยาเม็ดควบคุม พนวฯ อัตราการซึมผ่านของนิโโคตินจากยาเม็ดเมมทริกซ์ที่เติมกรดซิติริกลดลง แต่ปริมาณกรดซิติริกไม่มีผลต่ออัตราการปล่อยนิโโคตินอย่างมีนัยสำคัญ ($p > 0.05$) ผลการศึกษาที่ได้แตกต่างจากการศึกษาของ Nair และคณะ (1997) ที่พบว่า กรดซิติริกสามารถเกิดปฏิกิริยากับนิโโคตินได้เกิดเป็นสารพสมที่มีคุณสมบัติชอบไขมัน และมีความสามารถในการซึมผ่านเยื่อเมือกได้ชัดเจน เชนเดียวกับ Ren และคณะ (2008) ที่แสดงให้เห็นว่า กรดซิติริกสามารถเพิ่มความสามารถในการซึมผ่านเยื่อเมือกได้โดยมีผลเพิ่มการส่งสารผ่านทาง paracellular pathway (Onoue et al., 2009; Todo et al., 2001; Karasulu et al., 2008) แต่จากการศึกษานี้ได้ผลตรงกันข้าม น่าจะเป็นผลจากคุณสมบัติของกรดซิติริกที่ทำให้พิเศษ ของระบบลดลง นิโโคตินเกิดการเปลี่ยนแปลงอยู่ในรูปแทกตัวมากขึ้น จึงซึมผ่านเยื่อเมือกได้ลดลง (Chen et al., 1999) และแม้กันนีเชิญจะถูมนิโโคตินชิลิเกตอาจเกิดการดูดซับนิโโคตินรูปแทกตัวที่เกิดขึ้นไว้ที่ผิว ทำให้มีปริมาณนิโโคตินที่ซึมผ่านเยื่อเมือกน้อยลง

การเติมแมกนีเซียมไไซดรอไไซค์ลงในยาเม็ดเมมทริกซ์ มีผลให้นิโโคตินซึมผ่านเยื่อเมือกได้ปริมาณมากขึ้น (ภาพที่ 32 ค) ยาเม็ดเมมทริกซ์ที่เติมแมกนีเซียมไไซดรอไไซค์ร้อยละ 10 โดยน้ำหนักต่อน้ำหนัก มีปริมาณนิโโคตินที่ซึมผ่านเยื่อเมือกได้มากที่สุดเท่ากับ 4.88 ± 0.37 มิลลิกรัม การหาอัตราการซึมผ่านเยื่อเมือกของนิโโคตินที่เติมแมกนีเซียมไไซดรอไไซค์หมายเหตุกับสมการ Zero-order ($R^2 > 0.99$) (ตารางที่ 26) อัตราการซึมผ่านมีค่ามากกว่ายาเม็ดควบคุม ยาเม็ดเมมทริกซ์ที่เติมแมกนีเซียมไサイดรอไไซค์ปริมาณร้อยละ 10 โดยน้ำหนักต่อน้ำหนัก มีอัตราการซึมผ่านเยื่อเมือกสูงสุดเท่ากับ $10.19 \pm 0.91 \% \text{ min}^{-1}$ จากคุณสมบัติของแมกนีเซียมไไซดรอไไซค์ที่มีพิเศษ (Maryadele, 2006) มีผลให้สภาวะบริเวณยาเม็ดเมมทริกซ์และเยื่อเมือกมีความเป็นค่าง ที่สภาวะค่าง นิโโคตินอยู่ในรูปไม่แทกตัวปริมาณมากขึ้น จึงซึมผ่านเยื่อเมือกได้ดีขึ้น (Ikinci et al., 2004; Alur et al., 1999) สอดคล้องกับ pH partition theory ที่กล่าวว่า สารที่อยู่ในรูปไม่แทกตัว มีความสามารถในการซึมผ่านเมมเบรนได้ดีกว่าสารที่อยู่ในรูปแทกตัว (Chen et al., 1999; Martin, 1993)

เมื่อเปรียบเทียบอัตราการซึมผ่านหลอดอาหารหมู กับอัตราการปลดปล่อยผ่านเมมเบรนเซลล์โลส อะซีเตตที่คำนวณจากสมการ Zero-order (ภาพที่ 33) พนวฯ ยาเม็ดเมมทริกซ์ที่เติมโซเดียมคลอไรด์และกรดซิติริก ทุกตำรับ มีอัตราการซึมผ่านเยื่อเมือกต่ำกว่าอัตราการปลดปล่อยยาผ่านเมมเบรน ส่วนยาเม็ดเมมทริกซ์ที่เติมแมกนีเซียมไไซดรอไไซค์ มีอัตราการซึมผ่านเยื่อเมือกมากกว่าหรือใกล้เคียงกับการปลดปล่อยยาผ่านเมมเบรน เป็นผลจากเยื่อเมือกหลอดอาหารทำหน้าที่เป็นสิ่งกั้นการส่งผ่านสาร ส่วนยาเม็ดเมมทริกซ์ที่เติมแมกนีเซียมไไซดรอไไซค์ มีอัตราการซึมผ่านเยื่อเมือกต่ำ เนื่องจากสภาวะค่างมีผลให้นิโโคตินอยู่ในรูปไม่แทกตัวปริมาณมาก จึงซึมผ่านเยื่อเมือกได้ปริมาณมาก



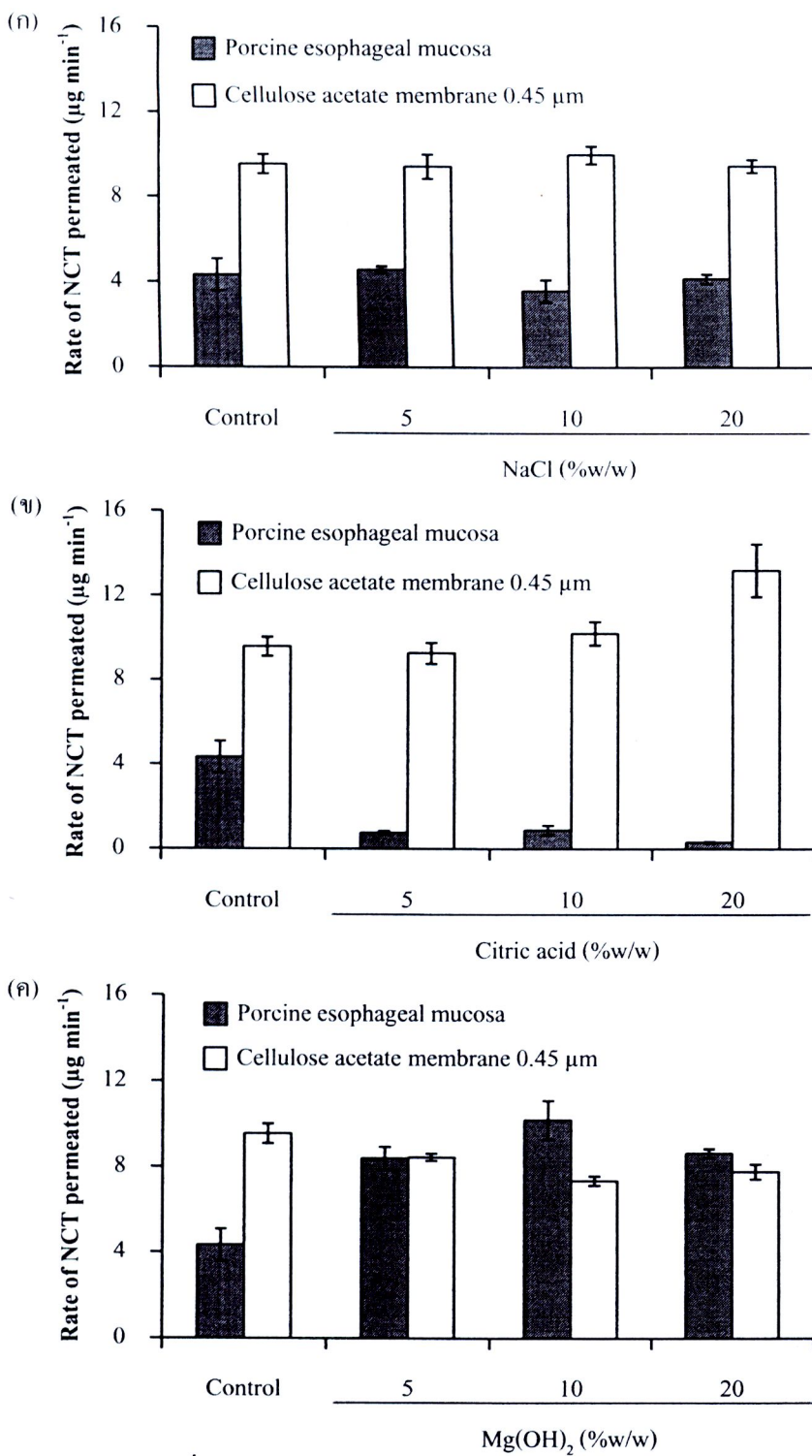


ภาพที่ 32 ผลของโซเดียมคลอไรด์ (ก) กรดซิตริก (ข) และแมกนีเซียมไฮดรอกไซด์ (ค) ต่อการซึมผ่านเยื่ออเม็อกหลอดอาหารหมูของนิโโคติน จากยาเม็ดเมทրิกซ์ไฮดรอกซิฟอร์พลูเมทิลเซลลูโลส เกรดความหนืด 50 เชนติพอยส์ บรรจุสารประกอบเชิงช้อนนิโโคติน-แมกนีเซียมอะลูมิնัมซิลิเกตที่เตรียมที่พีเอช 9 (ปริมาณนิโโคติน 15 มิลลิกรัมต่อเม็ด) แต่ละค่าแสดงในรูปของค่าเฉลี่ย ± ส่วนเบี่ยงเบนมาตรฐาน จาก 3 ตัวอย่าง

ตารางที่ 26 พารามิเตอร์จากสมการ Zero-order และ Higuchi ของการซึมผ่านเยื่อเมือกหลอดอาหารหมูของนิโโคตินจากยาเม็ดทริกซ์ไสครอคซ์โพร์พลเมทิลเซลลูโลสเกรดความหนืด 50 เช่นติพอยส์บรรจุสารประกอบเชิงช้อนนิโโคติน-แมกนีเซียมอะลูมิnumชิลิกेटที่เตรียมที่พีเอช 9 ปริมาณนิโโคติน 15 มิลลิกรัมต่อเม็ด ที่เติมเกลือ กรด และค่าง ปริมาณต่างกัน

	Zero-order		Higuchi model	
	$K_0 (\mu\text{g min}^{-1})$	R^2	$K_H (\mu\text{g min}^{0.5})$	R^2
ยาเม็ดควบคุม	4.33 ± 0.75	0.990	117.27 ± 19.39	0.985
ยาเม็ดเมทริกซ์ที่เติมโซเดียมคลอไรด์				
- ปริมาณร้อยละ 5	4.58 ± 0.16	0.992	125.57 ± 4.31	0.990
- ปริมาณร้อยละ 10	3.59 ± 0.52	0.992	108.61 ± 13.65	0.989
- ปริมาณร้อยละ 20	4.16 ± 0.22	0.989	116.40 ± 6.37	0.981
ยาเม็ดเมทริกซ์ที่เติมกรดซิตริก				
- ปริมาณร้อยละ 5	0.78 ± 0.08	0.965	19.24 ± 2.02	0.942
- ปริมาณร้อยละ 10	0.91 ± 0.22	0.989	24.92 ± 5.99	0.963
- ปริมาณร้อยละ 20	0.32 ± 0.03	0.959	8.90 ± 0.67	0.945
ยาเม็ดเมทริกซ์ที่เติมแมกนีเซียมไไซครอคไซด์				
- ปริมาณร้อยละ 5	8.39 ± 0.53	0.993	227.43 ± 13.44	0.988
- ปริมาณร้อยละ 10	10.19 ± 0.91	0.991	276.97 ± 25.71	0.990
- ปริมาณร้อยละ 20	8.63 ± 0.21	0.991	235.37 ± 5.91	0.990

แต่ละค่าแสดงในรูปของค่าเฉลี่ย \pm ส่วนเบี่ยงเบนมาตรฐาน จาก 3 ตัวอย่าง



ภาพที่ 33 อัตราการซึมผ่านเยื่อเมือกหลอดอาหารหมูของนิโโคติน และอัตราการปลดปล่อยยาผ่านเมมเบรนเซลลูโลสอะเซติกด้วยชีตเด็กนากรูพรุน 0.45 ไมครอน ของยาเม็ดเมมทริกซ์ไชครอกซ์โพรพิลเมทิลเซลลูโลสบรรจุสารประกอบเชิงช้อนนิโโคติน-แมกนีเซียมอะลูมิเนียมชิลิเกตที่เตรียมที่พีเอช 9 ที่เติมโซเดียมคลอไรค์ (ก) กรดซิตริก (ข) และแมกนีเซียมไชครอกไซด์ (ค) แต่ละค่าแสดงในรูปของค่าเฉลี่ย ± ส่วนเบี่ยงเบนมาตรฐาน จาก 3 ตัวอย่าง

4.5 การยึดติดทางชีวภาพของยาเม็ดเมมทริกซ์ไฮดรอกซิฟอร์พิลเมทิลเซลลูโลส บรรจุสารประกอบเชิงช้อนนิโโคติน-แมกนีเซียมอะลูมิնัมชิลิคेट

ผลการศึกษาความสามารถในการยึดติดทางชีวภาพ ของยาเม็ดเมมทริกซ์ไฮดรอกซิฟอร์พิลเมทิลเซลลูโลสเกรดความหนืด 50 เช่นเดียวกับยาเม็ดเมมทริกซ์ไม่มีผลต่อความสามารถในการยึดติดทางชีวภาพการยึดติดทางชีวภาพของยาเม็ดเมมทริกซ์ทุกตำรับไม่แตกต่างกับยาเม็ดควบคุมอย่างมีนัยสำคัญ ($p > 0.05$) และไม่อยู่ขึ้นกับปริมาณที่เติม ยาเม็ดเมมทริกซ์ที่เติมโซเดียมคลอไรด์ กรณีชิลิคิริก หรือแมกนีเซียมไฮดรอกไซด์ ยังคงแสดงคุณสมบัติการยึดติดทางชีวภาพต่อเนื่องเปรนเยื่อเมือก

ตารางที่ 27 การยึดติดทางชีวภาพของยาเม็ดเมมทริกซ์ไฮดรอกซิฟอร์พิลเมทิลเซลลูโลสเกรดความหนืด 50 เช่นเดียวกับยาเม็ดเมมทริกซ์ที่เติมโซเดียมคลอไรด์ที่เตรียมที่พีเอช 9 ที่มีปริมาณนิโโคติน 15 มิลลิกรัมต่อเม็ด ที่เติมแกลลิโอ กรณีชิลิคิริก และค่าปริมาณต่างกัน

	Maximum detachment force (mN)	Work of adhesion (mN mm)
ยาเม็ดควบคุม	486.66 ± 122.31	436.56 ± 93.27
ยาเม็ดเมมทริกซ์ที่เติมโซเดียมคลอไรด์		
- ปริมาณร้อยละ 5	435.70 ± 101.59	433.48 ± 169.63
- ปริมาณร้อยละ 10	437.47 ± 122.09	368.29 ± 67.24
- ปริมาณร้อยละ 20	446.72 ± 88.10	449.21 ± 160.54
ยาเม็ดเมมทริกซ์ที่เติมกรณีชิลิคิริก		
- ปริมาณร้อยละ 5	468.16 ± 96.28	461.74 ± 92.42
- ปริมาณร้อยละ 10	484.99 ± 102.57	392.63 ± 108.19
- ปริมาณร้อยละ 20	471.61 ± 89.64	464.17 ± 151.13
ยาเม็ดเมมทริกซ์ที่เติมแมกนีเซียมไฮดรอกไซด์		
- ปริมาณร้อยละ 5	548.56 ± 53.77	531.89 ± 42.02
- ปริมาณร้อยละ 10	448.84 ± 76.27	420.40 ± 72.64
- ปริมาณร้อยละ 20	452.90 ± 52.72	484.73 ± 42.28

แต่ละค่าแสดงในรูปของค่าเฉลี่ย ± ส่วนเบี่ยงเบนมาตรฐาน จาก 5 ตัวอย่าง